

П-168
43,12

Азәрбајҹан ССР
Елмләр Академијасы
Академия наук
Азербайджанской ССР

ISSN 0022-3078

МӘРУЗӘЛӘР ДОКЛАДЫ

ЧИЛД

XLIII

ТОМ



1987

ИИИБ

ДАН Азерб. ССР публикует краткие сообщения об оригинальных, никогда не публикованных ранее, результатах научных исследований, представленные академиками АН Азерб. ССР, которые тем самым берут на себя ответственность за научные достоинства представляемой статьи.

В «Докладах» не публикуются крупные статьи, механически разделенные на ряд отдельных сообщений, статьи полемического характера, без новых фактических сообщений, статьи полемического характера, без новых фактических данных, статьи с описанием промежуточных опытов, без определенных выводов и обобщений, чисто методические статьи, если предлагаемый метод не является принципиально новым, а также статьи по систематике растений и животных (за исключением описания особо интересных для науки находок).

Будучи органом срочной информации, журнал «ДАН Азерб. ССР» принимает и отбирает к печати статьи, объем которых допускает их публикацию в установленные решение Президиума АН Азерб. ССР сроки.

В связи со всеми перечисленными ограничениями отклонение статьи редакцией «Доклады АН Азерб. ССР» означает только, что она не согласуется с требованиями и возможностями этого журнала и не исключает ее публикации в других изданиях.

ПРАВИЛА ДЛЯ АВТОРОВ

Редакция журнала «Доклады АН Азерб. ССР» просит авторов руководствоваться приведенными правилами и надеется, что авторы ознакомятся с ними прежде, чем пришлют статью в редакцию.

Статьи, присланные без соблюдения этих правил, к рассмотрению не принимаются.

1. Статьи, направляемые в редакцию, должны иметь представление члена АН СССР или академика АН Азерб. ССР, если оно требуется (см. выше).

Если направлять их из представление редакцией не принимаются.

Единственным поводом для неважности сообщения и соображенное решение редколлегии.

ставленные статьи на рецензию.

й одного автора в год. Это правило земников Академии наук Азерб. ССР. второй следует поместить статью, в десятичной классификации (УДК). К реферат в двух экземплярах, предых журналов ВИНТИ.

название учреждения, в котором вы- а также полный почтовый адрес и ого созванта.

указать лицо, с которым редакция

гку не означает, что статья принятая рукопись вновь рассматривается и вернуть вместе с первоначальным замечания. Датой поступления считаются варианта статьи.

гающие не более $\frac{1}{4}$ авторского листа и текст, таблицы, библиография (не зрых не должно превышать четырех, исле вклейки на мелованной бумаге.

большого увеличения. Шрифты с печатаются, а даются на кальке,

в двух экземплярах. Повторение афиках недопустимо. Рисунки должны передавать ясность передачи всех видов бумаге. Подписи к рисункам через два интервала на отдельной шом указываются фамилии авторов,

(ранице обложки)

АЗЭРБАЙЧАН ССР ЕЛМЛЭР АКАДЕМИЈАСЫ
АКАДЕМИЯ НАУК АЗЕРБАЙДЖАНСКОЙ ССР

МЭРҮЗЭЛЭР ДОКЛАДЫ

ТОМ XLIII ЧИЛД

№ 12

«ЕЛМ» НЭШРИЙДАА—ИЗДАТЕЛЬСТВО «ЭЛМ»
БАКУ—1987.—БАКУ

УДК 519.8

МАТЕМАТИКА

А. И. АБДУЛЛАЕВ

**ОПРЕДЕЛЕНИЕ ОБЛАСТИ ДОПУСТИМОСТИ ВЕКТОРА
ПОТРЕБИТЕЛЬСКОЙ СТОИМОСТИ В НЕДЕТЕРМИНИРОВАННОМ
СЛУЧАЕ**

(Представлено академиком АН Азербайджанской ССР Ф. Г. Максудовым)

В работе [1] анализ гипотезы о рациональном потреблении сведен к решению ряда математических задач, которые охарактеризованы как задачи, обратные задачам линейного программирования. В прямой (т. е. обычной) задаче линейного программирования (см. например, [2]) считается заданными матрица ограничений Au , вектор ограничений b и вектор c , с помощью которого образуется целевая функция. Таким образом, стандартная запись задачи линейного программирования выглядит так:

$$\left. \begin{array}{l} Au \leq b; \quad u \geq 0; \\ \langle c, u \rangle \rightarrow \max, \end{array} \right\} u = ?, \quad (1)$$

т. е. искомым является вектор потребления u , доставляющий максимум (или минимум) целевой функции.

Если дана обратная задача линейного программирования, то известна матрица $A = \{a_{ij}\}$ ($i \in \{1, 2, \dots, I\}$; $j \in \{1, 2, \dots, J\}$), вектора $b = \{b_i\}$ и $\{u = u_j\}$, а требуется определить множество векторов $c = \{c_j\}$, для которых вектор u является решением задачи линейного программирования:

$$\left. \begin{array}{l} Au \leq b; \quad u \geq 0; \\ \langle c, u \rangle \rightarrow \max \end{array} \right\} c = ? \quad (2)$$

Отмечается [2], что если решение прямой задачи линейного программирования существует, то оптимальный вектор u может быть и единственным. В обратной задаче (2) всегда определяется область допустимых решений, т. к. неизвестным, искомым является не один вектор c , а вся их совокупность, дающая решение в (2).

Рассмотрим случай, когда вектор u известен с некоторой ошибкой. Например, известно, что вектор u принадлежит шару S радиуса R с центром в точке u^* , т. е.

$$u \in S = \left\{ u : \sum_{i=1}^J (u_i - u_i^*)^2 \leq R^2 \right\}. \quad (3)$$

Понятно, что зависимость в (3) взята лишь в качестве иллюстрации, и в общем случае сопоставления потребления различных продуктов она может никогда и не реализовываться. Однако и в этом случае излагаемый подход останется в силе.

РЕДАКЦИОННАЯ КОЛЛЕГИЯ:

Э. Ю. Салеев (главный редактор), Г. Б. Абдуллаев, М. Т. Абасов,
В. С. Алиев, Г. А. Алиев, Дж. А. Алиев, И. Г. Алиев, Дж. Б. Гулиев,
Н. А. Гулиев, М. З. Диафаров, Ф. Г. Максудов, А. А. Надиров,
Ю. М. Сенцов (зам. главного редактора), М. А. Усейнов,
Г. Г. Зейналов (ответств. секретарь).

© Издательство «Элм», 1987 г.

В рассматриваемом случае множество допустимых решений обратной задачи линейного программирования можно определить как многограничный конус $\bar{K}_R(u^*)$ [2]

$$\bar{K}_R(u^*) = \left\{ c : c = \sum_{i \in I^*} \lambda_i a_i, \lambda_i \geq 0, i \in I^* \right\}, \quad (4)$$

где a_i — i -я строка матрицы A из (2). Множество номеров строк I^* матрицы A , участвующих в образовании конуса $\bar{K}_R(u^*)$ при задании вектора u в виде (3) может быть определено как множество гиперплоскостей, заданных условиями из (2), которые пересекают шар S , т. е.

$$I^* = \{ i : |\langle a_i, u^* \rangle - b_i| < R \}. \quad (5)$$

При определении множества I^* (5) предполагается, что точка u^* задана так, что среди ограничений задачи (2) не найдется такого, для которого будет справедливо неравенство:

$$\langle a_i, u^* \rangle - b_i > R. \quad (6)$$

Выполнение неравенства (6) означает, что шар S полностью лежит в недопустимой области и множество $I^* = \emptyset$.

На рис. 1 и рис. 2 показан двумерный пример определения конуса $\bar{K}_R(u^*)$. Если рассматривать детерминированный вариант обрат-

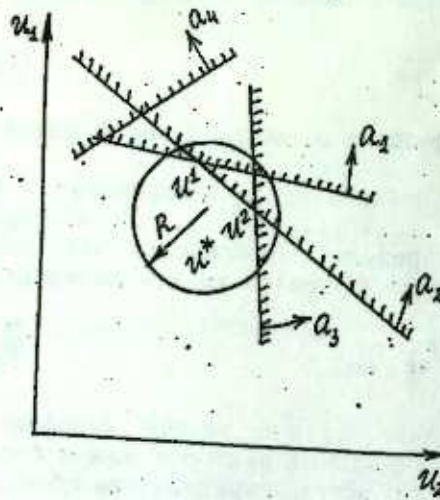


Рис. 1

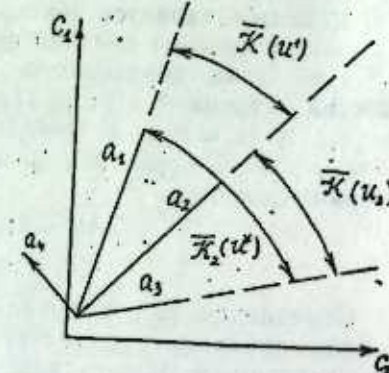


Рис. 2

ной задачи линейного программирования, например, $u = u^1$ либо $u = u^2$ (рис. 2), то соответствующими областями допустимых решений в этих случаях будут конусы $\bar{K}(u^1)$ и $\bar{K}(u^2)$ (рис. 3). Легко видеть, что конус $\bar{K}_R(u^*)$ будет содержать как конус $\bar{K}(u^1)$, так и конус $\bar{K}(u^2)$. В общем случае конуса $\bar{K}(u^1)$ и $\bar{K}(u^2)$ можно рассматривать как предельный случай преобразования конуса $\bar{K}_R(u^*)$ при уменьшении величины R и одновременном приближении точки u^* к точке u^1 (либо u^2).

Пусть $\bar{K}(u^1)$ — конус, являющийся допустимой областью решений

обратной задачи линейного программирования при детерминированном задании вектора u в точке u^1 , тогда справедливо

$$\bar{K}(u^1) = \lim_{\substack{R \rightarrow 0 \\ u^* \rightarrow u^1}} \bar{K}_R(u^*)$$

Конус $\bar{K}_R(u^*)$ можно также определить как объединение всех конусов $\bar{K}(u^R)$, т. е.

$$\bar{K}_R(u^*) = \bigcup_R \bar{K}(u^R), \quad (7)$$

где $\bar{K}(u^R)$ — конус допустимых решений обратной задачи линейного программирования при задании вектора u в точке $u^R \in S$. Из (7) следует, что конус $\bar{K}_R(u^*)$ будет содержать все конусы $\bar{K}(u^R)$ (при $u^R \in S$), где u^R — вершина многогранника, заданного неравенствами из (2), которая находится в шаре S , т. е.

$$\bar{K}(u^R) \subseteq \bar{K}_R(u^*), \quad \forall u^R \in S,$$

и, следовательно, область допустимых векторов c будет тем шире, чем больше значение R .

В заключение заметим, что в работах [1, 3] рассматривался детерминированный случай, т. е. задавалось несколько решений задач оптимального потребления, несколько векторов u . Как показано в этих работах, каждый новый вектор u при добавлении его к области D_c не увеличивал ее. При определении области допустимости в условиях неопределенности такого утверждения сделать нельзя, более того можно привести примеры не только сужения области D_c , но и ее расширения. Выход из этого положения лежит на путях использования аппарата математической статистики, т. е., например, введения и исследования функции распределения величин u_j , определения распределения векторов C в области D_c и получения коначного результата с той или иной вероятностью.

Пример, показывающий эффективность построения области допустимых значений оптимального вектора потребления C , т. е. области решений D_c^* приведен в [1]. Здесь воспользуемся теми же данными для построения оценочного n -мерного «параллелепипеда» P , затем, решая задачу, аналогичную (3) проведем сокращение его объема.

На рис. 3 область D_c^* показана треугольником на сфере единичного радиуса, вершины которого лежат в точках с номерами: 2, 8, 7. Вершины параллелепипеда P помечены на рис. 3 номерами: 1, 4, 5, 7. Площадь параллелепипеда P , для набора обратных задач, используемых в [3], равна $\frac{\pi}{4\sqrt{2}}$. Соответствующий ему параллелепипед P_e в пространстве эйлеровых углов задается неравенствами: $\frac{\pi}{4} \leq \varphi_1 \leq \frac{\pi}{2}$,

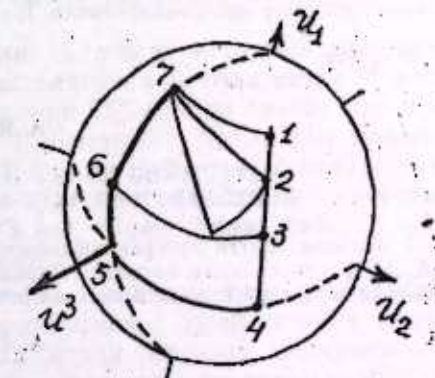


Рис. 3

$\frac{\pi}{4} \leq \varphi_2 \leq \frac{\pi}{2}$. Используя развитый здесь подход для набора задач

из [3], построим минимальный параллелепипед P^{\min} . Как видно из рис. 3, вершины этого параллелепипеда (заштрихованная область) лежат в точках: 1, 3, 6, 7. Площадь параллелепипеда P^{\min} равна $\frac{\pi}{4} \left(\frac{1}{\sqrt{2}}, -\frac{1}{\sqrt{6}} \right)$. Соответствующий ему параллелепипед P_{φ}^{\min} в пространстве эйлеровых углов задается неравенствами $\frac{\pi}{4} \leq \varphi_1 \leq 0,366 \pi$,

$\frac{\pi}{4} \leq \varphi_2 \leq \frac{\pi}{2}$. Сравнение параллелепипедов P и P^{\min} показывает,

что в данном случае минимальный параллелепипед по своей площади в 2,356 раз меньше параллелепипеда P .

Надо заметить, что рассматриваемый в данном случае двумерный "параллелепипед", т. е. криволинейный прямоугольник 1, 4, 5, 7 по площади относительно мало отличается от площади D_c , т. е. в данном случае от треугольника 2, 8, 7 и минимального параллелепипеда $P^{\min} = 1, 3, 6, 7$. При увеличении разномерности задачи можно сделать качественный вывод о том, что эта разница будет резко увеличиваться, а поэтому важность отыскания минимального параллелепипеда P^{\min} будет возрастать.

Литература

1. Абдуллаев А. И. Анализ гипотезы рационального потребления на основе решения обратных задач линейного программирования. Труды МЭСИ. — М., 1986.
2. Юдин Д. Б., Гольштейн Е. Г. Линейное программирование. — М.: Физматгиз, 1963.
3. Абдуллаев А. И. Алгоритм анализа потребительского спроса на основе решения обратных задач линейного программирования. Труды МЭСИ. — М., 1986.

АзИНХа

Поступило 30. VI 1987

А. И. Абдуллаев

ДЕТЕРМИНЭ ОЛМАДАН ҚАЛ ҮЧҮН ИСТЕЙЛАК ДАЛЭРИ
ВЕКТОРУНУН МУМКҮН ҢЭЛЛЭР ОБЛАСТЫНЫН ТЭЗИННИ.

Мәгәләдә хөтти програмлаштырманның тәрс мәсәләсінин мүмкүн ңэллэр чохлуғу $K_{12}(U^*)$ конусу кими бағылым. Верниән мәсәләсінин ңэллэр, детерминэ олунан һалдан фәргли олар, риәзи статистикадан истифада олунар апарылып.

A. I. Abdullaev

DETERMINATION OF THE PERMISSIBILITY REGION OF THE CONSUMER-COST VECTOR IN THE NON-DETERMINISTIC CASE

The article deals with a case where a set of feasible solutions of an inverse problem of linear programming is determined as a polyhedral cone $K_R(U^*)$. This problem is shown to be solved with the use of mathematical statistics, as it is distinct from the solution in the deterministic case.

АЗЭРБАЙЖАН ССР ЕЛМЛЭР АКАДЕМИЈАСЫНЫН МӘРҮЗӘЛӘРИ

ДОКЛАДЫ АКАДЕМИИ НАУК АЗЕРБАЙДЖАНСКОЙ ССР

ТОМ XLIII ЧИЛД

№ 12

1987

УДК 541.123.4: 547.96

ФИЗИКА ПОЛУПРОВОДНИКОВ

Л. М. МИХЕЕВА, Б. Ю. ЗАСЛАВСКИЙ, С. В. РОГОЖИН, А. У. МАХМУДОВ,
Э. С. ГАРАЕВ, Ю. П. АЛЕШКО-ОЖЕВСКИЙ

БЛИЖНЯЯ ГИДРАТАЦИЯ И РАСПРЕДЕЛЕНИЕ ГАЛОГЕНИДОВ ЩЕЛОЧНЫХ МЕТАЛЛОВ В ДВУХФАЗНОЙ СИСТЕМЕ ФИКОЛЛ-ДЕКСТРАН-ВОДА

(Представлено академиком АН Азербайджанской ССР М. И. Алиевым)

Одним из методов, открывающих новые возможности в исследовании влияния структуры воды на гидратационные взаимодействия, является метод распределения в водных полимерных двухфазных системах, в которых существующие равновесные фазы содержат воду с разными структурными характеристиками [1—3]. Методом распределения в водной двухфазной системе фиколл-декстранами ранее была исследована относительная гидрофобность широкого круга природных и синтетических органических соединений [3]. В настоящей работе впервые исследовано распределение в этой системе неорганических электролитов.

В работе использовали фиколл-400 (сополимер сахарозы и эпихлоргидрина, $M_w 4 \cdot 10^5$), декстран-70 ($M_w 5,72 \cdot 10^4$, $M_n 2,76 \cdot 10^4$), соли квалификации «хч» и «осч», воду, дважды перегнанную в кварцевой посуде.

Двухфазную систему образовывали, смешивая исходные растворы полимеров, фонового электролита, распределяемой соли-метки. Смесь составляли для расслоения фаз на 24 ч. при 25°. Состав смеси: 16,3 вес. % фиколла, 14,0 вес. % декстрана, 0,15 моль/кг NaCl, 0,01 моль/кг фосфатного буфера (рН 7,4) и от $1 \cdot 10^{-4}$ до $3 \cdot 10^{-3}$ моль/кг соли-метки. Полимерный состав существующих фаз при расслоении системы: фаза 1—28,59 вес. % фиколла и 3,23 вес. % декстрана; фаза 2—4,72 вес. % фиколла и 24,21 вес. % декстрана.

Каждый опыт повторяли не менее 3—4 раз при пяти разных концентрациях данной соли-метки. Концентрацию солей-меток в фазах определяли по концентрации металла метки методом зеемановской атомной абсорбции в воздушно-ацетиленовом пламени после разбавления проб из фаз до рабочего уровня концентраций при оптимальных аналитических условиях [4]. Измерения проводили на приборе фирмы «Хитачи», модель 180—80. Относительная погрешность определения концентрации соли не превышала 1%.

Коэффициенты распределения соли $K = C^1/C^2$ определяли как отношение концентрации соли в фазе 1 к ее концентрации в фазе 2. Анализ концентрационной зависимости K показал, что в пределах достигнутой точности для всех солей-меток функции $C^1 = f(C^2)$ являются линейными. Величину K определяли по методу наименьших квадратов как угловой

коэффициент в функции $C' = a + b \cdot C^2$ (аддитивные константы во всех случаях практически равны нулю). Значения K вместе со значениями коэффициентов корреляции функций $C' = f(C^2)$, которые характеризуют точность линейного приближения при оценке K , приведены в таблице.

Коэффициенты распределения галогенидов щелочных металлов в водной двухфазной системе фиколл-декстран, ионные радиусы* и энергии активации изменения конфигурации молекул воды вблизи соответствующего иона относительно чистой воды**

Соль MX	Коэффициент распределения $K + C'/C^2$	Коэффициент*** корреляции для $C' = a + b \cdot C^2$	Ионные радиусы (\AA)		Энергии активации (кал/моль)	
			rM^+	rX^-	ΔE_M^+	ΔE_X^-
LiCl	1,0375	0,9998	0,90	1,67	1253	-35
NaCl	1,0541	0,9997	1,16	1,67	376	-35
KCl	0,9250	0,9998	1,52	1,67	-40	-35
RbCl	0,9881	0,9986	1,66	1,67	-95	-35
CsCl	0,9796	0,9999	1,81	1,67	-81	-35
KF	0,9615	0,9995	1,52	1,19	-40	318
KBr	0,9154	0,9996	1,52	1,82	-40	-76
KI	0,8817	0,9998	1,52	2,06	-40	-117

* Величины rM^+ и rX^- взяты из работы [8].

** Величины ΔE_M^+ и ΔE_X^- взяты из работы [10].

*** Объяснение см. в тексте.

Там же приведены использовавшиеся нами при регрессионном анализе значения физических радиусов ионов, определенных по минимуму электронной плотности в ионных кристаллах [5], а также количественные характеристики ближней гидратации ионов [6], полученные методом ПМР в работе [7]. Следует отметить, что использование других известных шкал ионных радиусов и характеристик ближней гидратации ионов приводит к результатам, аналогичным тем, которые обсуждаются далее, но обнаруживает меньшую степень корреляции с нашими данными по распределению солей-меток.

Представленные в таблице данные показывают, что хлориды натрия и лития концентрируются в фазе I, а все галогениды калия и хлориды рубидия и цезия — в фазе 2, т. е. ионы с положительной гидратацией проявляют большее сродство с фазой I, а ионы с отрицательной гидратацией — с фазой 2. При переносе КГ из фазы I в фазу 2 вклад отрицательно гидратированного катиона K^+ в изменение свободной энергии при переносе очевиден, но абсолютная величина преобладает над вкладом положительно гидратированного аниона F^- . На первый взгляд полученные результаты можно было бы интерпретировать, имея в виду, что фиколл характеризуется большей гидратацией, чем декстран (вода в фазе I структурирована сильней, чем в фазе 2) [2, 3] — гидратированные ионы распределяются между существующими фазами в соответствии с принципом наименьшего возмущения структуры воды. Однако количественные характеристики распределения солей, проявляющиеся в уменьшении величины коэффициента распределения K в рядах: $\text{Na}^+ > \text{Li}^+ > \text{Rb}^+ > \text{Cs}^+ > \text{K}^+$ и $\text{I}^- > \text{F}^- > \text{Cl}^- > \text{Br}^- > \text{I}^-$, показывают, что такая интерпретация, подразумевающая монотонное изменение ве-

личины K с увеличивающимся радиусом иона, потребовала бы введения необоснованных допущений об особых свойствах по меньшей мере двух катионов из пяти, таким образом, необходимо искать другие причины наблюдаемого эффекта.

Следует отметить, что в используемой двухфазной системе из всех возможных типов взаимодействий ионов (ион-полимер, ион-ион, ион-вода) прямыми взаимодействиями ионов метки с полимерами и изменениями ионных взаимодействий при переходе из одной фазы в другую можно пренебречь по следующим причинам. Фазообразующие полимеры имеют ионный характер, а гипотетические индукционные или дисперсионные взаимодействия ионов метки с полимерами (например, с аксиальными OH-группами) должны быть блокированы фоновым электролитом, концентрация которого в фазах в 50—1500 раз превышает концентрацию соли-метки. Этот вывод согласуется с независимостью значений K от концентрации метки. Постоянство K означает, что каждая из меток в обеих фазах характеризуется одной и той же степенью ассоциации. Следовательно, ответственными за наблюдаемую картину распределения могут быть только взаимодействия ион-вода и вода-вода. Эти два типа взаимодействий определяют величину ближней гидратации ионов, которая в молекулярно-кинетической теории гидратации [6] количественно характеризуется величиной $\Delta E_1 = E_1 - E_0$, где E_1 — энергия активации выхода молекулы воды из ближнего окружения иона, E_0 — энергия активации самодиффузии молекул воды в структурной матрице воды за пределами ближнего окружения иона.

Действительно, регрессионный анализ полученных данных показал, что для ряда хлоридов щелочных металлов между величинами K и значением ΔE_M^+ [7] (см. таблицу) существует четкая функциональная зависимость, описываемая эмпирическим уравнением:

$$\ln K = 0,037 + 4,6 \cdot \Delta E_M^+ \quad (1)$$

с коэффициентом корреляции, равным 0,9989. Поскольку изменение свободной энергии при межфазном переносе соли $G_{\text{пер.}} = RT \cdot \ln K$, можно констатировать, что $\Delta G_{\text{пер.}}$ и ΔE_1 связаны обратной зависимостью. Этот результат является нетривиальным не только потому, что он устанавливает связь между равновесными и кинетическими свойствами ионов, но и потому, что функция $\Delta G_{\text{пер.}}$ на границе между отрицательной и положительной гидратацией катионов имеет разрыв и становится неопределенной большой:

$$\Delta G_{\text{пер.}} \rightarrow \pm \infty \text{ при } \Delta E_1 \rightarrow 0 \quad (2)$$

Важно отметить, что разрыв между двумя ветвями гиперболы 1, совпадающий с условием 2, имеет не только математический, но и физический смысл. Ранее рядом исследователей были обнаружены явления, которые во избежание нарушения основных законов термодинамики потребовали введения представлений о скачкообразной структурной перестройке ближнего окружения ионов при переходе от отрицательно гидратирующихся катионов с положительной гидратацией [8—12]. Природа этой перестройки связывается в литературе с требованиями силы электростатического ионного поля [8] или с критическими условиями энергетики активационных процессов [10] и предположительно объясняется скачкообразным изменением координационных чисел ионов [9], или скачкообразными кооперативными переходами от контактных ион-

ных пар к разделенным и далее к независимо гидратированным ионам [10—12].

Вопреки ожиданиям, ряд галогенидов не обнаружил достоверной связи между $\Delta G_{\text{пер}}$ и ΔE_x . Выравнивание коррелятивной функции в линейном, гиперболическом, экспоненциальном, логарифмическом и степенным приближениях с использованием различных шкал ΔE_x —неизменно приводит к значениям коэффициентов корреляции ниже критических табличных для $P=0,99$. Однако использование в качестве коррелятивного параметра величины радиуса аниона r_x —приводит к уравнению регрессии:

$$\ln K = 0,0268 \cdot r_x^{2,08} \quad (3)$$

с коэффициентом корреляции 0,9963. Возможное объяснение этого результата состоит в том, что величина $\Delta G_{\text{пер}}$ прямо пропорциональна поверхности аниона и определяется числом контактов, а также способностью анионов к образованию водородных связей с окружающими анион молекулами воды.

$$\ln K = 0,0268 \cdot r_x^{2,08} \quad (3)$$

Таким образом полученные данные свидетельствуют о том, что распределение электролитов в водно-солевых полимерных двухфазных системах при отсутствии прямых взаимодействий ион-полимер регулируется молекулярно-кинетическими (катионы) и стерическими (анионы) факторами, связанными с различиями в структуре воды в существующих фазах.

Скачкообразное изменение коэффициентов распределения электролитов, наблюдаемое вблизи границы между отрицательной и положительной гидратацией для катионов щелочных металлов (при переходе от KCl к $NaCl$), но не для анионов галогенов (от KCl к KF), указывает на лимитирующую роль активационных факторов в явлении структурной перестройки ближнего гидратного окружения ионов.

Литература

1. Zaslavsky B. Yu., Mestechkina N. M., Mlheeva L. M., Rogozhin S. V.—J. Chromatogr., 1983, 256, 49. 2. Zaslavsky B. Yu., Mestechkina N. M., Mlheeva L. M., Rogozhin S. V.—J. Chromatogr., 1984, 240, 21. 3. Zaslavsky B. Yu., Masimov A. A., Gasanov A. A., Rogozhin S. V.—J. Chromatogr., 1984, 294, 261. 4. Алецко-Ожевский Ю. П., Маркова Н. Н., Шевякова Л. В.—Ж. аналит. хим., 1985, 40, 100. 5. Вайнштейн Б. К., Фридик Б. М., Инденбом В. Л.—Современная кристаллография, т. 2, с. 159.—М.: Наука, 1979. 6. Самойлов О. Я. Структура водных растворов электролитов и гидратация ионов.—М.: Изд-во АН СССР, 1957. 7. Fabricand B. P., Goldberg S. S., Lissner R., Ungar S. S.—Mol. Phys. Z., 1963, 425. 8. Wu Yu. C.—in: Structure of Water and Aqueous Solutions, N. A. Luck, ed., Berlin: Verlag Chemie, 1974, p. 189. 9. Chakraborty B. P., Lin J. L., Solution J.—Chem., 1976, 5, 183. 10. Алецко-Ожевский Ю. П., Маркова В. Г.—ДАН СССР, 1976, 230, 623. 11. Алецко-Ожевский Ю. П.—Журн. физ. химии, 1978, 52, 379, 698. 12. Борина А. Ф., Алецко-Ожевский Ю. П.—Журн. физ. химии, 1983, 56, 2757.

АГУ им. С. М. Кирова

Поступило 22 V 1987

Л. М. Михејева, Б. Ј. Заславски, С. В. Рогожин,
А. У. Маһмудов, Е. С. Гарајев, Ј. П. Алемшико-Ожевски

ҮЙДРОТАСИЯ ВЭ ГЭЛЭВИ МЕТАЛ НАЛЛОКЕНЛЭРИНИИ
ИКИФАЗАЛЫ ФИКОЛЛ-ДЕКСТРАН-СУ СИСТЕМЛЭРИНДЭ
ПАЛЛАНМСЫ

Мөгөлдө 0,15 м/кг NaCl дүзүнүү 0,01 м/кг фосфат-натриум буферли икифазалы фиколл-декстран-су системаларинде голови метал налоксенилери тәндигр олунмушады.

Гэлэви металлары хлорид дузларынын пайланмасы катионларын этрафындахи су молекулларынын тэмзүү сүйн нээрэн активасяа енергиси ΔF мэдэ

$$\ln K_{\text{MC}} = 0,037 + 4,6 \cdot \Delta F_M^{-1}.$$

тээлийн энэ характеристикиг олтуур.

L. M. Miheeva, B. Yu. Zaslavsky, S. B. Rogozhin, A. U. Mahmudov,
E. S. Garaev, Yu. P. Aleshko-Ozhevsky

HYDRATION AND PARTITIONING OF ALKALI HALIDES IN AQUEOUS FICOLL-DEXTRAN TWO-PHASE SYSTEM

Partition of alkali halides in aqueous Ficoll-Dextran phase system containing 0.15 mol/kg NaCl in 0.01 mol/kg Na-phosphate buffer, pH 7.4, was studied. The partition coefficients of alkali metal chlorides, $K_{M\text{Cl}}$, are found to be related to the activation energies for a change in configuration of water molecules near a given cation relative to pure water, ΔE_M as: in $K_{M\text{Cl}} = 0.037 + 4.6 \cdot 10^{-3} \Delta E_M$.

УДК 621.315.592

ФИЗИКА ПОЛУПРОВОДНИКОВ

К. Р. АЛЛАХВЕРДИЕВ, Ш. М. АББАСОВ, Г. Т. АГАВЕРДИЕВА, Т. Б. ТАГИЕВ

**ВЛИЯНИЕ НИЗКОТЕМПЕРАТУРНОГО ОБЛУЧЕНИЯ НА
 ФОТОПРОВОДИМОСТЬ МОНОКРИСТАЛЛОВ ТВЕРДОГО
 РАСТВОРА $n\text{-Ge}_{1-x}\text{Si}_x$**

(Представлено академиком АН Азербайджанской ССР М. И. Алиевым)

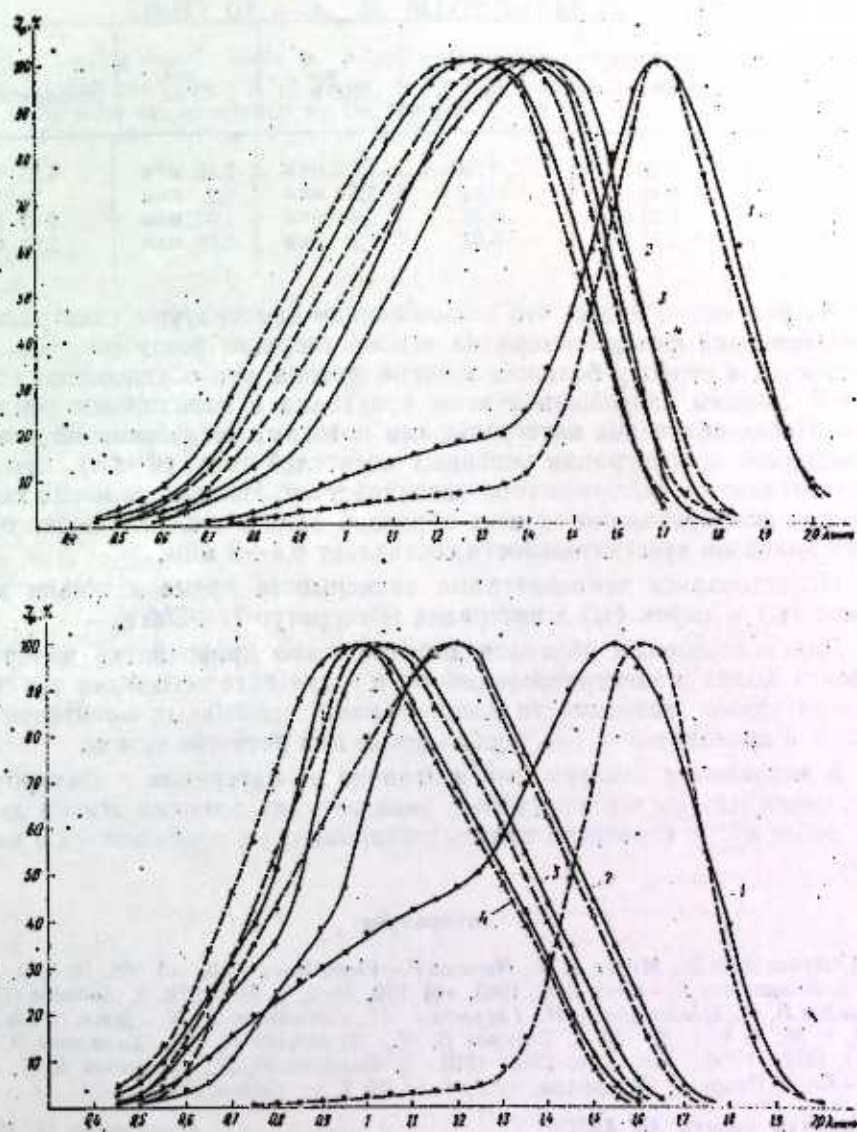
Современная полупроводниковая электроника предъявляет высокие и разнообразные требования к качеству полупроводниковых материалов. Монокристаллы твердого раствора $\text{Ge}_{1-x}\text{Si}_x$ в настоящее время используют для изготовления ряда приборов (приемников ИК-излучения, солнечных батарей, детекторов ядерных частиц), которые при эксплуатации подвергаются воздействию ионизирующих излучений. Применение этих приборов, а также внедрение методов радиационной физики в полупроводниковую технологию невозможно без изучения механизмов радиационного дефектообразования в полупроводниковых кристаллах. Облучение частицами высокой энергии приводит к образованию нарушений структуры кристалла. Наиболее существенными из них являются точечные дефекты, определяющие электрические, оптические и фотоэлектрические свойства полупроводников. Поэтому настоящая работа посвящена изучению фотопроводимости монокристаллов твердых растворов $\text{Ge}_{1-x}\text{Si}_x$ n -типа проводимости, облученным быстрыми электронами с энергией 5 МэВ при температуре жидкого азота.

Исследовались образцы германия n -типа и монокристаллы твердого раствора $\text{Ge}_{1-x}\text{Si}_x$, содержащих 5, 10, 15 ат. % кремния. Кристаллы $\text{Ge}_{1-x}\text{Si}_x$ легированы сурьмой и имели удельные сопротивления 5–10 Ом·см. Образцы облучались различными интегральными потоками электронов. Имевшиеся в нашем распоряжении образцы можно разделить на следующие группы: 1) образцы n -типа в исходном, не изменившем тип проводимости в результате облучения; 2) образцы n -типа конвентированные в p -типа в результате облучения.

На рисунке даются спектральные распределения фотопроводимости монокристаллов твердых растворов $\text{Ge}_{1-x}\text{Si}_x$ при комнатной температуре. Для удобства сравнения максимумы кривых приведены к единице. Видно, что в необлученных твердых растворах $\text{Ge}_{1-x}\text{Si}_x$ с увеличением содержания Si от 0 до 15 ат. % Si спектральные характеристики смешиваются в коротковолновую (больших энергий фотонов) часть спектра, что согласуется с характером изменения зонной структуры [1, 2]. Максимальные чувствительности лежат в интервале длин волн 1,3–1,7 мкм.

Видно, что твердые растворы $\text{Ge}_{1-x}\text{Si}_x$ как до, так и после облучения фоточувствительны в области первого окна атмосферы. Из рисунка видно, что после облучения максимумы кривых не смешаются, смеща-

ются только коротковолновые части спектра. До $n \rightarrow p$ -конверсии чувствительность образца меньше, чем в исходном. В образцах Ge после облучения чувствительность падает. Во всех образцах до облучения в коротковолновой области спектра наблюдается медленный рост чувствительности, а в длинноволновой части – резкий спад.



Спектральное распределение фотопроводимости монокристаллов твердых растворов $\text{Ge}_{1-x}\text{Si}_x$ при 300 (a) и 77 К (b): обр. 1 — чистый германий, 2, 3, 4 — обр. твердого раствора с 5, 10, 15 ат. % Si соответственно (до облучения)

Энергии фотонов, вычисленные по максимуму спектральной чувствительности, равны 0,73–1,2 эВ и совпадают с энергией прямых оптических переходов, а энергии фотонов, определяемые по полуспаду

чувствительности равны 0,72—0,93 эВ и совпадают с энергией непрямых оптических переходов (таблица). Ширина запрещенной зоны E_g , определяемая по полуспаду фоточувствительности, хорошо согласуется шириной запрещенной зоны твердого раствора $Ge_{1-x}Si_x$, найденная из оптических измерений [3, 4, 5].

Состав $Ge_{1-x}Si_x$, ат. % Si	ΔE_λ (300К), эВ	ΔE_λ (77К), эВ	$\lambda_{\text{мак}}$ 300 К	$\lambda_{\text{мак}}$ 77 К	n (см^{-3}) до облучения
0	0,65	0,72	1,7 мкм	1,55 мкм	$1,25 \cdot 10^{16}$
5	0,72	0,82	1,5 мкм	1,2 мкм	$2 \cdot 10^{16}$
10	0,77	0,88	1,4 мкм	1,07 мкм	$2,47 \cdot 10^{16}$
15	0,81	0,93	1,3 мкм	0,99 мкм	$2,61 \cdot 10^{16}$

Из рисунка, б видно, что с понижением температуры спектральные характеристики фотодиода на основе твердого раствора $Ge_{1-x}Si_x$ смещаются в сторону больших энергий фотона, что обусловлено увеличением ширины запрещенной зоны кристалла с понижением температуры. После облучения интегральными потоками, меньшими по величине исходной концентрации основных носителей тока ($\Phi < n$), при 77К чувствительность фотодиода увеличивается. Из спектральных характеристик фотопроводимости всех образцов видно, что до и после облучения диапазон чувствительности составляет 0,4–2 мкм.

Исследовались температурные зависимости времени жизни электронов (τ_n) и дырок (τ_p) в интервале температур 77–300 К.

Для исследуемых образцов дополнительно проводились измерения эффекта Холла и электропроводности, в результате чего были получены температурные зависимости концентрации свободных носителей (n) удельной проводимости (σ), необходимые для расчетов τ_n и τ_p .

В заключение отметим, что в отличие от материала с электронной проводимостью на температурных зависимостях времени жизни дырок (τ_p) после $n \rightarrow p$ -конверсии центры прилипания не проявляются в явном виде.

Литература

1. Braunstein R., Moore A. R., Hergert F.—Phys. Rev., 1958, vol. 109, № 3, p. 695–709.
2. Braunstein R.—Phys. Rev., 1963, vol. 130, № 3, p. 869–878.
3. Аббасов Ш. М., Мамедов В. С., Шаховцов В. И., Гасумов Г. М., Зачайнова Л. И.—Докл. АН АзССР, 1980, т. 36, № 6, с. 33–35.
4. Тагиров В. И., Исмаилов И. М., Халилова Э. И.—ФТП, 1978, т. 12, вып. 6, с. 1208–1210.
5. Бакиров М. Я., Мамедов В. С.—Изв. АН СССР, Неорг. материалы, 1978, т. 14, № 7, с. 1201–1204.

Институт физики АН АзССР

Поступило 18. II 1987

К. Р. Аллахвердиев, Ш. М. Аббасов, К. Т. Агавердиева, Т. Б. Тагиев

АЛЧАГ ТЕМПЕРАТУРДА ЕЛЕКТРОН ШУАЛАНМАСЫНЫН
МОНОКРИСТАЛЛАРЫНЫН ФОТОКЕЧИРИЧИЛИЖИНЭ ТӘСИРИ

Мәгәләдә илкә дәфә олары 77 К температурunda електрон шуларынын, $Ge_{1-x}Si_x$ берк мәйлүлларынын фотоэлектрик хассаларының тәсирі еյренилмишdir.

Мүәжжән олумыштур ки, Ст_{1-x} Si_x фотомүгавиметләре шуланмадаң әвәл ва соңра атмосферин биринчи областында һәссасдырлар. Шуланманиң тәсирі ила фотомүгавиметин һәссаслығы артыр ($\Phi < n$).

K. R. Allahverdiyev, Sh. M. Abbasov, G. T. Agaverdiyeva, T. B. Tagiyev.
THE EFFECT OF LOW-TEMPERATURE IRRADIATION ON PHOTOCONDUCTIVITY OF n - $Ge_{1-x}Si_x$ ALLOY SINGLE CRYSTALS

An investigation is made of n -type germanium samples and $Ge_{1-x}Si_x$ alloy single crystals containing 5, 10, 15 at. % of Si. Photoresistor sensitivity is observed to increase after the irradiation by the integral fluxes less than the initial concentration of majority carriers ($\Phi < n$) at 77 K.

Г. Д. СУЛТАНОВ, Г. Д. ГУСЕИНОВ, С. Г. ИБРАГИМОВ, А. С. ШУКЮРОВ

АСИММЕТРИЯ ЛИНИИ КВАДРУПОЛЬНОГО
РАСЩЕПЛЕНИЯ В ЯГР-СПЕКТРАХ TiFeS_2

(Представлено академиком АН Азербайджанской ССР Г. Б. Абдуллаевым)

Асимметрия линий квадрупольного расщепления, наблюдаемая в мессбауэровских спектрах ряда поликристаллических образцов, обусловлена анизотропией фактора Дебая-Валлера (эффект Гольданского-Карягина) [1] и флюктуацией магнитного поля на ядре [2]. Одной из особенностей асимметрии, связанной с анизотропией Дебая-Валлера, является рост асимметрии линий квадрупольного расщепления с увеличением температуры.

Имеется ряд механизмов флюктуаций магнитного поля на ядре, приводящих к различной температурной зависимости асимметрии линий квадрупольного расщепления. В случае, когда флюктуации магнитного поля обусловлены электронной спин-решеточной релаксацией, увеличение температуры приводит к уменьшению степени асимметрии квадрупольного спектра, что прямо-противоположно — температурной зависимости механизма Гольданского-Карягина. А если флюктуации обусловлены спин-спиновой релаксацией, степень асимметрии зависит от концентрации парамагнитных ионов, но при этом совершенно не зависит от температуры.

Асимметрия линий квадрупольного расщепления может быть связана также и с ядерной спин-решеточной релаксацией. Температурная зависимость асимметрии в этом случае такова же, как и для эффекта Гольданского-Карягина.

В настоящей работе приведены результаты мессбауэровских исследований TiFeS_2 в интервале температур 100—180 K, где наблюдается асимметрия линий квадрупольного расщепления.

В кристаллической структуре TiFeS_2 ионы железа занимают тетраэдрические положения [3]. FeS_4 — тетраэдры параллельны плоскости (001). В плоскостях, параллельных (001), между двумя ионами Fe расположены ионы S, т. е. обменное взаимодействие между магнитными ионами железа осуществляется по цепочке Fe—S—Fe. В перпендикулярном направлении между ионами Fe находятся два иона S и один ион Ti. Таким образом, в этом направлении обменное взаимодействие между ионами Fe должно осуществляться по цепочке Fe—S—Ti—S—Fe. В [4] показано, что если пара магнитных ионов разделена двумя анионами, то энергия такого катион-анион-катионного взаимодействия на порядок меньше энергии катион-анион-катионного взаимодействия. Отсюда следует, что энергия «сверхобмена» по цепочке атомов Fe—S—Ti—S—Fe должна быть на два порядка меньше энергии взаимодействия Fe—S—

Fe. Поэтому можно предположить, что магнитные свойства TiFeS_2 будут определяться главным образом взаимодействием между ионами Fe, расположенными в плоскостях, параллельных плоскости (001). Такая особенность делает кристалл TiFeS_2 подобным по магнитным свойствам тонким магнитным пленкам. Известно, что тонкие магнитные пленки проявляют суперпарамагнитные свойства [5—7].

При объяснении суперпарамагнетизма предполагается, что магнитные моменты флюктуируют вдоль осей легкого намагничивания с некоторой частотой ω , зависящей от температуры [8]. Частота флюктуаций ω с возрастанием температуры увеличивается. Форма мессбауэровских спектров зависит от соотношения между частотой флюктуаций внутреннего поля на ядре и частотой ларморовой прецессии ω_L в этом поле. Если частота флюктуаций много меньше частоты прецессии ядра ($\omega \ll \omega_L$), то в мессбауэровском спектре наблюдаются шесть линий магнитного расщепления. При $\omega \gg \omega_L$ будет наблюдаться одиночная (дублетная, если имеет квадрупольное взаимодействие) линия. А если частота флюктуаций близка к частоте ларморовой прецессии ($\omega \approx \omega_L$), то в этом случае наблюдаются релаксационные эффекты и в некотором температурном интервале мессбауэровские спектры содержат как линии магнитного расщепления, так и одиночную (дублетную).

На рис. 1 представлены мессбауэровские спектры TiFeS_2 при различных температурах. Спектр при 100 K состоит из шести уширенных

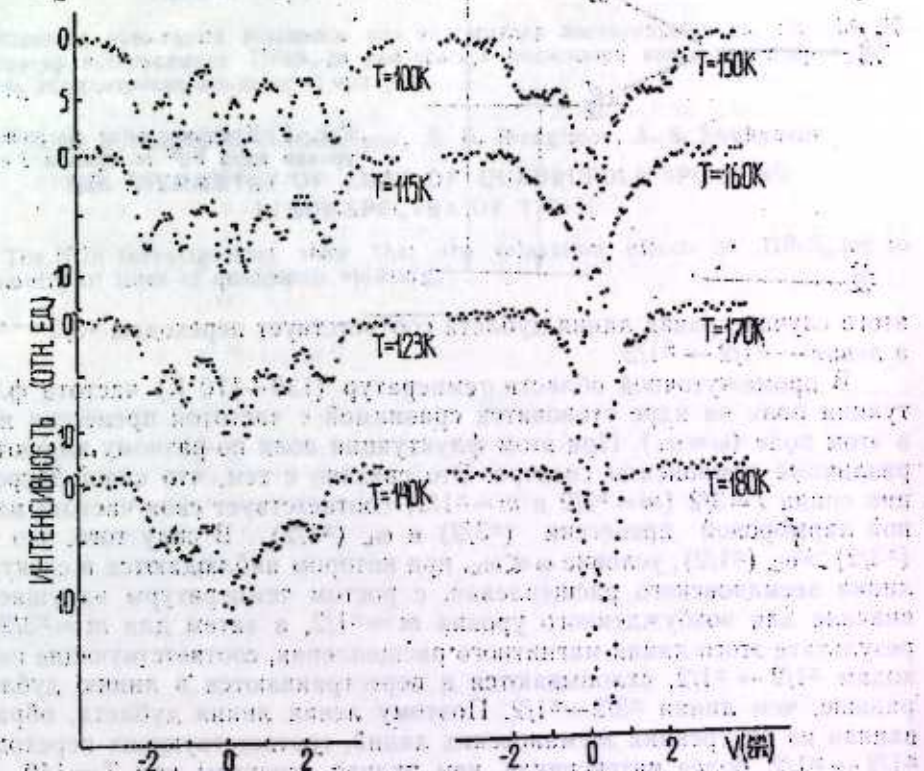


Рис. 1. Мессбауэровские спектры TiFeS_2 в интервале температур 100—180 K

линий зеемановского расщепления. С повышением температуры в спектрах появляются также линии квадрупольного расщепления, а линии магнитного расщепления еще более размываются. Наконец, при 180 К линии магнитного расщепления исчезают, и спектр состоит из дублетной линии квадрупольного расщепления.

Наличие шести линий зеемановского расщепления в спектрах при 100 К и ниже объясняется тем, что при этих температурах частота флуктуаций магнитного поля на ядре ω меньше частоты ядерной ларморовой прецессии ω_L , т. е. выполняется условие $\omega \ll \omega_L$. Уширение линий магнитного расщепления и дальнейшее их уширение с ростом температуры вызваны релаксационными эффектами [9]. При 180 К и выше выполняется условие $\omega \gg \omega_L$ и спектры состоят только из линий квадрупольного расщепления.

В интервале температур 130–170 К линии квадрупольного дублета асимметричны. Наблюдаемое на эксперименте уменьшение степени асимметрии линий квадрупольного расщепления при увеличении температуры указывает на то, что в рассматриваемом случае причиной асимметрии является электронная спин-решеточная релаксация, которая свойственна парамагнитным и супермагнитным веществам [2, 10].

На рис. 2 представлено квадрупольное расщепление возбужденного уровня ядра Fe^{57} со спином $J=3/2$. В мессбауэровских спектрах для

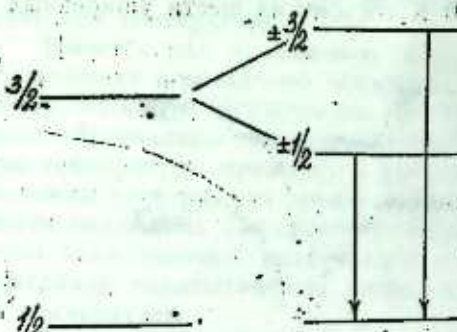


Рис. 2. Квадрупольное расщепление уровня ядра Fe^{57} со спином $J = 3/2$.

этого случая правая линия дублета соответствует переходам $\pm 3/2 \rightarrow \pm 1/2$, а левая — $\pm 1/2 \rightarrow \pm 1/2$.

В промежуточной области температур (130–170 К) частота флуктуации поля на ядре становится сравнимой с частотой прецессии ядра в этом поле ($\omega \approx \omega_L$). При этом флуктуации поля по-разному влияют на различные компоненты спектра. Это связано с тем, что каждой проекции спина $J=3/2$ ($m=\pm 3/2$ и $m=\pm 1/2$) соответствует своя частота ядерной ларморовой прецессии ($\pm 3/2$) и ω_L ($\pm 1/2$). В силу того, что $\omega_L (\pm 3/2) > \omega_L (\pm 1/2)$, условие $\omega \ll \omega_L$, при котором наблюдаются в спектрах линии зеемановского расщепления, с ростом температуры нарушается вначале для возбужденного уровня $m=\pm 1/2$, а затем для $m=\pm 3/2$. В результате этого линии магнитного расщепления, соответствующие переходам $\pm 1/2 \rightarrow \pm 1/2$, схлопываются и перестраиваются в линию дублета раньше, чем линии $\pm 3/2 \rightarrow \pm 1/2$. Поэтому левая линия дублета, образованная из внутренних зеемановских линий, соответствующих переходам $\pm 1/2 \rightarrow \pm 1/2$, более интенсивная, чем правая (спектры при $T=140, 150$ и 160 К). При этих температурах крайние зеемановские линии, соответствующие переходам $\pm 3/2 \rightarrow \pm 1/2$, еще очень заметны. При дальнейшем возрастании температуры происходит постепенное схлопывание

крайних линий. Поэтому степень асимметрии линий дублета уменьшается (спектр при 170 К) и, наконец, дублет становится симметричным (спектр при 180 К).

Полученные результаты показывают, что в области температур 100–180 К в $TlFeS_2$ происходят релаксационные явления, приводящие к асимметрии линий квадрупольного расщепления.

Литература

1. Химические применения мессбауэровской спектроскопии.—М.: Мир, 1970, с. 86–90.
2. Эффект Мессбауэра.—М.: Атомиздат, 1969, с. 340–346.
3. Kufoglu A.—Naturwissenschaften, 61, 1974, 125–126.
4. Гуденаф Д. Магнетизм и химическая связь.—М.: Металлургия, 1968, с. 151.
5. Walker J. G., Gelveland B.—Proc. Conf. Appl. of the Mössbauer effect. Вискаре, 1971, 307.
6. Султанов, Г. Д., Гусейнов Н. Г., Исмаилзаде И. Г., Мирзабаев Р. М., Алиев Л. А. ФТТ, 17, № 7, 1975, 1940–1943.
7. Bayreuther G. and Lugert G.—Jour. of Mag. and Mag. Mat., 1983, vol. 35, № 1–3, 50–52.
8. Schule W. J., Shtrikman S., Treves D.—J. Appl. Phys., 1965, vol. 36, 1010.
9. Афанасьев А. М., Седов В. Е.—Докл. АН СССР, 1986, 1350–1355.
10. Сверхтонкие взаимодействия в твердых телах.—М.: Мир, 1970, с. 312–332.

Поступило 4.I.1987

Г. Ч. Султанов, Н. Ч. Гусейнов, С. Г. Ибраимов, Э. С. Шукуроев

$TlFeS_2$ -НИЦ НУВЭ-ГАММА РЕЗОНАНС СПЕКТРЛЭРИНДЭ КВАДРУПОЛ АЙРЫЛМА ХЭТЛЭРИНИН АСИММЕТРИКЛИЈИ

Мэглэдэ нувэ-гамма резонансы илээ тэдгигатлар көстөрмийшдир ки, 100–180 К температур. интервалында $TlFeS_2$ -дээ релаксасија надсэлэри квадрупол айрима хэтлэрийн асимметриклийнэ кэтириб чыхарыр.

G. D. Sultanov, G. D. Guseinov, S. G. Ibragimov, A. S. Shukurov
THE ASYMMETRY OF LINES OF QUADRUPOLE SPLITTING
IN NGR-SPECTRA OF $TlFeS_2$

The NGR investigations show that the relaxation effects in $TlFeS_2$ led to asymmetry of lines of quadrupole splitting.

ТЕОРЕТИЧЕСКАЯ ФИЗИКА

Чл.-корр. АН АзССР А. И. МУХТАРОВ, С. К. АБДУЛЛАЕВ, Л. П. АЛИЕВ
**РАДИАЦИОННОЕ РОЖДЕНИЕ СКАЛЯРНЫХ ФЕРМИОНОВ
 В e^-e^+ —АНИГИЛЯЦИИ В РАМКАХ РАЗЛИЧНЫХ
 КАЛИБРОВОЧНЫХ МОДЕЛЕЙ**

В последние годы заметно возрос интерес к суперсимметричным калибровочным теориям, согласно которым каждая частица имеет супер搭档а. Скалярные партнеры известных фермионов имеют те же квантовые числа по внутренним симметриям и отличаются от них только спином. В ускорительных центрах PETRA и PEP интенсивно ведутся поиски суперчастиц, однако обнаружить их пока не удалось. Большие надежды на открытие суперсимметричных частиц в электрон-позитронной аннигиляции связаны с вводом в строй нового поколения ускорителей (LEP, ВЛЭПП, SLC) с энергиями в диапазоне 100–200 ГэВ в с. ц. и.

На встречных e^-e^+ -пучках процесс аннигиляции $e^- + e^+ \rightarrow f + \bar{f}$ является основным источником рождения скалярных фермионов. Эта реакция с учетом вклада слабых нейтральных токов (СНТ) в стандартной модели (СМ) Глэшоу-Вайнберга-Салама исследована в работах [1, 2].

Здесь рассматривается процесс радиационного рождения пары скалярных фермионов при аннигиляции электрона и позитрона в рамках различных калибровочных моделей с группами симметрии $SU(2) \times U(1)$, $SU(2)_L \times SU(2)_R \times U(1)$, $SU(3) \times U(1)$, $SU(2) \times U(1) \times U'(1)$.

$$e^-(p_1) + e^+(p_2) \rightarrow \gamma^*, \quad Z_1, \quad Z_2 \rightarrow \tilde{f}(q_1) + \tilde{\bar{f}}(q_2) + \gamma(\kappa), \quad (1)$$

где в скобках указаны 4 импульса частиц. Скалярные фермионы входят в супермультиплеты (\tilde{f}_L, f_L) и (\tilde{f}_R, f_R) , где f_L и f_R —левый и правый фермионы. Частицы, входящие в один супермультиплет, обладают одинаковыми константами связи с калибровочными полями (см. [3]).

Процессу (1) соответствует следующий матричный элемент

$$M = \frac{e^3}{t} \left[-Q_1 \bar{v} R_\mu u + \sum_{i=1}^2 D_i(t) \bar{v} R_\mu (V_i + \gamma_i A_i) u \cdot g_i \right] (q_1 - q_2)_\mu + \\ + \frac{e^3}{s} \left[\zeta \bar{v} \gamma_\mu u - Q_1 \sum_i D_i(s) \bar{v} \gamma_\mu (V_i + \gamma_i A_i) u \cdot g_i \right] J_\mu, \quad (2)$$

где

$$R_\mu = \gamma_\mu \frac{\kappa - 2a \cdot p_1}{2\kappa \cdot p_1} - \frac{\kappa - 2a \cdot p_2}{2\kappa \cdot p_2} \gamma_\mu,$$

$$J_\mu = \frac{a \cdot q_1}{\kappa \cdot q_1} (\kappa = q_1 - q_2)_\mu + \frac{a \cdot q_2}{\kappa \cdot q_2} (\kappa - q_1 + q_2)_\mu - 2a_\mu.$$

$$D_i(t) = t(t - M_i^2 + i\Gamma_i M_i)^{-1} (\sin 2\theta_n)^{-2}, \quad D_i(s) = D_i(t \rightarrow s),$$

$s = -(p_1 + p_2)^2$ —квадрат суммарной энергии e^-e^+ —пары в с. ц. и.; $t = s(1 - x)$; $x = 2\omega/\sqrt{s}$ —доля энергии, уносимая фотоном; Q_i —электрический заряд скалярного фермиона; g_i —константы взаимодействия суперчастицы с Z_1 -бозоном, причем для супер搭档а $\int g_i = V_i^{(0)} - A_i^{(0)}$, а для супер搭档а $\int g_i = V_i^{(0)} - A_i^{(0)}$; V_i ($A_i^{(0)}$)—векторные и аксиально-векторные константы связи электрона (фермиона, f) с Z_1 -бозонами (они приведены в работах [4–7]); θ_n —угол Вайнберга; M_i и Γ_i —массы и полные ширины Z_1 -бозонов; a —вектор поляризации фотона.

Энергетический спектр фотонов в процессе (1) может быть представлен в следующем виде (интегрирование по импульсам скалярных фермионов проводилось инвариантным методом [8, 9]):

$$d\sigma(h_1, h_2) = \frac{\alpha^3 v dx}{x} \left\{ \Phi_1 [F_1(t)(1 - h_1 h_2) + F_2(t)(h_2 - h_1)] + \right. \\ \left. + \Phi_2 [F_1(s)(1 - h_1 h_2) + F_2(s)(h_2 - h_1)] \right\}, \quad (3)$$

где

$$\Phi_1 = \frac{1 + (1 - x)^2}{1 - x} v^2 \left(\ln \frac{s}{m_e^2} - 1 \right),$$

$$\Phi_2 = 4 Q_i^2 [x^2 + (1 - 4 m_i^2/s) (L_0(1 - x - 2m_i^2/s) - 1 + x)], \\ v = \sqrt{1 - 4 m_i^2/t}, \quad L_0 = \frac{1}{v} \ln \frac{1 + v}{1 - v},$$

$$F_1(t) = Q_i^2 - 2 Q_i \sum_l V_l g_l \operatorname{Re} D_l(t) + \sum_l \sum_j (V_l V_j + A_l A_j) g_l g_j \operatorname{Re} (D_l(t) D_j^\dagger(t)),$$

$$F_2(t) = -2 Q_i \sum_l A_l g_l \operatorname{Re} D_l(t) +$$

$$+ \sum_l \sum_j (V_l A_j + V_j A_l) g_l g_j \operatorname{Re} (D_l(t) D_j^\dagger(t))$$

$$F_i(s) = F_i(t \rightarrow s) \quad i = 1, 2,$$

h_1 и h_2 —продольные поляризации электрона и позитрона, m_e и m_t —массы электрона и скалярного фермиона.

Слабые токи приводят к следующим пространственно нечетным электрослабым асимметриям

$$A_1 = \frac{1}{h_1} \cdot \frac{d\sigma(h_1, 0) - d\sigma(-h_1, 0)}{d\sigma(h_1, 0) + d\sigma(-h_1, 0)}, \quad (4)$$

$$A_2 = \frac{1}{h_2} \cdot \frac{d\sigma(0, h_2) - d\sigma(0, -h_2)}{d\sigma(0, h_2) + d\sigma(0, -h_2)}. \quad (5)$$

Из формулы (3) следует, что

$$A_2 = -A_1 = (\Phi_1 F_2(t) + \Phi_2 F_1(s))/(F_1(t) + F_2(s)) = A_{RL} \quad (6)$$

Следовательно, асимметрия, возникающая при аннигиляции продольно поляризованных e^+ и неполяризованных e^- , равна по величине и противоположна по знаку асимметрии, возникающей при аннигиляции продольно поляризованных электронов и неполяризованных позитронов.

Для сравнения предсказаний калибрвочных моделей $SU(2) \times U(1)$, $SU(2)_L \times SU(2)_R \times U(1)$, $SU(3) \times U(1)$ нами проведены численные расчеты асимметрии (6) для процессов $e^- + e^+ \rightarrow \bar{\mu} + \bar{\mu} + \gamma$, $e^- + e^+ \rightarrow \bar{d} + \bar{d} + \gamma$, $e^- + e^+ \rightarrow \bar{u} + \bar{u} + \gamma$ при значении энергии e^-e^+ -пучков $\sqrt{s} = 200$ ГэВ. При этом для параметров моделей выбирались значения, приведенные в [5—7], а для ширины распадов взято $\Gamma_1 = 2,87$ ГэВ, $\Gamma_2 = 3,77$ ГэВ. Некоторые результаты вычисления асимметрии A_{RL} для процессов $e^- + e^+ \rightarrow \bar{\mu} + \gamma$ и $e^- + e^+ \rightarrow \bar{u} + \bar{u} + \gamma$ приведены на рис. 1 и 2 при $m_t = 30$ ГэВ. На рисунках сплошные кривые отвечают рождению $f_L \bar{f}_L$ -пар, а пунктирные — $f_R \bar{f}_R$ -пар.

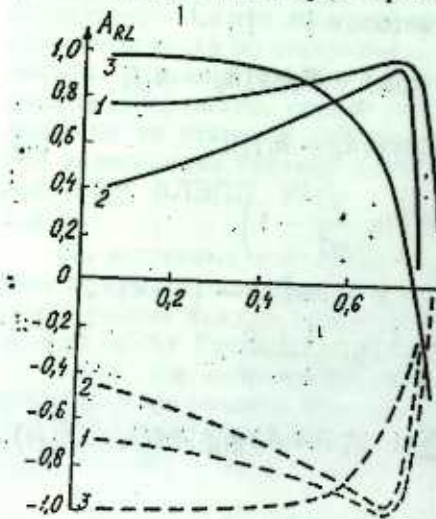


Рис. 1. Энергетическая зависимость асимметрии A_{RL} в процессе $e^- + e^+ \rightarrow \bar{\mu} + \bar{\mu} + \gamma$ в моделях $SV(2) \times V(1)$, $SV(2) R \times V(1)$ и $SV(3) \times V(1)$ (кр. 1, 2, 3, соответственно)

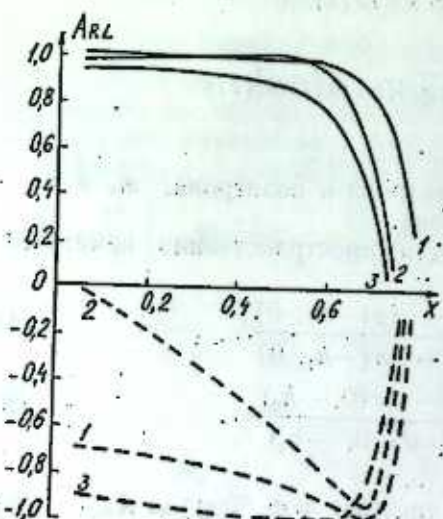


Рис. 2. Энергетическая зависимость асимметрии A_{RL} в процессе $e^- + e^+ \rightarrow \bar{u} + \bar{u} + \gamma$ в моделях $SV(2) \times V(1)$, $SV(2) R \times V(1)$ и $SV(3) \times V(1)$ (кр. 1, 2, 3, соответственно).

В таблице приведены численные значения эффективного сечения процесса $e^- + e^+ \rightarrow \bar{\mu} + \bar{\mu} + \gamma$ в случае неполяризованных частиц при $\sqrt{s} = 200$ ГэВ и $m_t = 30$ ГэВ (в единицах $a^2 \times 10^3 / \text{ГэВ}^2$). Как следует

Модель x	$SU(2) \times U(1)$		$SU(3) \times U(1)$		$SU(2)_L \times SU(2)_R \times U(1)$	
	$\bar{\mu}_L \bar{\mu}_L \gamma$	$\bar{\mu}_R \bar{\mu}_R \gamma$	$\bar{\mu}_L \bar{\mu}_L \gamma$	$\bar{\mu}_R \bar{\mu}_R \gamma$	$\bar{\mu}_L \bar{\mu}_L \gamma$	$\bar{\mu}_R \bar{\mu}_R \gamma$
0,05	5,63	4,74	10,82	8,26	3,94	5,16
0,10	2,78	2,34	5,40	4,14	1,96	2,56
0,20	1,37	1,15	2,75	2,11	0,98	1,26
0,30	0,92	0,76	1,93	1,49	0,66	0,85
0,40	0,72	0,58	1,60	1,24	0,51	0,66
0,50	0,62	0,50	1,55	1,21	0,44	0,58
0,60	0,60	0,47	1,92	1,51	0,45	0,59
0,70	0,77	0,56	4,84	3,96	0,64	0,97
0,75	1,34	0,92	33,04	28,39	3,12	4,83
0,80	38,10	27,33	8,43	7,93	1,17	1,34

из таблицы, в СМ с ростом энергии x сечение излучения фотона уменьшается и достигает минимума при $x = 0,6$, а затем снова увеличивается и достигает максимума при $x = 0,8$ (при этом после излучения фотона система e^-e^+ вскакивает в резонансное состояние, при котором $t = M_z^2$, это обстоятельство приводит к возрастанию эффективного сечения). В моделях $SU(3) \times U(1)$ и $SU(2)_L \times SU(2)_R \times U(1)$ характер зависимости эффективных сечений от x остается такой же, однако, минимум и максимум сечений несколько смещаются в сторону малых энергий. В СМ и $SU(3) \times U(1)$ модели при всех значениях переменной $x d\sigma(e^-e^+ \rightarrow \bar{\mu}_L \bar{\mu}_L \gamma) > d\sigma(e^-e^+ \rightarrow \bar{\mu}_R \bar{\mu}_R \gamma)$, а в модели $SU(2)_L \times SU(2)_R \times U(1) d\sigma(e^-e^+ \rightarrow \bar{\mu}_L \bar{\mu}_L \gamma) < d\sigma(e^-e^+ \rightarrow \bar{\mu}_R \bar{\mu}_R \gamma)$.

Литература

- Chlappetta P. et al.—Nucl. Phys. B, 1985, v. 259, No. 2, 3, 365.
- Sciller D. H. Wahner D.—Nucl. Phys. B, 1985, v. 255, No. 3, 4, 505.
- Высоцкий М. И.—УФН, 1985 т. 146, № 4, 591.
- Guliyev N. A. et al.—Ann. Phys., 1981, v. 41, No. 2, 93.
- Komatsu M.—Prog. Theor. Phys., 1980, v. 63, No. 2, 580.
- Konashi H., Furutani H.—Prog. Theor. Phys., 1981, v. 67, No. 5, 1532.
- Кухто Т. В., Шумейко Н. М. ЯФ, 1981, т. 40, № 5 (11), 1235.
- Абдуллаев С. К., Мухтаров А. И. Мустафаев В. З.—Изв. вузов СССР, Физика, 1982, № 1, 44.
- Абдуллаев С. К.—Изв. АН АзССР, серия физ.-тех. и матем. наук, 1984, № 6, 76.

АГУ им С. М. Кирова

Поступило 9. I 1987

А. И. Мухтаров, С. Г. Абдуллаев, Л. П. Элиев.

МУХТАРОВ СЕДАДИЛ САЛАМАНДЫРЫШОВИЧ
АБДУЛЛАЕВ САЛМАН ГАЛИЕВИЧ
ЭЛИЕВ ЛАЙКАНДАР ОЗЕРСКАЕВИЧ
МУХТАРОВ АБДУЛЛАЕВИЧ
АССАНОВА БАЙЖАНГИР ОЗЕРСКАЕВИЧ

Материалы $SU(2) \times U(1)$, $SU(2)_L \times SU(2)_R \times U(1)$ и $SU(3) \times U(1)$ моделей в сечении e^-e^+ -антины-лјасијасы заманы скалјар фермионларын радиасија дозулмасы

A. I. Mukhtarov, S. K. Abdullayev, L. P. Aliyev

THE RADIATIVE PRODUCTION OF SCALAR FERMIONS
IN e^-e^+ -ANNIHILATION WITHIN THE FRAMEWORK
OF DIFFERENT GAUGE MODELS

The radiative production of scalar fermions in e^+e^- -collisions is considered in the framework of different gauge models with the symmetry groups $SU(2) \times U(1)$, $SU(2)_L \times SU(2)_R \times U(1)$, $SU(3) \times U(1)$.

АЗЭРБАЙЧАН ССР ЕЛМЛЭР АКАДЕМИЈАСЫНЫН МӨРҮЗӘЛӘРИ

ДОКЛАДЫ АКАДЕМИИ НАУК АЗЕРБАЙДЖАНСКОЙ ССР

ТОМ XLIII ЧИЛД

№ 12

1987

УДК 547.962:541.63

ОРГАНИЧЕСКАЯ ХИМИЯ

Р. Э. АЛИЕВ, Я. Т. ИСМАИЛОВ

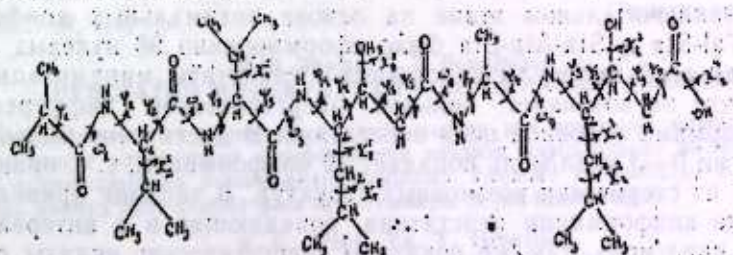
КОНФОРМАЦИОННЫЙ АНАЛИЗ МОЛЕКУЛЫ ПЕПСТАТИНА

(Представлено академиком АН Азербайджанской ССР Т. Н. Шахтахтиным).

Молекула пепстамина, имеющая аминокислотную последовательность Iva-Val-Val-Sta-Ala-Sta является микробным ингибитором аспартических протеаз. Ингибиторную активность проявляют также различные аналоги и производные пепстамина [1]. Для понимания стереохимических причин ингибирования необходимо знание конформационных возможностей взаимодействующих молекул фермента и ингибитора.

В данной статье излагаются результаты априорного расчета трехмерной структуры молекулы пепстамина. Конформационный анализ пепстамина выполнен в рамках механической модели молекулы с учетом невалентных и электростатических взаимодействий, торсионной энергии и водородной связи. Невалентные взаимодействия оценивались по потенциальну Ленинтарда-Джонса с параметрами Скотта и Шераги [2].

Электростатическая энергия рассчитывалась по закону Кулона с использованием зарядов на атомах, предварительно найденных нами по методу CNDO/2. Все расчеты выполнены нами применительно к условиям водной среды, поэтому величина диэлектрической проницаемости среды принята равной 10. Торсионные потенциалы, описывающие вращение вокруг связей основной и боковой цепей взяты из работы Момани и соавт. [3]. Водородные связи, оцениваемые по потенциальну типа Морзе [4], предполагались ослабленными и энергия связи в воде на равновесном расстоянии принята равной 1,5 ккал/моль.



Расчетная модель пепстамина

Расчетная модель молекулы пепстамина представлена на рисунке. Принятые в расчете фиксированные длины связей и валентные углы основной и боковой цепей взяты из [3, 5]. Конформационные возможности пепстамина определялись 29 двугранными углами вращения. Поиск минимумов потенциальной энергии осуществлялся методом ско-

режима спуска. Отчет двугранных углов вращения Φ , Ψ , ω и χ произведен согласно номенклатуре IUPAC—IUR [6].

Для обозначения конформаций при обсуждении результатов расчета нами введены идентификаторы, состоящие из букв и цифр. Буква характеризует конформационное состояние пары углов Φ , Ψ основной цепи (R , B , L , P), а цифры — состояние боковой цепи. Область значений χ ($0 \div 120^\circ$) обозначена — 1, ($-120 \div 120^\circ$) — 2, а ($-120 \div 0^\circ$) — 3.

РЕЗУЛЬТАТЫ И ИХ ОБСУЖДЕНИЕ

Конформационный анализ пепстатина проводился согласно физической модели [7], т. е. поэтапно путем последовательного выяснения конформационных состояний постепенно усложняющихся фрагментов. В основу фрагментарного анализа пространственного строения пепстатина положены наборы низкоэнергетических конформационных состояний свободных аминокислот.

Специфика аминокислотной последовательности пепстатина продиктовала следующую схему его конформационного анализа. Сначала был исследован дипептидный фрагмент Val—Val. На основе низкоэнергетических конформаций дипептида Val—Val и монопептида Sta исследован фрагмент Val—Val—Sta. Затем на основе 6 стабильных конформаций Iva и 17 конформаций Val—Val—Sta были сформированы нулевые приближения для расчета Iva—Val—Val—Sta. Результаты минимизации не выявили какую-либо предпочтительную пространственную структуру. В энергетический интервал 0—3 ккал/моль попадают структуры с различными формами основной цепи. Однако расчет тетрапептидного фрагмента Iva—Val—Val—Sta выяснил предпочтительную ориентацию боковых цепей Val и Sta относительно друг друга.

На следующем этапе на основе данных по монопептидам Sta и Ala было сформировано 435 нулевых приближений Sta-Ala-Sta. Стерически разрешенные конформации этого фрагмента распределились по энергии следующим образом. В интервал энергии 0—7 ккал/моль попадает 168 конформаций, а в интервал энергии 0—3 ккал/моль — 15. В дальнейших расчетах принимались во внимание все конформации фрагмента Sta-Ala-Sta, попадающие в интервал энергии 0—3 ккал/моль.

На заключительном этапе на основе оптимальных конформаций Iva—Val—Val—Sta и Sta-Ala-Sta было сформировано 98 нулевых приближений для всей молекулы пепстатина. Результаты минимизации показывают, что не возникает сильной энергетической дифференциации между формами основной цепи пепстатина. В достаточно малый интервал энергии 0—3 ккал/моль попадает 42 конформации, т. е. практически половина из стерически возможных структур. В таблице приведены оптимальные конформации пепстатина, попадающие в интервал энергии 0—2 ккал/моль, там же показаны энергетические вклады рассматриваемых взаимодействий. Как видно из таблицы, существенный вклад в стабилизацию структур вносят дисперсионные взаимодействия ($E_{\text{нел}}$). В аминокислотной последовательности пепстатина отсутствуют остатки с заряженной боковой цепью и потому вклад электростатических взаимодействий ($E_{\text{эл}}$) практически одинаково мал во всех конформациях. Вклад торсионной энергии ($E_{\text{торс}}$) также мал.

Таким образом, результаты априорного расчета пространственной структуры пепстатина выявили набор низкоэнергетических конформаций. Знание стабильных конформаций данной молекулы позволит в по-

Низкоэнергетические конформации пепстатина

Форма основной цепи	Энергетические вклады, ккал/моль				
	$E_{\text{нел}}$	$E_{\text{эл}}$	$E_{\text{торс}}$	$E_{\text{вбс}}$	$E_{\text{отн}}$
$B_1-R_2-B_2-L_{32}-P-L-B_{33}-R$	-32,4	-1,6	4,4	-29,6	0,0
$B_1-R_2-B_2-L_{32}-P-B-R_{33}-L$	-31,9	-1,6	4,0	-29,5	0,1
$B_1-R_2-B_2-L_{32}-P-B-B_{33}-B$	-31,3	-1,8	4,0	-29,0	0,6
$R_2-R_2-B_2-L_{32}-P-B-R_{32}-L$	-31,4	-1,3	4,0	-28,7	0,9
$B_1-R_2-B_2-L_{32}-P-B-B_{32}-L$	-30,8	-1,6	3,8	-28,6	1,0
$R_2-R_2-B_2-L_{32}-P-B-B_{32}-R$	-31,0	-1,6	4,1	-28,4	1,2
$B_1-R_2-B_2-L_{32}-P-B-L_{32}-B$	-31,6	-1,4	4,5	-28,4	1,2
$R_1-B_1-B_2-B_{32}-L-R-R_{32}-R$	-27,9	-2,4	2,0	-28,3	1,3
$R_2-R_2-B_2-L_{32}-L-R-R_{32}-L$	-29,5	-2,3	3,7	-28,1	1,5
$R_2-R_2-B_2-L_{32}-L-R-B_{32}-R$	-28,3	-2,5	2,7	-28,1	1,5
$R_2-R_2-B_2-L_{32}-P-L-B_{32}-B$	-30,4	-1,4	3,7	-28,0	1,6
$R_2-R_2-B_2-L_{32}-P-B-B_{32}-P$	-28,5	-1,4	3,2	-26,7	1,9
$R_1-B_3-L_2-R_{32}-L-R-R_{32}-L$	-28,6	-2,3	3,1	-27,7	1,9
$B_1-B_1-R_2-R_{32}-P-R-B_{32}-P$	-28,7	-1,5	2,7	-27,6	2,0

следующем исследовать стереохимические особенности образования фермент-ингибиторного комплекса.

Литература

- James M. N. G., Sielecki A., Sallusto F., Rich D. H., Hofmann T.—Proc. Natl. Acad. Sci. USA, 1982, 79, 6137—6141.
- Scott R. A., Scheraga H. A.—J. Chem. Phys., 1966, 45, 2091—2101.
- Momany F. A., McGuire R. F., Burgess A. W., Scheraga H. A.—J. Phys. Chem., 1975, 79, No. 22, 2361—2381.
- Попов Е. М., Дашевский В. Г., Липкинд Г. М., Архипова С. Ф.—Молек. биология, 2, 1968. 612—621.
- Nakamura H., Morishima H., Takita T., Umezawa H., Itaka Y.—Antibiotics, 1973, 26, No. 4, 255—256.
- IUPAC—IUB. Commission on Biochemical Nomenclature.—Biochem. Biophys. Acta, 1971, 229, 1—17.
- Попов Е. М. Молек. биология, 9, 1975. 578—593.

Поступило 18. IX 1986

ПЕНСТАТИН МОЛЕКУЛУНУН КОНФОРМАСИЈА АНАЛИЗИ

Мөгалада изәрә конформасија анализи методу иле пепстатин молекулуун фаза гүруулушу тәдгиг олунмушудур. Конформасија анализи мәрәләләрлә мә'лум амин түршүлары ардычыллыгына эсасон апарылышыдыр. Несабат иәтичәсендә молекулун су мүнитинде мөвчуд олан стабил фаза гүруулушлары тә'җид едилмишdir.

R. E. Aliev, Ya. T. Ismailov

CONFORMATIONAL ANALYSIS OF PEPSTATIN MOLECULE

The spatial structure of the pepstatin molecule is investigated by theoretical conformational analysis method. The conformational analysis was carried out, basing of known aminoacid sequence. Calculation indicates, that pepstatin exists in several low energy conformational states, realized in aqueous solution,

З. Ч. САЛАЕВА, Р. М. АЛИЕВ, чл.-корр. АН АзССР Ю. Г. КАМБАРОВ
Т. Г. ПАПИЯН, В. И. КРАСНОВ, Д. Х. ХАИМОВА

ТЕРМОДИНАМИЧЕСКИЙ АНАЛИЗ ПРОЦЕССА ПЕРЕАЛКИЛИРОВАНИЯ-ГИДРОКРЕКИНГА АРОМАТИЧЕСКИХ КОНЦЕНТРАТОВ C_7-C_{10}

В перспективе основной тенденцией в развитии процессов получения бензола, ксиолов и других ароматических углеводородов путем переалкилирования менее дефицитных ароматических углеводородов (толуола, псевдокумола и др.) является вовлечение в процесс более доступного сырья—широких технических ароматических концентратов различного происхождения [1—2]. В связи с тем, что технические фракции C_7-C_{10} жидких продуктов пиролиза представляют собой сложные трудноразделяемые смеси ароматических и неароматических углеводородов различного класса, нелегко оценить вероятность протекания всей гаммы взаимовлияющих реакций переалкилирования ароматических углеводородов, гидродеалкилирования алкилбензолов, гидрокрекинга неароматических углеводородов и т. п. и рассчитать равновесный выход продуктов реакций, который зависит от соотношения компонентов сырья, температуры и других термодинамических параметров процесса. Целесообразность такой оценки диктовалась отсутствием подобного анализа для изучаемого процесса и необходимостью выбора селективного катализатора, обеспечивающего выхода целевых продуктов, близких к термодинамически возможному.

Основными целевыми реакциями процесса, ведущими к образованию бензола и ксиолов, являются реакции переалкилирования алкилбензолов C_7-C_9 (трансалкилирование, диспропорционирование, изомеризация). Реакции гидрокрекинга неароматических углеводородов, протекающие в условиях процесса, с образованием в основном легких углеводородов C_1-C_4 , позволяют выделить целевые продукты обычным ректификационным методом. Побочные реакции в том числе реакции гидродеалкилирования ароматических углеводородов снижают выход целевых продуктов, т. к. при этом образуется менее ценный метан. Совокупность перечисленных реакций представлена в табл. 1.

Термодинамическая вероятность указанных реакций оценивалась по изменению изобарно-изотермического потенциала—энергии Гиббса в интервале температур 600—800 К (табл. 2). Реакции 1—4, 5, 7 и 13—16 в интервале исследуемых температур процесса вполне осуществимы, повышение же температуры мало влияет на вероятность протекания этих реакций. Реакции гидродеалкилирования (9—12) и гидрокрекинга парафиновых углеводородов (21—26) протекают с наибольшей вероятностью, т. к. $\Delta G \ll 0$.

Вероятность осуществления реакций гидрирования (17 и 19) в рассматриваемых условиях очень мала, а вероятность последующего де-

структуривного гидрогенолиза образующихся нафтеновых углеводородов реакции (18 и 20) очень большая, т. к. $\Delta G \ll 0$. Повышение температуры неблагоприятствует протеканию реакций гидрирования и деструктивного гидрогенолиза. Вероятность протекания реакций образования кокса

Таблица 1

Реакции, характерные для процесса трансалкилирования-гидрокрекинга смеси ароматических и неароматических углеводородов C_6-C_{10}

1. Реакции трансалкилирования:
 1. $C_6H_5CH_3 + C_6H_5(CH_3)_2 \rightarrow 2C_6H_4(CH_3)_2$
 2. $C_6H_5 + C_6H_5(CH_3)_2 \rightarrow C_6H_5CH_3 + C_6H_4(CH_3)_2$
 3. $C_6H_6 + C_6H_5(CH_3)_2 \rightarrow 2C_6H_5CH_3$
 4. $C_6H_6(CH_3)_2 + C_6H_5(CH_3)_2 \rightarrow 2C_6H_5$
 5. $C_6H_5CH_3 + C_6H_3(CH_3)_2 \rightarrow 2C_6H_3C_2H_5$
2. Реакции диспропорционирования:
 6. $2C_6H_5CH_3 \rightarrow C_6H_6 + C_6H_4(CH_3)_2$
 7. $2C_6H_4(CH_3)_2 \rightarrow C_6H_5CH_3 + C_6H_3(CH_3)_2$
 8. $2C_6H_3(CH_3)_2 \rightarrow C_6H_6 + C_6H_2(CH_3)_2$
3. Реакции гидродеалкилирования:
 9. $C_6H_5(CH_3)_2 + H_2 \rightarrow C_6H_5(CH_3)_2 + CH_4$
 10. $C_6H_5(CH_3)_2 + H_2 \rightarrow C_6H_5CH_3 + CH_4$
 11. $C_6H_5CH_3 + H_2 \rightarrow C_6H_5 + CH_4$
 12. $C_6H_5(CH_3)_2 + H_2 \rightarrow C_6H_5(CH_3)_2 + CH_4$
4. Реакции изомеризации:
 13. $m\text{-Ксиол } C_6H_5(CH_3)_2 \rightarrow C_6H_4(CH_3)_2$
 14. $m\text{-Ксиол } C_6H_4(CH_3)_2 \rightarrow C_6H_4(CH_3)_2$
 15. $T\text{севдокумол } C_6H_5(CH_3)_2 \rightarrow C_6H_3(CH_3)_2$
 16. $P\text{севдокумол } C_6H_3(CH_3)_2 \rightarrow C_6H_3(CH_3)$
5. Реакции гидрирования и деструктивного гидрогенолиза:
 17. $C_6H_5CH_3 + 3H_2 \rightarrow C_6H_6 + CH_4$
 18. $C_6H_5CH_3 + 7H_2 \rightarrow 7CH_4$
 19. $C_6H_6 + 3H_2 \rightarrow C_6H_6$
 20. $C_6H_{12} + 6H_2 \rightarrow 6CH_4$
6. Реакции гидрокрекинга:
 21. $C_7H_{16} + H_2 \rightarrow C_6H_6 + CH_4$
 22. $C_7H_{16} + 3H_2 \rightarrow 2CH_4 + C_6H_6 + C_2H_6$
 23. $C_7H_{16} + H_2 \rightarrow C_6H_{10} + 2CH_4$
 24. $C_7H_{16} + H_2 \rightarrow C_6H_6 + CH_4$
 25. $C_7H_{16} + 4H_2 \rightarrow 3CH_4 + C_2H_6 + C_3H_8$
 26. $C_7H_{14} + 2H_2 \rightarrow CH_4 + C_2H_6 + C_3H_6$
7. Реакции образования кокса:
 27. $C_6H_5CH_3 \rightarrow 7C + 4H_2$
 28. $C_6H_6 \rightarrow 6C + 3H_2$
8. Реакции дегидроциклизации:
 29. $C_6H_{15} \rightarrow C_6H_4(CH_3)_2 + 1H_2$
 30. $C_7H_{16} \rightarrow C_6H_5CH_3 + 1H_2$

Таблица 2

Значения энергий Гиббса (ΔG , ккал/моль) для реакций процесса переалкилирования—гидрокрекинга ароматических концентратов C_7-C_{10}

№ реакции	600 К	700 К	800 К	№ реакции	600 К	700 К	800 К
1	0,51	0,63	0,74	16	1,80	1,94	2,09
2	-1,74	-1,97	-2,20	17	5,07	14,49	23,92
3	-1,81	-2,09	-2,37	18	-91,98	-60,28	-90,01
4	-5,68	-6,76	-4,79	19	4,19	13,64	23,12
5	4,71	4,47	4,20	20	-60,28	-49,94	-38,97
6	2,26	2,60	2,9+	21	-14,82	-14,90	-14,92
7	0,82	0,91	0,98	22	-41,86	-42,10	-42,18
8	6,99	6,81	6,61	23	-29,74	-23,92	-30,00
9	-12,00	-12,12	-12,15	24	-14,87	-14,93	-15,00
10	-12,11	-12,24	-12,32	25	-56,73	-57,06	-57,18
11	-10,30	-10,14	-9,94	26	-27,04	-27,20	-27,26
12	-18,61	-19,16	-18,17	27	998,67	965,35	931,89
13	0,96	1,11	1,27	28	853,89	826,55	799,28
14	1,00	1,05	1,10	29	-6,18	16,74	-27,33
15	1,13	1,43	1,73	30	-3,87	-14,52	-25,21

Примечание. Значения ΔG°_{298} компонентов взяты из [3].

(27—28) очень мала, но повышение температуры способствует этим реакциям.

Методом математического анализа на ЭВМ с применением методики [3] выделены независимые реакции переалкилирования алкилбензолов—восемь реакций (с 5 по 8; с 13 по 16) без учета реакций гидрокрекинга неароматических углеводородов (степень влияния этих реакций на равновесный выход продуктов оценивалась экспериментально) и рассчитаны равновесные составы получаемых продуктов.

Результаты термодинамического расчета равновесных составов продуктов переалкилирования алкилбензолов приведены в табл. 3. При

Таблица 3

Расчетный равновесный состав продуктов переалкилирования алкилбензолов C_7-C_9

T-ра, К	Мольн. соотн. аром. C_7-C_9	Равновесный состав катализата, мольн. %									
		бензол	толуол	этанол	α -ксилол	m -ксилол	n -ксилол	гемиэтилтолол	мезитилен	псевдокумол	ароматических C_{10}
1. Сыре, мольн. %: толуол — 83,3; псевдокумол — 16,7											
600	5:1	15,0	42,8	1,8	7,8	18,2	8,1	0,9	1,5	3,9	
700		15,4	42,0	2,6	8,3	17,2	7,9	1,0	1,4	3,8	
800		15,7	41,5	3,3	8,6	17,1	7,7	1,0	1,3	3,8	
2. Сыре, мольн. %: толуол — 50; псевдокумол — 50											
600	1:1	2,5	20,8	2,5	11,1	25,8	11,5	3,5	6,3	16,0	
700		2,6	20,4	3,6	11,7	24,8	11,2	3,9	5,8	15,9	0,1
800		2,6	20,2	4,7	12,1	24,2	10,9	4,2	5,3	15,3	0,2
3. Сыре, мольн. %: толуол — 16,7; псевдокумол — 83,3											
600	1:5	0,1	2,5	1,4	6,2	14,5	6,5	9,2	16,6	42,6	0,4
700		0,1	2,5	2,1	6,6	14,1	6,3	10,3	15,0	42,1	0,9
800		0,1	2,5	2,7	7,0	14,0	6,3	11,0	13,8	40,9	1,7
4. Сыре, мольн. %: толуол — 40; m-ксилол — 20; псевдокумол — 40											
600	1:1	2,5	20,8	2,5	11,2	25,8	11,5	3,5	6,2	16,0	
700		2,6	20,4	3,6	11,7	24,9	11,2	3,9	5,7	15,9	
800		2,6	20,2	4,7	12,1	24,2	10,9	4,2	5,3	15,6	0,2
5. Сыре, мольн. %: толуол — 70; этилбензол — 5; m-ксилол — 6; α-ксилол — 2; n-ксилол — 2; псевдокумол — 10; аромат. C_{10} — 4											
700	7:1	11,0	39,0	2,0	9,0	20,7	9,3	1,2	2,2	5,6	
800		11,3	38,4	2,9	9,4	20,1	9,0	1,4	2,0	5,5	
600		11,5	37,8	3,8	9,8	19,6	8,8	1,5	1,8	5,4	
6. Сыре, мольн. %: толуол — 30; бензол — 14; m-ксилол — 34; α-ксилол — 6; n-ксилол — 5; этилбензол — 2; псевдокумол — 8; аромат. C_{10} — 1											
600	3,8:1	9,8	37,5	2,1	9,8	21,6	9,7	1,4	2,4	6,2	
700		10,0	36,9	3,0	9,3	20,9	9,4	1,5	2,2	6,2	
800		10,2	36,4	4,0	10,1	20,3	9,2	1,6	2,0	6,1	

в этом определены равновесные составы продуктов переалкилирования в температурном интервале 600—800 К как для индивидуальных, с целью сопоставления с литературными данными [4] (причем, результаты полу-

Таблица 4

Экспериментальное исследование реакций переалкилирования — гидрокрекинга на мордангах содержащих катализаторах (Условия опыта: $P = 3,0$ ОМПа, $v = 1$ ч, сырье, отн. H_2 : сырье = 10:1)

Катализатор	T-ра °С/К	Мольн. соотн. C_7-C_9 в сырье	Состав катализата, мольн. %									
			бензол	толуол 0,1	α -этанол	m -ксилол	n -ксилол	гемиэтилтолол	мезитилен	псевдокумол	аром. C_{10}	аэаром. C_1-C_9
Ni=HM (n=10)	450 723	1:1	9,87	20,77	0,09	10,25	17,23	9,55	2,9	6,33	15,13	5,03
Ni—HM** (n=10)	450 723	1:1	2,23	27,79	0,09	8,1	14,5	8,8	3,22	8,23	40,15	4,24
Mo—10** P39—HM (n=10)	500 773	1:1	10,29	25,51	0,18	9,24	15,25	7,86	3,29	6,60	15,99	2,17
Mo—HM (n=10)	450 723	1:1	6,89	31,53	0,18	8,66	19,17	10,02	2,66	4,98	11,18	2,54
P39** Mo—HM (n=10)	450 723	1:1	7,07	27,85	0,18	9,43	16,96	10,60	2,25	5,99	12,76	2,94
P39—Mo** HM (n=10)												1,9

* Результаты длительных экспериментов.

чены аналогичные), так и сложных смесей различного состава, имитирующих технические фракции. Изменение температуры в пределах 600—800 К незначительно влияет на равновесный состав продуктов переалкилирования. При использовании в качестве сырья двухкомпонентной смеси максимальная глубина превращения толуола (59,8%), псевдокумола (49,8%), а также максимальный выход целевых кислолов 51,9 моль%. достаются при эквимолярном соотношении ароматических C_7 к C_9 (прим. 3). С учетом результатов термодинамических расчетов проводились экспериментальные исследования реакций переалкилирования гидрокрекинга ароматических концентратов.

По результатам сопоставления активности ряда морденитсодержащих катализаторов в условиях трансалькилирования-гидрокрекинга наибольшее приближение к термодинамически возможному равновесному составу продуктов реакций получено при использовании РЗЭ-Мо-Н-морденитного полифункционального катализатора (табл. 4). Введение неароматических углеводородов почти не влияет на равновесный состав продуктов переалкилирования алкилбензолов (сравнить табл. 3, 4). РЗЭ-Мо-Н-морденитный катализатор, при испытании в длительном непрерывном пробеге с использованием в качестве сырья модельной смеси, имитирующей по составу концентраты технической толуольной фракции и фракции ароматических углеводородов C_9 пироконденсата, обеспечивал высокий выход целевых продуктов, близких по составу к термодинамически возможному.

Выводы

1. В условиях исследуемого процесса термодинамически наиболее, осуществимы реакции гидреалкилирования и гидрокрекинга, значения энергии Гиббса которых представляют отрицательные величины, на порядок превышающие значения энергии Гиббса по реакциям переалкилирования.

2. Путем подбора селективного катализатора и оптимальных условий ведения процесса в значительной степени подавлены нежелательные побочные реакции и обеспечен достаточно высокий выход целевых продуктов, близких по составу к термодинамически возможному.

Литература

1. Рабинович Г. Л., Чижов В. Б. Превращение ароматических углеводородов C_9 в присутствии водорода на полифункциональном молибденоморденитном катализаторе. — М.: Нефтехимия, 1983, № 3 с. 353—360. 2. Хайдек Р., Новакку И., Мораюк К., Сильхар С. Диспропорционирование толуола на цеолитных катализаторах. — Э. И. ПОС, 1982, № 38 с. 7—9. 3. Введенский А. А. Термодинамические расчеты нефтехимических процессов — Л.: Гостехиздат, 1964, с. 128, 314. 4. Краснов В. И., Мусаев К. М., Атлас В. В. и др. Расчет на ЭВМ термодинамического равновесия на примере реакции диспропорционирования гексена — I. — ДАН АзССР, 1985, т. 41, № 2, с. 31—35. 5. Стала Д., Вестрам Э., Зинке Г. Химическая термодинамика органических соединений. — М.: Изд-во Мир, 1971, с. 807.

ВНИИОлефин

Поступило 16. VI 1987

З. Ч. Салајева, Р. М. Элијев, Ј. Г. Гэмбэрс, Т. Г. Палијан,
В. И. Краснов, Д. Х. Хаймова

C_7-C_{10} АРОМАТИК КОНЦЕНТРАТЛАРЫНЫН ПЕРЕАЛКИЛЛЕШМЭ ГИДРОКРЕКИНГ ПРОСЕССИН ТЕРМОДИНАМИК АНАЛИЗИ

Мэгладэ ЕhM-да ријази үсулла мұхтәлиф шәралтдән—температурдан, тәэжіргән, хаммалық тәркібинде олар компонентләри инсбеттәндән вә с. асылы олар C_7-C_{10} ароматик концентратларынын переалкилләшмә — гидрокрекинг процессинде реакция мәңсүлларынын термодинамик таразығ чыхымларынын несабланмасынын иштәчәри верилмишdir.

Селектив катализаторун вә оптимал шәралттар сечилмәси жолу иле аралыграексијалар мүэйјөн дәрәҗәдә ашагы салыныш, термодинамик чәнаттән мүмкүн олак тәркібәханы мәсөдәли мәңсүлларының јүксәк чыхымына наил олмушдур.

Z. Ch. Salayeva, R. M. Aliyev, Yu. G. Kambarov, T. G. Papiyan,
V. I. Krasnov, D. K. Khaimova

THERMODYNAMICAL ANALYSIS OF TRANSALKYLATION/HYDROCRACKING OF C_7-C_{10} AROMATIC CONCENTRATES

Thermodynamically feasible equilibrium yields of reaction products from transalkylation hydrocracking of C_7-C_{10} aromatic concentrates are calculated by computerized mathematical analysis for various conditions such as temperature, pressure, component ratio, etc.

By employing a selective catalyst and optimum process conditions side reactions were substantially suppressed and target products were obtained at sufficiently high yields close to those thermodynamically feasible.

Чл.-корр. АН АзССР И. М. ГУСЕИНОВ, Д. А. АБАСКУЛИЕВ

ХИМИЧЕСКИЕ ИНВАРИАНТЫ ДЛЯ СИСТЕМ РЕАКЦИЯ И ДИФФУЗИЯ В ПОРИСТОМ ЗЕРНЕ КАТАЛИЗАТОРА

При определении оптимальных режимов работы гетерогенно-катализических реакторов возникает необходимость в расчете распределения концентраций реагентов и температуры в зерне, степени использования внутренней поверхности катализатора [1].

Математическое описание процессов на пористых зернах катализатора, учитывающее закономерности диффузии через поры и реакции на активных центрах, в основном, базируется на представлении зерна в виде квазигомогенной среды, характеризующейся постоянными по объему эффективными коэффициентами диффузии и теплопроводности. Составление балансов массы в зерне катализатора для каждого компонента реакционной смеси приводит к системам дифференциальных уравнений параболического типа, которые в случае сложной нелинейной кинетики могут быть решены только численно с использованием ЭВМ. В настоящей статье дается вывод химических инвариантов для систем реакция и диффузия в пористом зерне катализатора произвольной геометрической формы.

Предположим, что в зерне катализатора протекают N реакции вида

$$\sum_{i=1}^s \alpha_{ij} A_i = 0 \quad j = 1, 2, \dots, N, \quad (1)$$

в которых участвуют S веществ A_i , $i = 1, 2, \dots, S$; α_{ij} — элементы матрицы стехиометрических коэффициентов.

Математическая модель процесса на зерне катализатора имеет вид

$$\begin{aligned} \frac{D_i^3}{r^2} \frac{d}{dr} \left(r^3 \frac{dC_i}{dr} \right) + R_i(C, T) &= 0 \\ \frac{\lambda^3}{r^2} \frac{d}{dr} \left(r^3 \frac{dT}{dr} \right) + \sum_{j=1}^N (-\Delta H_j) W_j &= 0 \quad i = 1, 2, \dots, S, \end{aligned} \quad (2)$$

где C_i — концентрация i -го реагента, T — температура, D_i^3 — эффективные коэффициенты диффузии и теплопроводности, ΔH_j , W_j — тепловой эффект и скорость j -ой реакции, $R_i(C, T)$ — скорость изменения концентрации i -го реагента, a — параметр формы зерна.

При выводе уравнений (2) не учитывается изменение объема в результате протекания химических реакций, а также предполагается, что процессы тепло-массообмена характеризуются усредненными эффективными коэффициентами теплопроводности и диффузии. Однако несмотря на эти упрощения, уравнения (2) позволяют адекватно описать

процессы в пористых гранулах для многих практически важных случаев.

Границные условия задаются следующим образом. В центре зерна из условия симметричности профилей концентраций и температуры

$$r = 0 \quad \frac{dC_i}{dr} = \frac{dT}{dr} = 0 \quad i = 1, 2, \dots, s. \quad (3)$$

На поверхности зерна — из условия равенства концентраций и температуры, на поверхности известным концентрациям и температуре в газовом потоке

$$r = R \quad C_i(R) = C_i^n, \quad T(R) = T^n \quad i = 1, 2, \dots, s \quad (4)$$

Как известно (2), скорость изменения концентрации i -го вещества можно представить в виде

$$R_i = \sum_{j=1}^N \alpha_{ij} W_j \quad i = 1, 2, \dots, s \quad (5)$$

Пусть ранг матрицы $\{\alpha_{ij}\}$, $j = 1, N$, $i = 1, s+1$ равен $m < N$, тогда система линейных однородных уравнений

$$\begin{pmatrix} \alpha_{11} & & & & & \\ \vdots & \ddots & \ddots & \ddots & \ddots & \\ & & & & & \\ & & & & & \\ (-\Delta H_1)(-\Delta H_2) \dots (-\Delta H_N) & & & & & \end{pmatrix}_{N \times (s+1)}^T \cdot \begin{pmatrix} \gamma_{1k} \\ \gamma_{2k} \\ \vdots \\ \gamma_{(s+1)k} \end{pmatrix}^T = 0 \quad (6)$$

имеет $I = (s+1) - m$ линейно независимых решений:

$$\tilde{\gamma}_k = (\gamma_{1k}, \gamma_{2k}, \dots, \gamma_{(s+1)k})^T \quad k = 1, 2, \dots, I$$

В результате умножения j -го уравнения на $\tilde{\gamma}_{jk}$ и сложения уравнений (2) будем иметь:

$$\frac{1}{ra} \frac{d}{dr} \left(r^a \frac{dU_k}{dr} \right) = 0, \quad (7)$$

где

$$U_k(r) = \sum_{j=1}^s \gamma_{jk} D_j^3 C_j(r) + \gamma_{(s+1)k} \lambda^3 T(r)$$

Осуществив аналогичные преобразования с граничными условиями (3), (4), получим

$$r = 0 \quad \frac{dU_k(0)}{dr} = 0 \quad (8)$$

$$r = R \quad U_k(R) = \sum_{j=1}^s \gamma_{jk} D_j^3 C_j^n + \gamma_{(s+1)k} \lambda^3 T^n \quad (9)$$

Произведем замену переменных $\frac{d}{dr} U_k(r) = Y_k(r)$ и подставим в (7) и (8):

$$\frac{1}{r^a} \frac{d}{dr} [r^a Y_k(r)] = 0 \quad k = 1, 2, \dots, I \quad (10)$$

$$r = 0, \quad Y_k = 0$$

Данное уравнение может быть решено методом разделения переменных

$$\frac{dY_k(r)}{Y_k(r)} = -\frac{a}{r} dr$$

$$\ln |Y_k(r)| = \ln C|r|^{-a} \quad C = \text{const}$$

$$Y_k(r) = 0 \quad \forall r \in [0, R]$$

Так как $Y_k(0) = 0$, то постоянная интегрирования $C = 0$ и решением уравнения (10) является

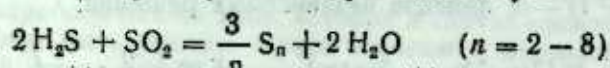
$$Y_k(r) = 0 \quad \forall r \in [0, R]$$

Тогда, учитывая, что $\frac{dU_k(r)}{dr} = Y_k(r) = 0$ и граничное условие (9), окончательно получим

$$U_k(r) = \sum_{j=1}^s \gamma_{jk} D_j^n C_j^n + \gamma_{k+1, k} \lambda^k T_R \quad (11)$$

Следовательно, получено k линейных инвариантных соотношений, которые позволяют выразить концентрации $s-m$ реагентов и температуру через концентрации выбранных m ключевых веществ. Таким образом, система (2) сводится к m дифференциальным уравнениям относительно концентраций ключевых веществ и $s-m+1$ линейных уравнений связи.

Пример 1. Рассмотрим протекание реакции Клауса



в пористом сферическом зерне катализатора.

Математическая модель, описывающая закономерности реакции и диффузии представляет собой систему из 5 дифференциальных уравнений параболического типа относительно концентраций реагентов и температуры.

Так как матрица $\{a_{ij}\}$ имеет вид:

$$(-2, -1, 3, 2)$$

и ее ранг, очевидно, равен 1, то общее число химических инвариантов равно 4. Линейно независимыми решениями системы однородных уравнений (6) будут:

$$\bar{\gamma}_1 = (1, -2, 0, 0, 0)$$

$$\bar{\gamma}_2 = (0, 3, 1, 0, 0)$$

$$\bar{\gamma}_3 = (0, 2, 0, 1, 0)$$

$$\bar{\gamma}_4 = (0, (-\Delta H), 0, 0, 1)$$

Следовательно, с учетом (11) и выбирая SO_2 за ключевое вещество, получим:

$$C_{H_2S}(r) = C_{H_2S}^n + \frac{2D_{SO_2}^n}{D_{H_2S}^n} [C_{SO_2}(r) - C_{SO_2}^n]$$

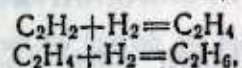
$$C_S(r) = C_S^n + \frac{3D_{SO_2}^n}{D_S^n} [C_{SO_2}^n - C_{SO_2}(r)]$$

$$C_{H_2O}(r) = C_{H_2O}^n + \frac{2D_{SO_2}^n}{D_{H_2O}^n} [C_{SO_2}^n - C_{SO_2}(r)]$$

$$T(r) = T^n + \frac{L_{SO_2}^n (-\Delta H)}{\lambda^3} [C_{SO_2}^n - C_{SO_2}(r)]$$

Таким образом, математическая модель процесса на зерне катализатора представима в виде одного дифференциального уравнения относительно концентрации ключевого вещества (SO_2) и четырех линейных соотношений.

Пример 2. Рассмотрим реакцию гидрирования ацетилена



протекающую в пористом сферическом зерне катализатора. В данном случае число реагентов — 4. Ранг матрицы $\{a_{ij}\}$ равен 2. Общее число инвариантов равно 3. Решениями системы уравнений (6) будут

$$\bar{\gamma}_1 = (1, 0, 1, 1, 0)$$

$$\bar{\gamma}_2 = (-\Delta H_1, 0, 0, -\Delta H_2, 1)$$

$$\bar{\gamma}_3 = (-1, 1, 0, 1, 0)$$

Выбирая C_2H_2 и H_2 за ключевые вещества, получим инварианты в виде:

$$C_{C_2H_2}(r) = \frac{D_{C_2H_2}^n}{D_{C_2H_4}^n} (C_{C_2H_4}(r) - C_{C_2H_2}^n) + \frac{D_{H_2}^n}{D_{C_2H_4}^n} (C_{H_2}(r) - C_{C_2H_2}^n) + C_{C_2H_2}^n$$

$$C_{C_2H_4}(r) = \frac{D_{C_2H_4}^n}{D_{C_2H_2}^n} (C_{C_2H_2}(r) - C_{C_2H_4}^n) + \frac{D_{H_2}^n}{D_{C_2H_2}^n} (C_{H_2}(r) - C_{C_2H_4}^n) + C_{C_2H_4}^n$$

$$T = \frac{(-\Delta H_1) D_{C_2H_2}^n}{\lambda^3} (C_{C_2H_2}(r) - C_{C_2H_2}^n) +$$

$$+ \frac{(-\Delta H_2) D_{C_2H_2}^n}{\lambda^3} (C_{C_2H_4}(r) - C_{C_2H_4}^n) + T^n$$

Использование инвариантов позволяет понизить размерность математических моделей процессов на зерне катализатора произвольной геометрической формы, уменьшить затраты времени ЭВМ на осуществление расчетов режимов работы зерна, оптимальных режимных параметров реактора.

Литература

1. Кафаров В. В. Методы кибернетики в химии и химической технологии — М.: Химия, 1985. — 448 с. 2. Киперман С. Л. Основы химической кинетики в гетерогенном катализе. — М.: Химия, 1979. — 352 с.

Всесоюзный научно-исследовательский
и проектный институт по подготовке к
транспортировке и переработке природного газа

Поступило 23. I 1987

Н. М. Гусейнов, Ч. А. Абасгулиев

КАТАЛИЗАТОРУН МЭСМЭЛИ ДЭНЭЛЭРИНДЭ РЕАКЦИЯ ВЭ
ДИФФУЗИЈА СИСТЕМИ ҮЧҮН КИМЈЭВИ ИНВАРИАНТЛАР

Мэгалэдэх истәнилэн һөндөн шакилли мэсмэли катализатор дэнэлэриндэ умуми налда кимјэви реакцијаларын кедиши үчүн хөтөн инвариант нисбэктлари тө'жин едилр.

Кимјави инвариантларын мүйзенедилмэ үсүү верилир. Тэклиф едилөн үсүл ики мисалла шэрх едилр.

N. M. Guseynov, D. A. Abaskuliyev

CHEMICAL INVARIANTS FOR REACTION AND DIFFUSION
SYSTEMS IN A POROUS CATALYST PELLET

Linear invariant relationships are derived for the general case of the course of chemical reactions in a porous catalyst pellet of an arbitrary geometry. Chemical invariants determination method is given. The approach suggested is illustrated by two examples.

АЗЭРБАЙЖАН ССР ЕЛМЛЭР АКАДЕМИЈАСЫНЫН МӘРҮЗӘЛӘРИ

ДОКЛАДЫ АКАДЕМИИ НАУК АЗЕРБАЙДЖАНСКОЙ ССР

ТӨМ ХЛIII ЧИЛД

№ 12

1987

УДК 533.6

ХИМИЧЕСКАЯ ТЕХНОЛОГИЯ

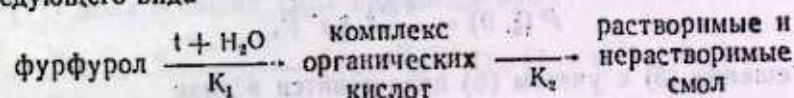
Г. И. КЕЛБАЛИЕВ, Л. В. НОСЕНКО

ОБРАЗОВАНИЕ И ОТЛОЖЕНИЕ КОКСА В ТРУБЧАТЫХ
ПЕЧАХ СЕЛЕКТИВНОЙ ОЧИСТКИ МАСЕЛ

(Представлено академиком АН Азербайджанской ССР Т. Н. Шахтахтинским)

Механизм образования и осаждения кокса в трубчатых печах селективной очистки масел фурфуролом можно разбить на следующие этапы: а) образование смол в результате термической нестабильности фурфурола; б) укрупнение и рост частиц смол в результате коагуляции в турбулентном потоке; в) гравитационное осаждение укрупненных частиц смол на поверхности трубы; г) гетерокоагуляция жидких частиц смол и закрепленных твердых частиц ранее образовавшегося кокса на теплообменной поверхности; д) превращение смол в кокс при температуре поверхности стеки (слоя) и бесконечного времени пребывания и образования плотного слоя.

В работе [1] проводились исследования по выявлению причин, способствующих разложению фурфурола в промышленном процессе очистки масел. Анализ проб показал, что при нагревании происходило интенсивное накопление кислот, при дальнейшем нагреве наблюдалось осмоление. Фурфурол при этом терял подвижность, которая указывала на начало смолообразования. Существуют различные гипотезы протекания смолообразования [2]. В данной работе авторы придерживаются механизма, начальный этап которого связан с раскрытием фуранового цикла, образующим кислоты [3], которые, вступая в реакции полимеризации и конденсации, предшествуют получению смол. На основе экспериментальных данных и теоретических исследований [3, 4, 5, 6] механизм термического разложения фурфурола описан кинетической схемой следующего вида



С помощью метода формальной кинетики получена модель разложения фурфурола до смол:

$$\begin{aligned} \frac{dC_\Phi}{dt} &= -K_1 C_\Phi C_a \\ \frac{dC_K}{dt} &= K_1 C_\Phi C_a - K_2 C_K \\ \frac{dC_s}{dt} &= K_2 C_K \end{aligned} \quad (1)$$

где K_1, K_2 — константы скоростей реакций, C_Φ, C_K, C_s, C_a — концентрации фурфурола, кислот, смол и воды.

Для различных температур (200, 215, 230°) были оценены неизвестные константы реакций:

$$\begin{aligned} K_1 &= 9,53 \cdot 10^4 \exp(-5,46 \cdot 10^4 / RT) \\ K_2 &= 6,6 \cdot 10^{24} \exp(-24,7 \cdot 10^4 / RT), \end{aligned} \quad (2)$$

где $R = 8,31$ дж/моль град—универсальная газовая постоянная.

Образовавшиеся частицы смол укрупняются за счет перемещения и взаимного столкновения в результате свободной турбулентной диффузии. Частота столкновений в единицу объема турбулентного потока [7] равна

$$N_{ij} = 1,294 (a_i + a_j)^3 (\varepsilon_m / v)^{1/2} n_i n_j \quad (3)$$

a_i, n_i —размеры и концентрация i -х частиц.

При допущении постоянства размеров частиц смол, их малого времени пребывания, зависимостей [8]

$$d = d_0 \beta, \quad Re = Re_0 \beta, \quad (4a)$$

выражая средний размер частиц через средний объем $a_i^3 \approx 1,91 v$, получим

$$\omega(v, \beta) = 0,392 \frac{v}{a^2} v_s Re^{1.75} \beta^{-3.75}, \quad (4)$$

где a_i —средний размер частиц.

Эволюцию функции распределения частиц по объемам можно определить решением кинетического уравнения коагуляции

$$\begin{aligned} \frac{\partial P(v, t)}{\partial t} &= \frac{1}{2} \int_0^\infty \omega(v, \beta) P(v - v', t) P(v') dv' - \\ &- P(v, t) \int_0^\infty \omega(v, \beta) P(v', t) dv' \end{aligned} \quad (5)$$

Принимаем гамма-распределение за начальное распределение, аппроксимирующее распределение частиц смол в потоке, найдем частное решение для постоянного ядра коагуляции при $m = 1$, $a_i = \frac{2}{v_0}$, $\xi = \frac{v}{v_0}$.

$$P(\xi, 0) = \frac{4 N_0}{v_0} \xi e^{-2\xi}. \quad (6)$$

Решение (5) с учетом (6) представляется в виде

$$P(\xi, t_R) = \frac{N_0}{v_0} \frac{2(1 - \tau_R)^2}{\tau_R^{1/2}} e^{-2\xi} \operatorname{sh}(2\xi \tau_R^{1/2}), \quad (7)$$

где $\tau_R = \frac{m_R \tau}{1 + m_R \tau}$, $m_R = \frac{1}{2} N_0 \omega(v, \beta)$, $N_0 = \frac{6 \varphi}{\pi a_0^3}$ —начальное число частиц смол, v_0 —объем частиц при $t = 0$, τ —время пребывания.

Наряду с коагуляцией частиц смол в турбулентном потоке возможно их дробление, обусловленное действием на каплю разности динамических напоров, вследствие наличия мелкомасштабных турбулентных пульсаций скорости, размеры которых λ не превышают диаметра капель и поверхностного натяжения, вследствие возникновения капиллярного

давления. Размер наибольших капель, устойчивых в потоке, определяется как

$$a_{kp} \approx 3,5 \left(\frac{\tau}{\rho} \right)^{0.6} (\xi_c)^{-0.4}, \quad (8)$$

а в прилегающей области турбулентного потока в трубе [9]

$$a_{kp} = 76 \left(\frac{\tau}{\rho} \right)^{1.5} \left(\frac{d}{Re} \right)^{2.5} \frac{1}{v^3} \quad (9)$$

Используя (4a) из (9), получим $\frac{a_{kp}}{a_{kp_0}} = \beta^3$, где a_{kp_0} —критический размер капель для трубы без отложения ($\beta = 1$). Критический размер частиц смол в трубчатой печи селективной очистки масел в прилегающей области составляет порядка ~ 120 мкм, а в потоке ~ 200 мкм ($\tau = 3 \cdot 10^{-2}$ н/м, $d = 0,144$ м, $\rho = 850$ кг/м³, $v = 0,8 \cdot 10^{-6}$ м²/с, $Re = 116338$). Поскольку размеры частиц смол не успевают достичь критического размера $a < a_{kp}$, то явлением дробления можно пренебречь. Необходимо отметить, что критический размер капель в прилегающей области турбулентного потока с увеличением толщины отложений уменьшается быстрее, чем в основном потоке.

Укрупнение вследствие коагуляции приводит к осаждению частиц смол в турбулентном потоке, причем основная масса осаждается в результате действия гравитационных сил, а незначительная—за счет турбулентной и подъемной миграции. За определенное время пребывания успевают осаждаться частицы, обладающие объемом $v > v_{kp}$. Зная в первом приближении критическую скорость осаждения V_{kp} , определим критический объем частиц

$$\tau_{kp} = \frac{\pi}{6} \left[\frac{18 \eta V_{kp}}{\Delta \rho g (1 - e^{-\tau_{kp}^{1/2}/\tau})} \cdot \frac{2 \eta + 3 \eta'}{\eta + \eta'} \right]^{3/2} \quad (10)$$

Объем осевших смол определим как

$$v_{oc} = \int_{v_{min}}^{\infty} v P(v, t) dv = N_0 v_0 \frac{2(1 - \tau_R)^2}{\tau_R^{1/2}} \int_{\xi_{min}}^{\infty} \xi e^{-2\xi} \operatorname{sh}(2\xi \tau_R^{1/2}) d\xi \quad (11)$$

Положив общий объем образовавшихся смол в виде $v^{ob} = N_0 t_0$ с учетом (11) доля осевших смол выразится как

$$\begin{aligned} \varphi' &= \frac{v_{oc}}{v^{ob}} = \frac{e^{-2\xi_{min}(1-\tau)^{1/2}}}{2 \tau_R^{1/2}} [(1 + \tau_R^{1/2})^2 (\xi_{min} (1 - \tau_R^{1/2}) + 0,5) - \\ &- e^{-4\xi_{min}(1-\tau_R^{1/2})} \xi_{min} (1 + \tau^{1/2}) + 0,5)] \\ \xi_{min} &= \xi_{min} = v_{kp}/\tau_0. \end{aligned} \quad (12)$$

Общая масса отложившегося слоя частиц определяется в виде

$$m_s = \frac{\pi}{6} \rho v \int_0^{\infty} r^3 P(r, t) dr \quad (13)$$

В частном случае выражение для распределения частиц будет

$$P(r, t) = r^6 \left[C_0 + C_1 \left(1 - \frac{Ar^2}{2B} \right)^{\frac{6-1}{2}} \right] e^{-\left(\frac{r}{2B} + 2 \right)^2} \quad (14)$$

Принимаем для простоты равномерное распределение толщины слоя по сечению трубы, тогда

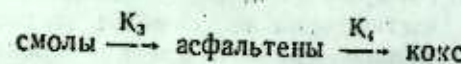
$$m_s = \pi R_0^2 \rho_B (1 - \beta^2) L,$$

откуда

$$\beta = \sqrt{1 - \frac{m_s}{\pi R_0^2 \rho_B L}} \quad (15)$$

Таким образом, учитывая (12) для каждого момента времени из (15) можно определить толщину отложившегося слоя, зная долю образовавшегося кокса.

Накапливаясь и укрупняясь, частицы смол под действием силы тяжести осаждаются на раскаленные участки труб. В результате реакций термического уплотнения смолы превращаются в асфальтены—основные коксообразующие вещества [9]. Консеквативный радикальный характер коксообразования представится схемой



В настоящее время отсутствуют какие-либо данные, позволяющие установить адекватность механизма. Восстановление механизма и модели с константами K_3, K_4 может осуществляться лишь по промышленным данным в результате сравнения выходных параметров печи и расчетных значений.

Модель образования кокса:

$$\begin{aligned} \frac{\partial C_s}{\partial t} + \frac{\partial C_s}{\partial \tau} &= -K_3 C_s \\ \frac{\partial C_A}{\partial t} + \frac{\partial C_A}{\partial \tau} &= K_3 C_s - K_4 C_A \\ C_{sU} &= \varphi' - C_A - C_s, \end{aligned} \quad (16)$$

где C_A, C_s —концентрация асфальтенов, кокса.

Оценка энергий активаций и предэкспоненциальных множителей привела к следующим значениям: $\ln K_3 = 29,00, E_3 = 151,2$ кдж/моль. $\ln K_4 = 35,0, E_4 = 168,0$ кдж/моль.

Таким образом, при расчете трубчатых печей, возможно, будут учитывать толщину отложившегося слоя, степень закоксованности, от которой зависят гидродинамические (Re, v , и т. д.) и тепловые (Nu, K, a и т. д.) параметры.

Литература

- Ширнеева Г. П., Мартыненко А. Г. и др. Рукопись деп. в ЦНИИТЭнефтехим, № 91, их-81Д. 1981.
- Щербаков А. А. Фурфурол. — Киев: Гостехиздат, 1962. — 239 с.
- Бадовская Л. А., Кульевич В. Г. — Жур. анал. хим., 1967, т. 22, № 2, с. 271—273.
- Холькин Ю. И. Хроматография в химии древесины. — М.: Лесная промышленность, 1976. — 288 с.
- Кульевич В. Г. и др. — Жур. анал. химии, 1968, т. 23, № 9, с. 1396—1402.
- Салимова Н. А., Гасанов О. Ф. Тем. сб. Исследование и очистка нефтепродуктов с использованием их в проц. нефтех. и нефтех. 1983, с. 16—18.
- Ko Higashitani, Jataischiutatsu K.—Ch. Eng. of Japan, 1983, vol. 16, No. 4, p. 299—304.
- Келбагиев Г. И. TOXT, 1983, т. XVII, № 3, с. 330—336.
- Логинов В. И. Обезоживание и обессоливание нефти. — М.: Химия, 1979. — 216 с.
- Буянов Р. А. Закоксовывание катализаторов. — Новосибирск: Наука, 1983. — 207 с.

Институт теоретических проблем химической технологии АН АзССР

Г. И. Келбагиев, Л. В. Носенко.

ЈАГЛАРЫН СЕЛЕКТИВ ТӘМИЗЛӘНМЕСИ ҮЧҮН ИСТИФАДӘ ОЛУНАН БОРУЛУ СОБАЛАРДА КОКСУН ЭМӘЛЭ КӘЛМЕСИ ВӘ ЧӘКСИСИ

Мәгалаада борулу собаларда фурфуролун кермик дајанысызлығы заманы коксун истиликтүбәндөсі сөтнелеринде чөкмәсі, просесинин ријази жазылышы мәсөләләри тәдиги олунур.

Фурфуролун гәтрана парчаланыб чөврилмәсі ва коксун сопракы яраимасының модели алыныштыр. Парчалымна реаксијасының сүр'от эмсаллары гијметланылышы дир. Турбулент ахынын вайид һөчминдо тоггушма тезлийиниң бесабат асылыдыры, экебеүк гәтран дамчыларының өлчүләре, һиссочикләрниң һочмұз узәр парчаланмасы верилешидир.

G. I. Kelbaliev, L. V. Nosenko

FORMATIO AND PRECIPITATION OF COKE IN TUBULAR FURNACES OF SELECTIVE PURIFICATION OF OILS

The problems of mathematical description of the process of coke precipitation on the heat exchanging surface in tubular furnaces at thermic instability of furfural are studied.

The model of decomposition of furfural up to resins with subsequent formation of coke is given.

The reaction rates constants are estimated. Rated dependences of resins particles collision frequency per unit volume of a turbulent flow, sizes of the biggest resin drops, distribution of particles according to their volumes are shown.

Г. П. ТАМРАЗЯН

ОБЩЕПЛАНЕТАРНОЕ ПОЛУКОЛЬЦО КОНЦЕНТРАЦИИ КРУПНЕЙШИХ УГОЛЬНЫХ БАССЕЙНОВ МИРА

(Представлено академиком АН Азербайджанской ССР Э. Ш. Шихалибейли)

В современном размещении достоверных запасов (залежей) угля северного полушария Земли, на которое приходится 87% всех мировых запасов вырисовывается полуцельцо (кольцо) концентрации отдельных бассейнов и месторождений (рисунок). В этом полуцельце сосредоточено свыше 91% всего угля, имеющегося на полуширье (1033 млрд. т).



Размещение крупнейших разведанных угольных бассейнов мира (современное северное полушарие; 87% мировых запасов). Крупнейшие угольные бассейны с разведенными запасами угля (млрд. т): 1—50—100 и более; 2—20—50; 3—10—20; 4—5—10; 5—1—5. Угольные бассейны: 6—палеозойские; 7—мезокайнозойские; 8—современная суша. Кроме экватора показаны также 36, 55 и 80-я параллели. В кольце между 36—57 параллелями сосредоточены почти все крупнейшие и большинство средних угольных месторождений мира.

из 1128 млрд. т). Располагаясь между 36—57°, это кольцо отличается еще одной интересной особенностью. Если в ретроспективе континентального дрейфа передвинуть Северную Америку к Европе и Африке, то кольцо превращается в полукольцо, у которого в центральной части располагаются главнейшие палеозойские угольные бассейны мира: крупнейшие бассейны северо-востока США (Аппалачский, Пенсильванский, Иллинойский, Западный), незначительные месторождения Восточной Канады (Приморская равнина), крупнейшие бассейны Европы (Йоркшир—Ноттингемшир, Южно-Уэльский, Нортумберленд и Дурэм, Рурский, Саарско-Лотарингский, Франко-Бельгийский, Верхне-Силезский, Остравско-Карвинский, Подмосковный, Донецкий, Львовско-Волынский и др.) и Азии (Карагандинский, Экибастузский, Горловский, Кузнецкий, Большой Хуанхабасс и др.). По краям полукольца располагаются грандиозные мезокайнозойские угольные бассейны: на западе бассейны Северной Америки (Форт-Юнион, Паудер-Ривер, Северный Центральный Юнита, Сан-Хуан-Ривер и др. в США, в провинциях Альберта и Британская Колумбия в Канаде) и на востоке бассейны Сибири (Канско-Ачинский, Иркутский), Забайкалья и Дальнего Востока (Приморье, Сахалин), северо-западного и северо-восточного Китая.

Это генеральное распределение основных угольных бассейнов mestами осложняется противоположными тенденциями (например, наличием мезозойских бассейнов и месторождений во внутренней части полукольца и вне его). Но эти отклонения во времени как бы попутные (обратные) в общем размещении угольных бассейнов фанерозоя, в принципе не изменяют генеральную общепланетарную тенденцию.

Рассмотренное кольцо концентрации важнейших угольных бассейнов северного полушария основано на анализе достоверных (разведанных) залежей углей. Если же рассматривать геологические запасы, достоверность которых в целом значительно ниже, чем категорийных, то упомянутое кольцо размещения угольных бассейнов в принципе сохраняется, лишь немногого (на 8—10°) расширяясь в северном направлении. На широты 36—66° приходится 85% (16,5 трил.) всех геологических запасов угля северного полушария.

Образование мощных пластов угля способствовало лишь ограниченный набор палеотектонических условий. Складкообразующие движения, как и волниевые, приводящие к выклиниванию пластов на значительных территориях. Они могут способствовать возникновению не грандиозных угольных бассейнов, а только в лучшем случае отдельных изолированных месторождений и незначительных бассейнов. Наилучшими палеотектоническими условиями образования угольных бассейнов с выдержаными угольными пластами на больших расстояниях являются умеренно нисходящие движения больших блоков земной коры вдоль разломов, сопровождающиеся накоплением на дневной поверхности органического (древесного) вещества в болотной или близкой обстановке. Такой набор условий в фанерозое существовал в определенные эпохи и в отдельных поясах.

Этот набор палеотектонических условий обусловил многие закономерности в размещении полезных ископаемых, в частности угля. Самые палеотектонические условия являлись следствием общепланетарных особенностей развития Земли.

Институт геологии им. акад. И. М. Губкина
АН АзССР

Поступило 20. VI 1986

**ДҮНІЛАНЫН ИРИ ДАШ КӨМҮР ҢӨВЗӘЛӘРИНИН
ЈЕРЛӘШДИРІЛМәСИНИН ҮМУМПЛАНЕТАР ЈАРЫМЬЭЛГЭСИ**

Мегаладә еңтијатлары сүбүт едилмиш даш көмүр ңөвзәләринин јерләшмәсінин үмумпланетар Јарымьэлгэсі (35° — 57° ен дәрәләріндә) ашқар едилмишdir. Бу Јарымьэлгәнниң мәрказындағы ән гәдим (Палеозој яшмы) даш көмүр ңөвзәләри јерлашшишdir. Јарымьэлгәнниң көнәр һиссәләрниң дөргө Мезокайнозој ңөвзәләринин мигдары артыр во чохлуг тәшкил едир.

G. P. Tamrazyan

**THE ALL-PLANETARY SEMICIRCLE OF THE LARGEST
COAL BASINS CONCENTRATION IN THE WORLD**

The all-planetary semicircle (at latitudes 35° — 57°) of coal basins concentration with the proved coal reserves is revealed. In the central part of this semicircle the most ancient (Paleozoic) coal basins are concentrated. Towards the peripheral parts of semicircle the number of Meso-cenozoic basins increases and they become predominant.

Чл.-корр. АН АзССР А. Г. КАСЫМОВ, А. Р. ХАЛИЛОВ, И. А. АХМЕДОВ

**ГИДРОБИОЛОГИЧЕСКАЯ ХАРАКТЕРИСТИКА
СРЕДНЕЙ КУРЫ**

Изучение гидробиологического режима Средней Куры (от Пойлинского моста до Мингечаурского водохранилища) и устьев рек, впадающих в нее, имеет важное значение при прогнозировании биологической продуктивности Кирзанского и Еникендского водохранилищ, которые будут построены на Средней Куре.

Работа проводилась весной, летом и осенью 1982 г. Собрано и обработано 98 проб зоопланктона и 112 проб зообентоса.

Сведения о фауне Средней Куры и рек, впадающих в нее, приведены в работах В. И. Жадина [1], А. А. Садовского [6], А. Г. Касымова [2, 3, 4] и Н. Ф. Лихоедовой [5].

Глубина Средней Куры составляет 0,5—3,0 м, прозрачность до нуля по диску Секки, температура воды $17,4$ (осенью)— $25,0^{\circ}$ (летом), pH $7,46$ — $7,69$, кислород— 80 — 142% , сухой остаток солей— 336 — 358 мг/л.

В Средней Куре и в устьях, впадающих в нее рек, обнаружены 27 видов высших водных растений: рдест курчавый, рдест плавающий, уруть колосистая, водяной лотник, пузырчатка малая, сальвания плавающая, камыш озерный, рогоз широколистный, сусак зонтичный, осока, тростник, водокрас лягушачий и др. Среди них часто встречаются рдесты, осока, тростник и рогоз, которые вегитируют в прибрежной зоне рек.

В Средней Куре найдены 16 видов зоопланктона: *Phyllodina roseola* Ehr., *Trichotria tetrica* (Ehr.) *Platyas palulus* (Müller), *Brachionus calyciflorus* Pallas, *B. bennini* Leis., *Euchlanis dilatata* Ehr., *Polyarthra vulgaris* Carlin, *Daphnia magna* Straus, *D. longispina* hayllina (Leydig), *Simocephalus vetulus* (Müller), *Alona rectangularis* Sars, *Chydorus sphaericus* (Müller), *Macrocylops fuscus* (Lurine), *Mesocyclops dubowskyl* Lande, *Arctodiaptomus acutilobatus* Sars, *Attheyella grassa* (Sars).

Из них на всех участках Средней Куры встречались только 4 вида: *P. vulgaris*, *M. dubowskyl*, *M. fuscus* и *A. acutilobatus*. Более разнообразным видовой состав зоопланктона был в устьях рек, впадающих в Курь.

Количественное развитие зоопланктона довольно низкое и колеблется от 140 до 1070 экз/м³, а биомасса— $0,10$ — $0,38$ г/м³. Такая бедность зоопланктона в Средней Куре и устьях ее притоков обусловлена большой скоростью течения и обилием взвеси. В Средней Куре наиболее высокие показатели численности зоопланктона, как правило, были вблизи источников его поступления, т. е. устьевых участках ее прито-

Таблица 1

Группы	Сезонные изменения отдельных групп зоопланктона в Средней Куле ($\frac{\text{экз}}{\text{м}^3}$)											
	Весна			Лето			Осень			Зима		
	Кура, выше р. Акстафачай	Кура, ниже р. Акстафачай	Кура, выше р. Таузчай	Кура, ниже р. Таузчай	Кура, выше р. Гасансу	Кура, ниже р. Гасансу	Кура, выше р. Шамхорчай	Кура, ниже р. Шамхорчай	Кура, выше р. Кошкарчай	Кура, ниже р. Кошкарчай	Кура, выше р. Касангу	Кура, ниже р. Касангу
Rotatoria	120 0,001	310 0,002	240 0,001	80 0,001	40 0,005	60 0,001	—	—	—	—	100 0,003	—
Cladocera	60 0,06	200 0,08	—	—	100 0,07	—	240 0,11	120 0,01	—	—	—	—
Copepoda	160 0,22	200 0,19	60 0,05	100 0,12	80 0,06	200 0,15	—	190 0,25	320 0,14	90 0,06	230 0,13	190 0,16
Rotatoria	—	100 0,006	—	—	—	60 0,001	—	—	—	300 0,06	200 0,003	—
Cladocera	—	340 0,06	—	—	80 0,02	—	80 0,02	—	180 0,05	170 0,05	—	140 0,04
Copepoda	340 0,16	1270 0,18	200 0,09	120 0,06	120 0,07	100 0,04	100 0,03	140 0,08	390 0,07	640 0,33	760 0,61	660 0,52
Rotatoria	60 0,001	150 0,005	150 0,03	30 0,001	—	320 0,07	—	100 0,03	130 0,01	—	—	300 0,46
Cladocera	—	200 0,10	130 0,06	—	200 0,07	—	—	—	70 0,08	290 0,03	915 0,09	96 0,03
Copepoda	180 0,05	440 0,52	350 0,41	90 0,09	290 0,12	250 0,09	310 0,09	70 0,08	363 0,11	207 0,11	233 0,11	224 0,40
Среднее	307 0,16	1070 0,28	377 0,20	140 0,09	270 0,10	140 0,14	—	—	—	—	—	—

ков. Максимальная величина численности была в устьях р. Акстафачай, на всех остальных участках она не превышала 657 экз/ м^3 .

Самой низкой средняя численность зоопланктона была весной, самой высокой — летом (табл. 1). Доминирующими были веслоногие ракчи, количество кладоцер и коловраток близкое. По численности и

Таблица 2

Сезонные изменения зообентоса в Средней Куле ($\frac{\text{экз}}{\text{м}^3}$)

Место взятия проб	Весна	Лето	Осень	Среднее
Кура, выше Пойлинского моста	109 0,09	80 0,04	150 0,18	113 0,10
Устье р. Акстафачай	115 0,11	100 0,10	140 0,16	118 0,12
Кура, ниже р. Акстафачай	130 0,12	100 0,10	160 0,17	130 0,13
Устье р. Гасансу	140 0,13	140 0,12	180 0,19	153 0,147
Кура, ниже р. Гасансу	150 0,15	120 0,12	160 0,16	143 0,143
Кура, выше р. Таузчай	190 0,17	120 0,14	174 0,20	181 0,17
Устье р. Таузчай	250 0,27	280 0,42	270 0,36	267 0,35
Кура, ниже р. Таузчай	180 0,17	280 0,40	320 0,77	260 0,447
Устье р. Заямчай	270 0,23	480 0,68	370 0,54	373 0,48
Кура, ниже р. Заямчай	230 9,22	260 0,36	310 0,37	267 0,32
Устье р. Шамхорчай	140 0,12	140 0,16	195 0,27	158 0,18
Кура, ниже р. Шамхорчай	150 0,18	140 0,16	235 0,32	175 0,20
Устье р. Кошкарчай	230 0,18	260 0,30	390 0,63	293 0,37
Кура, ниже р. Кошкарчай	210 0,17	360 0,48	645 1,27	405 0,62

биомассе среди коловраток доминировали *B. bennini* (80 экз/ м^3) и *P. vulgaris* (310 экз/ м^3), среди кладоцер — *Ch. sphaericus* (140 экз/ м^3), среди копепод — *M. dybowskyi* (220 экз/ м^3).

В целом зоопланктон Средней Куры беден по видовому составу и количественному развитию.

В зообентосе Средней Куры и в устьях рек, впадающих в нее, встречены 58 видов и форм, среди которых по числу видов преобладают личинки хирономид (10 форм), за ними следуют моллюски и

впадения р. Кошкарчай (32 вида), а на остальных местах не более 23 вида.

Количественное развитие донных животных по разным водоемам

Таблица 3

Сезонные изменения руководящих групп						
Группы	Кура, выше Пойлинского моста	Устье р. Акста-чай	Кура, ниже р. Акста-чай	Устье р. Гасанчу	Кура, ниже р. Гасанчу	Кура, выше р. Таузчай
Oligochaeta	22 0,02	16 0,01	60 0,04	—	—	20 0,09
Mollusca	—	—	—	—	—	20 0,09
Ephemeroptera	—	40 0,05	18 0,05	16 0,02	90 0,11	—
Chironomidae	56 0,05	40 0,05	50 0,04	100 0,10	60 0,06	90 0,08

зообентоса в Средней Куле ($\frac{\text{экз}}{\text{м}^2}$)						
Устье р. Таузчай	Кура, ниже р. Таузчай	Устье р. Заямчай	Кура, ниже р. Заямчай	Устье р. Шамхорчай	Кура, ниже р. Шамхорчай	Устье р. Кошкарчай
Весна						
80 0,06	—	170 0,13	100 0,09	40 0,03	30 0,03	40 0,04
—	15 0,08	—	—	—	40 0,16	—
90 0,11	70 0,09	80 0,09	130 0,12	—	—	140 0,13
60 0,70	—	—	—	80 0,08	—	130 0,14
Лето						
—	—	—	—	60 0,06	20 0,02	140 0,14
16 0,22	18 0,26	9 0,11	—	—	—	30 0,31
160 0,14	130 0,13	90 0,11	160 0,13	—	140 0,12	—
90 0,08	—	360 0,39	90 0,18	90 0,09	—	100 0,10
Осень						
—	—	140 0,16	—	100 0,09	—	120 0,12
140 0,21	160 0,30	200 0,41	—	—	—	480 0,90
100 0,11	120 0,16	30 0,05	210 0,32	90 0,11	105 0,16	115 0,19
—	40 0,02	—	80 0,09	—	120 0,13	—

жуки — по 5 видов. Наиболее часто встречались *Tubifex tubifex* (Müller), *Ordella macrura* Steph., *Chironomus plumosus* (L.), *Psectrocladius psilopterus* Kieffer, *Talpurus punctipennis* Meigen. Наибольшее число видов обнаружено в устье р. Таузчай (26 видов), в Куле, ниже

было неодинаково (табл. 2). Высокая биомасса зообентоса отмечена в устье р. Таузчай, в Куле, ниже р. Таузчай, устье р. Заямчай, в Куле, ниже р. Заямчай, в устье р. Кошкарчай и в Куле, ниже р. Кошкарчай. Слабое развитие бентоса наблюдалось в Куле, выше Пойлинского

моста, устьях Акстафачай, Гасансу и Куре, ниже Акстафачай и Гасансу. Среди отдельных групп бентоса большое развитие имеют личинки поденок, стрекоз и хирономид (табл. 3). Максимальная численность и биомасса их отмечены в устьях Гасансу, Таузчай, Заямчай, Кошкарчай и Куре, ниже рек Заямчай и Шамхорчай.

Выводы

1. Средняя Кура и реки, впадающие в нее, бедны по видовому и количественному составу зоопланктона и зообентоса, что объясняется сильным течением воды, ее мутностью и подвижностью донных грунтов.

2. Формирование гидробиологического режима Кирзанского и Еникендского водохранилищ пойдет по типу Шамхорского водохранилища. Развитие высших водных растений будет слабым. В заливчиках и прибрежном мелководье появятся тростник, рогоз и рдесты. Формирование видового состава зоопланктона завершится к 4—5 году и средняя биомасса его будет не более 0,8—1,0 г/м³. Основным биотопом донных животных будет илистый грунт, где средняя биомасса их составит 1,5—3,4 г/м². В Кирзанском и Еникендском водохранилищах из рыб найдут благоприятные условия для своего развития в первую очередь храмуля, лещ, вобла, сазан, усач и судак.

Литература

1. Жадин В. И. Труды Зоол. ин-та АН СССР, 1940, 3—4, с. 519—982. 2. Касымов А. Г. Гидрофауна Нижней Куры и Мингечаурского водохранилища. — Баку: Изд-во АН АзССР, 1965. — 372 с. 3. Касымов А. Г. Пресноводная фауна Кавказа. — Баку: Элм, 1972. — 286 с. 4. Касымов А. Г. Сб. Биологич. ресурсы внутр. водоемов Азербайджана — Баку: Элм, 1975, с. 42—71. 5. Лиходеева Н. Ф. Сб. Биологич. ресурсы внутр. водоемов Азербайджана. — Баку: Элм, 1975, с. 25—34. 6. Садовский А. А. — Труды Ин-та зоол. АН ГССР, 1946, 6, с. 119—162.

Каспийская биологическая станция
Института зоологии АН АзССР

Поступило 27. IV 1987

Э. И. Гасымов, Э. Р. Халилов, И. Э. Э晦едов

ОРТА КУРУН ҺИДРОБИОЛОЖИ ҲҮСУСИЙЭТЛЭРИ

Мөгаләдә Күр ҹайынын орта һиссәснәде вә она тәкулән ҹайларын агыз һиссәләринә 16 нөв зоопланктон организм гејд едишлишидир ки, онларын блокутләсси 0,10—0,38 г/м³, сајы исе 140—1070 әдәд/м³ арасында дәјишишидир.

Орта Күрдә 58 нөв диг организм тапылышында, иевларын сајына көрә хирономид сурфәләрі (10 нөв) устунлук тәшкил едир. Бентосда организмләрни сајына вә блокутләсси көрә күндәчо, ијнәчә вә хирономид сурфәләрни устунлук тәшкил едирләр. Онларын максимал иккиси шағы һасансу, Товузчай, Зәјәмчай, Гошгарчай ҹайларынын агыз һиссәләринә вә Орта Күрүн Зәјәмчай илә Шамхорчай ҹайларынын тәкулән һиссәләрнән ашагыда гејд едишлишидир.

А. Г. Kasymov, A. R. Khalilov, I. A. Ahmedov

THE HYDROBIOLOGICAL CHARACTERISTICS OF THE MIDDLE KURA

In 1982 in the Middle Kura in the section from Poliminsk bridge to the Mingechaur reservoir, in the mouth sections and in the rivers flowing into it 27 species of higher water plants, 16 species of zooplankton and 58 species of zoobenthos were found. The average biomass of the zooplankton ranged from 0.10 to 0.38 g/m³. Its maximum development was observed in the mouth of the Akstafa-chay river (1070 specimens/m³), in all the remaining sections it does not exceed 657 specimens/m³. The average biomass of benthos amounts to 0.10—0.62 g/m².

НАХОДКИ ВЕРХНЕМЕЛОВЫХ АММОНИТОВ В АЗЕРБАЙДЖАНЕ

(Представлено академиком АН Азербайджанской ССР К. А. Али-заде)

В 1982—1985 гг. автором данной статьи была изучена большая коллекция верхнемеловых аммонитов, найденных в течение многих лет азербайджанскими геологами и самим автором из различных районов Азербайджана и не получивших освещения в литературе [1, 2, 3, 4, 5, 6].

Результаты обработки материала показали, что он содержит много новых и интересных данных. В частности, расширилось представление о родовом и видовом составе аммонитов. Установлена принадлежность их к 55 родам и 20 семействам. Некоторые из родов ранее не были известны не только из Азербайджана, но впервые приводятся и в СССР. Значительно дополнены данные о стратиграфической приуроченности аммонитов, выявлены их характерные комплексы. Доказывается, что они наиболее полно представлены в нижнем, среднем и верхнем сеномане, верхнем коньяке, верхнем кампане, нижнем и верхнем масстрихте, единичны в нижнем туроне, верхнем сантоне и нижнем кампане, пока неизвестны в верхнем туроне, нижнем коньяке и нижнем сантоне.

В нижнем сеномане М. Кавказа найдены представители 9 родов: *Idiohamites*, *Ostlingoceras*, *Hypoturritites*, *Turritites Ruzosia*, *Nyphoplites*, *Schloenbachia*, *Mantelliceras*, *Scharpeiceras*. Изученные формы имеют хорошую сохранность и легко определяются до вида. Среди турритид имеются новые подвиды.

В среднем и верхнем сеномане выявлен комплекс 9 родов: *Mesogaudryceras*, *Anagaudryceras*, *Tetragonites*, *Scaphites Forbesiceras*, *Calycoceras*, *Acanthoceras*, *Euomphaloceras*, *Protacanthoceras*. Некоторые формы имеют прекрасно сохранившуюся скульптуру и лопастную линию. Выделены новые подвиды.

Присутствие аммонитов в нижнем туроне М. Кавказа ранее не было известно. Большой интерес представляет первая находка представителя семейства *Vascoceratidae* (род *Fagesia*), приуроченного в Тетисе исключительно к нижнему турону.

Выявленный комплекс аммонитов верхнего коньяка М. Кавказа обнаруживает значительную схожесть с таковым из Нах. АССР по находкам представителей родов *Gaudryceras*, *Baculites*, *Scaphites*, *Nowakiites*. На М. Кавказе верхнеконьякский комплекс характеризуется также представителями семейств *Diplomoceratidae*, *Pachydiscidae*, *Collignoniceratidae*. Здесь впервые стали известны формы *Paralexanites* (*Paratexanites*), *Forresteria* (*Harlemites*), *Polyptychoceras*. В Верхнем коньяке Нах. АССР впервые найдены представители семейства *Phylcticrioceratidae* (роды *Phylcticrioceras* и *Boehmoceras*), приуроченные исключи-

чительно к коньякскому ярусу Франции, Германии, Мексики. Следует указать и находки представителей семейств Desmoceratidae, Pachydiscidae, Muniericeralidae и Collignoniceratidae (роды Mesopuzosia, Eupachydiscus, Tragodesmoceras, Muniericeras, Subprionotropis). Представители последних 2-х родов до последних лет не были известны в Азербайджане.

В отложениях верхнего сантонова Азербайджана впервые найдены очень крупные представители *Parapuzosia* и *Texanites* (М. Кавказ), *Eupachydiscus* (Нах. АССР).

Сильно дополнен аммонитовый комплекс верхнего кампана М. Кавказа, установлено присутствие 12 родов из 7 семейств. Найдены ранее неизвестные представители семейства Diplomoceratidae: *Glyptoxoceras*, *Phylloptychoceras*, *Pseudoxybeloceras*. Представители родов *Bostrychoseras* и *Eubostrychoseras*, входящие в семейство Nostoceratidae, в коллекции содержат виды, обычно приуроченные к зоне *Bostrychoseras polyplocum* верхов верхнего кампана. Найдены представители родов *Vertebrites*, и *Epigonoceras* из семейства Tetragonitidae, первый из которых в Азербайджане не был известен. Интересны находки представителей семейства Desmoceratidae, Kossmaticeratidae, Pachydiscidae, Placenticeratidae, представленных родами: *Kitchinites*, *Maorites*, *Hoplitoplacenticeras*, *Pachydiscus*, где *Kitchinites* и *Maorites* впервые стали известным из Азербайджана и характеризуют собой кампан Африки, Мадагаскара, Ю. Индии, Новой Зеландии, Антарктики.

На юго-востоке Б. Кавказа в нижнем кампане найдены *Eupachydiscus*, а в верхнем кампане—остатки *Desmophyllites*.

В маастрихте Азербайджана находки аммонитов довольно часты. На М. Кавказе устанавливается присутствие представителей 6 семейств Tetragonitidae, Baculitidae, Diplomoceratidae, Scaphitidae, Kossmaticeratidae, Pachydiscidae, относящихся к 6 родам: *Gaudryceras*, *Baculites*, *Diplomoceras*, *Discoscaphites*, *Rseudokossatriceras*, *Patagiosites*. Среди них *Patagiosites*, ранее не был известен из Азербайджана.

В Нах. АССР аммониты найдены в обеих подъярусах маастрихта. В нижнем подъярусе найдены представители родов *Diplomoceras*, *Discoscaphites*, *Acanthoscaphites*, *Hauericeras*, *Pseudokossatriceras*, *Pachydiscus*, *Sphenodiscus*, принадлежащих 6 семействам—Diplomoceratidae, Scaphitidae, Desmoceratidae, Kossmaticeratidae, Pachydiscidae, Sphenodiscidae. Здесь очень интересна первая находка в СССР представителя рода *Sphenodiscus*. В верхнем маастрихте Нах. АССР состав комплекса аммонитов значительно обновляется, найдены представители родов *Gaudryceras*, *Baculites*, *Diplomoceras*, *Discoscaphites*, *Hauericeras*, *Pachydiscus*, *Brahmalites*. Среди них род *Brahmalites* ранее не был известен в Азербайджане. Из нижнего маастрихта юго-востока Б. Кавказа найдены представители *Diplomoceras*, *Discoscaphites*, *Hauericeras*, *Pachydiscus*, относящиеся к 4 семействам: Diplomoceratidae, Scaphitidae, Desmoceratidae и Pachydiscidae.

Литература

1. Алиев М. М., Мамедзаде Р. Н.—Изв. АН АзССР, серия геол.-геогр. наук, 1958, № 6, 51—61.
2. Алиев О. Б., Алиев Р. А.—Изв. АН АзССР, серия наук о Земле, 1966, № 2, 3—10.
3. Алиев О. Б. Стратиграфия и фауна меловых отложений северо-восточной части Малого Кавказа (междуречье Кошкарчай-Тертер). В кн.: Стратиграфия меловых отложений северо-восточной части Малого Кавказа.—Баку: Изд-во АН

АзССР, 1967, 125—302.

4. Мамедзаде Р. Н.—Изв. АН АзССР, серия геол.-геогр. наук, 1960, № 4, 5. Мамедзаде Р. Н. Стратиграфия верхнемеловых отложений северо-восточной части Малого Кавказа (междуречье Кошкарчай-Дебстчай). В кн.: Стратиграфия меловых отложений северо-восточной части Малого Кавказа.—Баку: Изд-во АН АзССР, 1967, 7—124.

6. Халафова Р. А. Fauna и стратиграфия верхнемеловых отложений юго-восточной части Малого Кавказа и Нахичеванской АССР.—Баку: Азгосиздат, 1969.—414 с.

Институт геологии АН АзССР

Р. Э. Элиев

Поступило 14. V 1986

АЗЭРБАЙЧАНДА УСТ ТӘБАШИР АММОНИТЛӘРИН ТАПЫНЫЛАРЫ

Мәгәләдә тәжид едилир ки, Азәрбајҹаның Уст тәбашир чөкүнтуләриндең јығылыш аммонит комплексиасының өјрәнилмәси онларын чиңсләринин әз һевләринин сајыны хејли кенишләнәсина, ајры-ајры стратиграфик белгүләрдә яйымасына во сочијәви комплексләринин ајрылмасына имкан бермишdir. Бир сырт аммонит чиңсләри Азәрбајҹан әз ССРИ учун илк дафә верилir.

R. A. Aliev

THE FINDINGS OF UPPER CRETACEOUS AMMONITES IN AZERBAIJAN

The study of the great collection of Upper Cretaceous ammonites allowed to expose the new findings, to widen the notions on their generic composition, to supplement the data on stratigraphic confinement, to expose characteristic complexes. The number of genera has been known earlier neither in Azerbaijan, nor in the USSR.

И. С. БАБЛЕВ, У. Ш. МЕХТИЕВ, З. С. ДЖАФАРОВ

ТЕХНОЛОГИЧЕСКИЕ ОСОБЕННОСТИ ДВУХСТАДИИНОГО ОСАЖДЕНИЯ ВЗВЕШЕННЫХ ВЕЩЕСТВ ВЫСОКОМУТНЫХ ПРИРОДНЫХ ВОД

(Представлено академиком АН Азербайджанской ССР Э. Ш. Шихалибейли)

Высокомутными источниками водоснабжения считаются водотоки с содержанием взвешенных веществ более 1500 мг/л. К ним относятся реки Кура, Аракс, Амударья, Сырдарья, Алматинка, Нарын, Кубань, Тerek и другие, транспортирующие большое количество взвешенных и донных наносов.

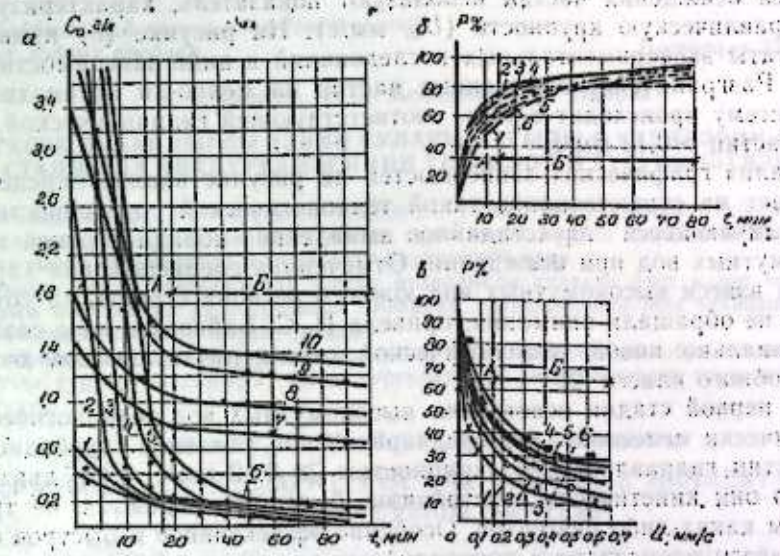
По химическому составу воды южных поверхностных водотоков адекватны. Так, воды Куры и Аракса в основном гидрокарбонатного, реже сульфатного и хлоридного классов. Причем, к последним классам относятся преимущественно воды при наибольших значениях общей минерализации. Среди катионов преобладает кальций, однако соотношения их весьма неустойчивые. Общая минерализация вод рек Куры и Аракса изменяется в широких пределах, превышая в ряде случаев 1 г/л.

Для высокомутных водотоков существует закономерность изменения средней мутности: увеличение ее по длине реки и степенная зависимость от расхода воды. Этим водотокам присущи суточное и часовое изменение содержания взвешенных веществ. Наблюдаются случаи возрастания мутности в течение 10–15 ч от 800–1200 до 10 000–30 000 мг/л и выше, что приводит к изменению физико-химических показателей воды и затрудняет определение расчетной мутности при проектировании станций очистки высокомутных вод. Исследования показали, что в нижнем течении р. Куры расчетная мутность при 95%-ной обеспеченности равна 5 000–6 000 мг/л. Примерно такие же величины справедливы и для рек Средней Азии.

При повышенной мутности ($C_0 = 7400; 5200; 4800$ мг/л) в составе взвеси рек Куры и Аракса глинистые минералы (монтмориллонит, гидрослюд, каолинит и хлорит) преобладают над неглинистыми (кварц, кальцит, полевые шпаты). При снижении содержания взвеси ($C_0 = 1300; 320$ мг/л) наблюдается обратная картина. При промежуточной мутности ($C_0 = 1600; 2000; 2300$ мг/л) соотношение глинистых и неглинистых компонентов примерно равное. Основными глинистыми минералами взвесей р. Куры являются гидрослюд и монтмориллонит. Наиболее характерными размерами частиц гидрослюды являются 0,05–0,3 мкм, монтмориллонита — до 0,7 мкм. Наличие частичек галлуазита длиной до 1 мкм повышает коагулирующую способность взвеси р. Куры [1].

Кинетика осаждения, являющаяся основной технологической характеристикой процесса выделения из воды твердых частиц, выражается

зависимостью между содержанием взвешенных веществ C_0 и временем осаждения t . Кривые выпадения взвешенных веществ, построенные по результатам экспериментальных наблюдений, указывают на существование специфических технологических особенностей высокомутных вод. На рисунке показаны закономерности осаждения полидисперсной взвеси



Кинетика осаждения взвешенных веществ природных вод высокой мутности.

a — зависимость $C_0 = f(t)$ для взвешенных веществ: 1, 2, 3, 4, 5, 6 — соответственно при $C_0 = 0,54; 2,6; 4,49; 5,84; 7,9; 12,8$ г/л (р. Амударья, Сырдарья, канал Северо-Ферганский); 7, 8, 9, 10 — соответственно при $C_0 = 1,5; 1,8; 3,4; 4,2$ г/л (р. Кура); b — зависимость выпадения взвешенных веществ $P = f(t)$ для горных рек Азербайджанской ССР: 1 — р. Талачай ($C_0 = 8,24$ г/л); 2 — р. Кишчай ($C_0 = 8,84$ г/л); 3 — р. Белоканчай ($C_0 = 11,63$ г/л); 4 — р. Ка-техчай ($C_0 = 7,65$ г/л); 5 — р. Курмухчай ($C_0 = 8,76$ г/л); 6 — р. Кура ($C_0 = 4,2$ г/л); c — зависимость $P = f(u_0)$ для взвешенных веществ р. Куры: 1, 2, 3, 4, 5, 6 — соответственно при $C_0 = 0,5; 1,1; 2,2; 6,0; 12,7; 15$ г/л.

высокомутных вод рек Куры, Аракса, Амудары и Сырдарьи. Кривые, отражающие этот процесс, можно разделить на два участка: «А» и «Б». На участке «А» в наибольшей степени выражена зависимость осаждаемости частиц от времени (t) и концентрации взвешенных веществ (C_0). Чем выше C_0 , тем интенсивнее протекает выпадение взвеси на участке «А». Резкое падение кривых наблюдается в первые 10–15 мин. По истечении 15–30 мин. начинается плавное их выравнивание, связанное с постепенной стабилизацией процесса осаждения взвеси. Через 30–40 мин. расположение кривых становится почти параллельным оси абсцисс. Последняя зона относится к участку «Б», где устанавливается равновесное состояние монодисперсной системы, когда осаждение практически не происходит даже при длительном отстаивании.

Отмеченное объясняется тем, что полидисперсная взвесь в процессе гравитационного осаждения разделяется на две явно отличающиеся по природе дисперсно-фазовые системы — грубо- и мелко-дисперсные. Частицы грубодисперсной фазы (участок «А») кинетически неустойчивые и

не способны к коагуляции. Мелкодисперсные глинистые частицы взвеси (участок «Б») способны к взаимной коагуляции (аутокоагуляция), характеризуются агрегативной неустойчивостью, но кинетически устойчивы к осаждению.

Для расчета отстойников и выявления однозначной зависимости процесса осаждения частиц используют показатель, характеризующий их гидравлическую крупность (U_o , мм/с). На рисунке (в) приведены результаты экспериментальных исследований в виде зависимости $P=f(U_o)$. Разграничение взвешенных частиц на мелко- и крупнодисперсную систему происходит в зоне, соответствующей гидравлической крупности частиц $\approx 0,12$ мм/с.

Анализ графических зависимостей на рисунке вполне определенно указывает на существование такой технологической особенности, как резкоотличающееся двухстадийное выпадение полидисперсной взвеси высокомутных вод при осаждении. Отмеченная специфическая характеристика взвеси высокомутных вод южного региона страны, на которую раньше не обращали внимания, привела И. С. Бабаева к идею создания принципиально новой технологической схемы двухстадийной очистки вод подобного класса [2].

На первой стадии осветления высокомутных вод технологически и экономически целесообразно предварительное удаление грубодисперсных частиц гидравлической крупностью $\geq 0,12$ мм/с. Это диктуется тем, что они кинетически неустойчивы, быстро осаждаются, не требуя при этом каких-либо реагентов. Особенно эффективное и быстрое выделение взвеси происходит в тонкослойных элементах. В зависимости от сезонных колебаний качества речного потока их содержание составляет 40–60% от общей концентрации полидисперсной взвеси.

Процесс естественного осаждения грубодисперсной фазы позволяет с максимальной эффективностью использовать метод тонкослойного осаждения непосредственно при заборе воды из водоисточника. Учитывая, что на южных реках широко используются плавучие водозаборы, предложен технологический процесс, в котором крупная взвесь извлекается в тонкослойных модулях, смонтированных на всасывающей линии плавучей насосной станции [3].

Вторая стадия — удаление оставшейся в воде мелкодисперсной глинистой взвеси. Она обладает высокой кинетической устойчивостью, не выпадает в условиях длительного гравитационного осаждения в безреагентном режиме и склонна к взаимной коагуляции.

При введении небольших доз реагентов обеспечивается интенсивная флокуляция и быстрое выпадение образующихся компактных хлопьев. Поэтому извлечение взвеси выгодно на стационарных береговых установках с применением тонкослойного осаждения и фильтрования через высокопористую зернистую загрузку.

Практический опыт использования нового технологического процесса очистки на Сабирабадском, Сальян-Астаринском групповых водопроводах в Азербайджанской ССР и других объектах южных регионов СССР полностью подтвердил выявленные закономерности осаждения полидисперсной взвеси природных вод высокой мутности.

* P — относительное количество выпавшей взвеси или эффект осаждения: $P = (1 - C_{\text{осв}} / C_0) \cdot 100\%$, где $C_{\text{осв}}$ — содержание взвешенных частиц в осветленной воде.

Литература

1. Бабаев И. С. — Докл. АН АзССР, № 1, с. 78—81.
2. Бабаев И. С. Методы очистки высокомутных вод для систем с/х водоснабжения — О. И., № 1 (ЦБНТИ Минводхоза СССР). — М., 1983, с. 1—60.
3. Бабаев И. С., Самедов Р. И., Халилов Ш. А. Плавучий водозабор-отстойник для предварительного осветления природных вод высокой мутности. — Водоснабжение и санитарная техника, 1983, № 10, с. 24—26.

Азербайджанский научно-исследовательский
институт водных проблем

Поступило 22. V 1987

И. С. Бабаев, У. Ш. Мектиев, З. С. Чәфәров

ЖУКСЭК БУЛАНЫГЛЫ ТӘБИИ СУЛАРЫН АСЫЛЫ МАДДӘЛӘРИН ИКИ СТАДИЈАДА ЧЕКДҮРҮЛМӘСИННИН ТЕХНОЛОЖИ ХҮСУСИЈӘТЛӘРИ

Мәгәләдә көстәрилүп ки, жуксәк буланыглы тәбии сулардакы асылы һиссәчикләрин чекдүрүлмәси иккى айдын көрүнәп, чөкмә сүр'этиндең каскын фәргләнән парчаланма (габа вә хырда парчаланма) мәрһәләсеннин характеристика едири.

Өлкөннин чөнуб районларында жуксәк буланыглы суларда раст калан чеккүнтуәрин ярым парчаланма хүсусијәтләри ойлардан тәмизләнмәнин яни технологијасыны шылајиб назырлаптасына шорант җарадыр.

Бу процес иккى мәрһәлә үзән апарылып ки, бу да 1) мәнбәдән гәбул едилиши сујун реагентсиз дурулдулмасыны; 2) саһиғи гургуларында һиссәчикләрдан тәмизләнмәнин изэрдә туттур.

I. S. Babaev, U. Sh. Mekhtiev, Z. S. Dzhapharov TECHNOLOGICAL PECULIARITIES OF THE TWO-PHASE SEDIMENTATION OF HIGH-TURBIDITY WATERS

The sedimentation of the suspended matters of the high turbidity natural waters is characterised by the presence of the two brightly pronounced phases of the dispersion condition (coarse- and fine-dispersion), sharply differing one from another by the sedimentation velocity. This specific property of the polydispersion suspension of high turbidity water of the southern regions of the country results in the creation of new water treatment technology. This technology provides two-stage scheme: reagentless clarification of water under the intake out of the water source with following treatment in the shore plants.

ЭТРАФ МҮНДИТИН ГОРУНМАСЫ

Ч. И. ИСМАЙЛОВ, Д. Е. ЛУСИФОВ, Н. Т. МУСТАФАЕВ

ДАГ-МЭДЭН ИШЛЭРИ ЗАМАНЫ ПОЗУЛМУШ
ТОРПАГЛАРЫН РЕКУЛТИВАСИЈА ОЛУНМАСЫ

(Азэрбайчан ССР ЕА академики Ш. Ф. Мехдиев тэсдим етмишдир)

Жатагын көшфијаты вэ истиесмы заманы позулмуш торпагларын бэрласы вэ рекултивасија олумасы ССРИ Назирлэр Советинин гэбул етдији гэрарда рэсмилөшдүрлимишдир.

Инсанын истиесал фоалийјети иэтичесинде үст торлаг гатынын тэсэрүфат үчүн сөмэрэсиз вэзијјэтэ дүшмэси торлагын позулмасы адланыр.

Сон иллэрдэ ССРИ-дэ вэ харичи өлкэлэрдэ дағ ишлэри иэтичесинде позулмуш торлаг саһэлэринин рекултивасијасы нағында чохлу сајда мэгала вэ китаблар дэрч олумушдур.

Нээлтийнда дағ-мэдэн сәнајеси гарышында дуран эсас мэсэлэ тэкчэ фајдалы газынтынын чыхарылмасы иши дејил, һэм дэ этраф мүнитин мүнхийзэс мэсөлэлэридир. Бунлары нэээрэ алараг З эсаснамэ мөвчудур: а) гануунверичилж, б) техники биологи, в) естетик.

Жералты ишлэрийн этраф мүнити дэжишмэси гат-гат јатмыш филиз күтлэлэринин јердэшишмэснэдир. Эсасэн ики чүр ишлэнмиш дағ күтлэлэринин дэжишмэси мэлумдур: мүнтэээм, фасиласизлији кэсилмэдэн вэ интенсив; фасиласизлији кэсилмэклэ, бу јердэшишмэлэрин комбинацијасы да мүмкүндүр.

Позулмуш саһэлэринин рекултивасијасына башламаздан габаг ашарадакы факторлары нээлдэн кечирмэл лазымдыр: рајонун рельефи, литолокијасы, су вэ һидрологи режимлэри, иглим шэрантити вэ с. Назыркы вэзијјэтэ көрэ, торпагларын бэрпасы нағындахи материаллара вэ тэчрублэрэ эсасэн бу тэлэблэри јеринэ јетирмэл лазымдыр:

1. Дағ ишлэрийн башламаздан өввэл јерусту вэ ачылачаг торлаг гатынын таркибинин дэгиг өјренилмэс;

2. Ишлэнилмэ заманы көтүрүлэчек гат үчүн јерин ачылмасы вэ мөвчуд үсүллардан бирн илэ лазым олмајан јерусту торлагын сахланмасы;

3. Рајонун һидрологијасынын өјренилмэс вэ ишлэнилмэс саһэсүүчүн эффектли дриаж методларындан истифадэ;

4. Чөкүнтулэрийн мигдарын тэ'жини, онларын илин фэсиллэрийнэ көрэ бөлүмэс, метеренологии тэдгигатларын апарылмасы, лејсан ярышларын ягмаларынын гарышынын алымасы;

5. Рајон иглимийн өјренилмэс вэ тэбии тозэмөлэкэлмэ мөнблэрийн гарышы нэээрэт;

6. Дағ-мэдэн санајесинин сәрәнчамына верилмэздэн габаг торлаг-

дан ичээ истифадэ олундугуну өјренилмэк вэ дағ ишлэри, гуртардыгдан соира ишлэнмиш торпаглардан мэгсэдэүүгүн истифадэни эсасланыдьрмаг;

7. Рајонун сколокијасынын өјренилмэс, рекултивасијасы иши үчүн сөмэрэли, уйгун кэлэн техникадан кениш истифадэ олумасы.

Бундан башга, фајдалы газынтыныц ишлэнилмэснэдэ эсас вэ ја көмөкчү зијанлы металларын кејфијјэтэ мигдарыны өјренилмэк, бу металларын чанлы организмэ, битки өртүүюн тэ'сирини тэдгиг етмэк бөйжүк сосиологи энэмижэйт кэсб етмиш олар.

Торпагларын бэрпа олумасы вэ канд тэсэрүфаты үчүн јаарлы нала салымасы заманы көрүлэчэк комплекс ишлэр ики мөрнэлэдэ апарылмалыдьр:

I. техники рекултивасија; II. биологи рекултивасија.

Техники рекултивасија кеоложи-кэшфијјат вэ истиесмар ишлэри апараи тэшкилатлар тэрэфиндэн һэјата кечиримлэлийдир. Бу тэшкилатларын апарылглары иши манийжти оидан ибарэт олмалыдьр ии, өзлэри тэрэфиндэн позулмуш вэ хараб олмуш торпаглар канд тэсэрүфаты үчүн јаарлы нала котирилсэн.

Биологи рекултивасија техники рекултивасијадан соира торпагын эзвэлки биологи хүсүсийжтийни, јэни торлагын мэсүлдларлыгыны бэрпа етмэк мэгсэд илэ көрүлэн тэдбиirlэри һэјата кечирмэк үчүн апарыллары.

Биологи рекултивасија торпагдан истифадэ едэн тэшкилатлар тэрэфиндэн апарылмалыдьр. Позулмуш торпаглар јерлэшэн рајонун тэбии вэ соснал шэрантинидэн, һэмчинин позулмасы нөвүндэн асылы олараг рекултивасија ишлэрийн мэгсэдёнлүү мухтэлиф ола билэр. Бунуила элагодар олараг дағ-техники рекултивасија ашағыдакы истигамэтлэрэ бөлүнүр: 1) канд тэсэрүфаты үчүн эсас мэгсэд позулмуш торпагларын канд тэсэрүфаты үчүн јаарлы нала салмагдьр; 2) мешэ тэсэрүфаты үчүн эсас мэгсэд мешэ золаглары экмэк үчүн позулмуш торпаглары назырламаг; 3) тикинти үчүн позулмуш торпагларын мүлки вэ санаје тикинтии апармаг үчүн дүзэлдилмэс; 4) су тэсэрүфаты үчүн позулмуш торлаг саһэснини балыг тэсэрүфаты јетишдирмэк мэгсэдилэ сутутарлары тикимэк үчүн дүзэлдилмэс; 5) позулмуш торпаглары истирахэт зоналарында агач биткилэрийн салымасы учүн назырламасы; 6) санитарија-кикијена заманы позулмуш торпагларын бир ниссэсийн консервилэшдирлийн, јэни бу торпаглардан халг тэсэрүфатында истифадэ етмэк о гэдэр дэ мүмкүн дејил.

Торпагларын канд тэсэрүфаты мэгсэд үчүн рекултивасијасы канд тэсэрүфаты мэсүлларынын истиесалы саһэснэдэ ийкишаф стимиш рајонларда апарыллыр.

Торпагларын мешэ тэсэрүфаты үчүн рекултивасија олумасы овахт апарыллыр ии, дағ ишлэри апарылан-эрэзидэ гијмэти мешэ зонасы јерлэшмиш олсун вэ яхуд да һэмийн рајон канд тэсэрүфаты мэсүллары истиесал етмэклэ јанаши, һэм дэ энэли сыхлыгына малик олсун. Бу чүр рекултивасија ишлэри, јер сэтгийн эсас ниссэсийн дағ ишлэрийн тэ'сириндэн позулан саһэлэрдэ мухтэлиф формалы вэ өлчүлү тулантыханаларын дүзэлдилмэс илэ апарыллыр. Бурада сүхурларын агрокимјэви төркиблэри канд тэсэрүфаты үчүн рекултивасија олупан торпаглара нисбетэн аз энэмижэйт кэсб едир.

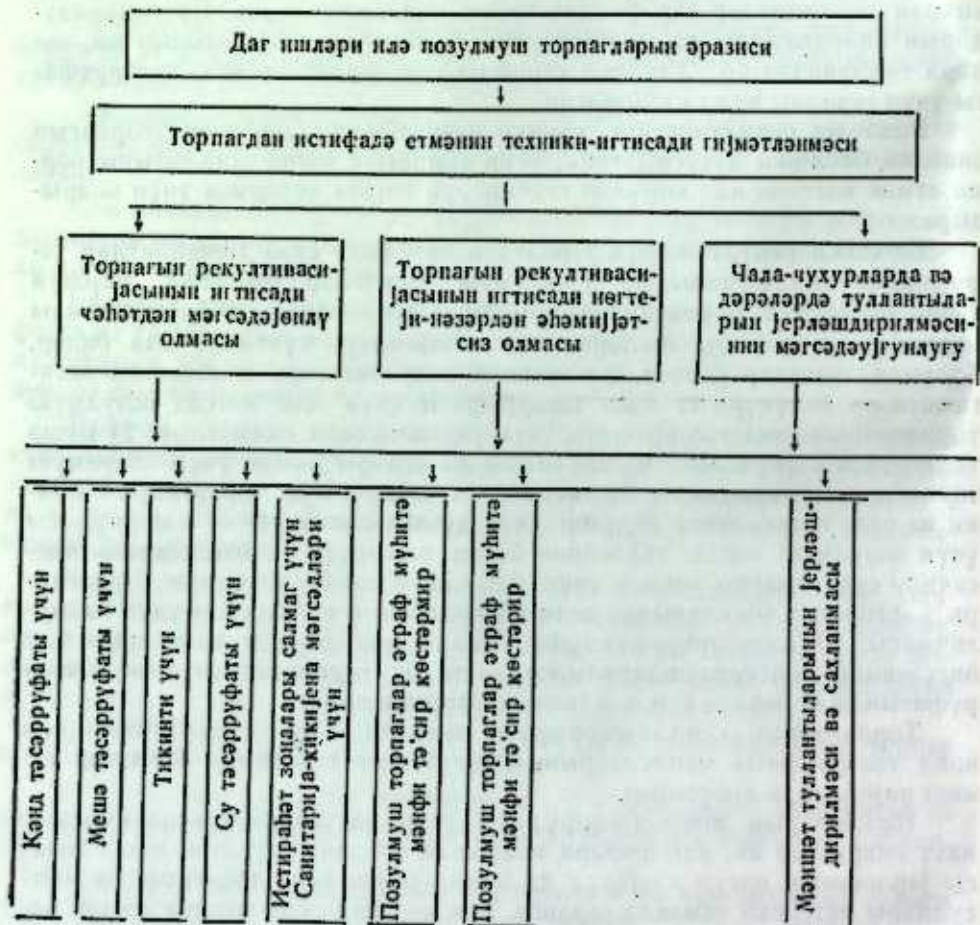
Тикинти үчүн апарылан рекултивасија ишлэри адэтэн санаје мөркэзториндэ вэ энэли чох сых олан рајонларда, дахили вэ харичи тул-

лантыханалары вэ һәмчинин кичик карханаларын јерләрни дoldурмагла, апарылыр. Бурада да торпагын агрокимјәви хүсусијәти нәзәрә алынымамалыдыр.

Фајдалы газынтыларын ачыг үсулла истиスマры заманы эмәлә көлөн дөринли мәһсүлдарлыға јараплы олан гатдан ашагы олан чала-чухурлары су тәсәррүфаты үчүн рекултивасија едирләр. Бурада һәмин чала-чухурлара ширин су дoldурурлар ки, кәләчәкдә балыг сахламаг мүмкүн олсун.

Истираһәт мәгсәди илә торпагларын рекултивасија олуимасы әсән сәнаје мәркәзләрнә, шәһәр әтрафында вэ ја бөյүк јашаыш мән-тәгәләри әтрафында апарылыр. Бурада барпа ишләри һәм даш карха-

Даг ишләринин апарылмасы иетичесинде позулмуш торпаглардан истифадә олуимасынын ардычыллығы



наларын вэ сләэдә дә чухурларынын дoldурулмасы илә, о чүмләдән туллантыханаларын дүзәлдилмәси мәгсәдилә апарылыр. Ишләр гурттардыгдан соңра мешә золаглары салынмагла јанаши, кичик көлмәчеләр дә дүзәлдилүү.

Санитарија-кикијена мәгсәдилә торпагларын рекултивасија едилмәси о заман апарылыр ки, даг ишләри апарылмаздан әvvәл вэ соңра

һәмин торпаг саһаси халг тәсәррүфаты үчүн эһәмијәтсиз һесаб олунур. Башга сөзлә десәк, һәмин торпаг саһаси надир вэ радиоактив металларын истиスマры заманы вэ яхуд зәниниләшдиրмә фабрикләринин туллантылары васитәсилә корланимыш олсун.

Даг ишләринин апарылмасы иетичесинде позулмуш торпаглардан истифадә олуимасы схеми ашагыда кими олур.

Фајдалы газынтыларын истиスマры заманы апарылан даг-техники рекултивасија ишләри билавасында даг-мә'дән мүәссисәләрнә айрча сех вэ саһа торофиндән апарылыр.

Истиスマр вэ нәглијат машиналарынын вэ һәмчинин иичи гүвәснин чатышмамазлығы илә әлагәдар олараг, кичик мәһсүлдарлыға малик олан карханаларда истиスマр ишләри илә паралел олараг рекултивасија ишләринин апарылмасы мүмкүн дејилдир.

Даг-мә'дән ишләринин тәбии қеоложи мүнитә мәнифи тә'сир кес-тәрмәсисе бир нечә амил тә'сир едир. Бу факторларын арашдырылмасы вэ өјрәнилмәси бөյүк елми вэ төчрүби эһәмијәтә маликдир. Бизим тәрәфимиздән бу параметрләрни арашдырылмасы көстәрди ки, јерин тәбии қеоложи гурулушуну позулмасына эи әсас тә'сир едән амилләр ашагыда дүстурда верилән параметрләрлә һесабланы биләр.

$$S_{\text{кн}} = M_{\text{k}} + S_{\text{k}} + S_{\text{o}} + S_{\text{m.t}} + S_{\text{n.cy}} + S_{\text{d.m.a}}$$

Бурада $U_{\text{кн}}$ —кеоложи шәрәнтии д.-Джилимши саһаси;

M_{k} —даг-мә'дән мүәссисәсийин мәһсүлдарлығы;

S_{k} —карјерин саһаси;

S_{o} —бәрк туллантыларын саһаси;

$S_{\text{m.t}}$ —маје туллантыларын саһаси;

$S_{\text{n.cy}}$ —ишләнмиш сутутарларын саһаси;

$S_{\text{d.m.a}}$ —даг-мә'дән просесләринин әнатә етдикләри саһаси.

Бу параметрләрни (мүәссисәсийин мәһсүлдарлығында башга) һәр биринни айры-айрылыгда азалдырмасы даг-мә'дән ишләри васитәсилә әтраф мүнитин зәрәрлі туллантыларла чиркләймәсийин гарышынын алымасына сәбәб олур.

Әдәбијат

1. Брылов С. А., Штродки К. Охрана окружающей среды. — М.: Высшая школа, 1985.
2. Григорьев Н. П. Временные методические рекомендации по обоснованию природоохранных затрат при производстве геологоразведочных работ на твердые полезные ископаемые. — М., 1985.
3. Юсифов Д. Е., Мустафаев Н. Т., Ислаялов Ч. И. Технология тә'сир вэ әтраф мүнит. — Азәрбајҹан тәбии журналы, 1986, № 1.

Азәрб. ССР ЕА Рәјисат

hej'eti јанында МГӨК

Алымышдыр 15. 10. 1986.

Д. И. Исмайлова, Д. Е. Юсифова, Н. Т. Мустафаева
РЕКУЛЬТИВАЦИЯ ИСПОЛЬЗОВАННЫХ ЗЕМЕЛЬ ПРИ ГОРНО-РУДНЫХ РАБОТАХ

В статье дается характеристика рекультивации при горно-рудных работах. Приводятся два этапа рекультивации. Каждый этап в отдельности широко изложен. А также предлагаются рациональные направления использования земель, нарушенных в результате горных работ.

J. I. Ismailov, D. E. Yusifov, N. T. Mustafayev

RECULTIVATION OF EXPLOITED LANDS IN MINING WORK

The characteristic of recultivation in mining works is described in the article. There are two stages of the recultivation. Separately every stage is widely explained. They offer the real directions of land utilization degraded in the result of mining works.

Ш. Р. ИБРАГИМОВ

ПАРАЗИТИЧЕСКИЕ ПРОСТЕИШИЕ РЫБ МАЛОГО
КЫЗЫЛАГАЧСКОГО ЗАЛИВА КАСПИЙСКОГО МОРЯ

(Представлено академиком АН Азербайджанской ССР М. А. Мусаевым)

Малый Кызылагачский залив — крупный, сильно опресненный участок Южного Каспия. В нем постоянно обитают 16 видов рыб, на берегах залива кутум, шемая и рыбец.

Из паразитических простейших рыб Малого Кызылагачского залива были изучены только кровепаразиты [2]. Учитывая это, в 1980—1985 гг. мы подвергли паразитологическим вскрытиям 296 экз. рыб, относящихся к 19 видам: щука, курианская вобла, кутум, красноперка, линь, закавказская уклейка, закавказская густера, ленкоранская шемая, каспийский рыбец, горчак, сазан, закавказская щиповка, каспийская щиповка, малая южная колюшка, гамбузия, судак, окунь, каспийский кругляк, мраморный бычок. В результате этого были обнаружены следующие 42 вида простейших.

Trypanosoma schulmani Khalilov et al., 1971 — в крови щуки (55,5%) и линя (46,6%).

T. carassii (Mitrophanov, 1883) — в крови щуки (18,5%), красноперки (17,9%), линя (40,0%), закавказской щиповки (16,7) и каспийской щиповки (20,0%).

T. percae Brumpt, 1906 — в крови окуня (45,5%).

Cryptobia borelli (Laveran et Mesnil, 1901) — в крови воблы (20,0%), красноперки (21,4%) — и линя (33,3%).

C. guyerseugenum (Minchin, 1909) — в крови щуки (74,1%).

Все указанные паразиты были отмечены в Малом Кызылагачском заливе и до наших исследований. Остальные 37 видов впервые зарегистрированы здесь нами, 6 из них являются новыми и для фауны Каспийского моря.

S. branchialis Nie (In: Chen, 1956) — на жабрах щуки (18,5%) и красноперки (14,2%). Для фауны Каспийского моря указывается впервые.

Costia necatrix (Nemegiay, 1884) — на жабрах щуки (7,4%) и уклейки (13,3%).

Elmeria carpelli Leger et Stankovitch, 1921 — в стенках кишечника сазана (18,2%).

E. rufili Dogiel et Bychowsky, 1938 — в почках воблы (20,0%).

Glugea anomala (Monlez 1887) — в клетках подкожной соединительной ткани колюшки (25,0%).

G. luciopercae Dogiel et Bychowsky, 1939 — в стенках кишечника судака (11,1%).

G. rodel Kazleva et Voronin, 1981 — в соединительной ткани внутренних органов горчака (20,0%). Для фауны Каспийского моря указывается впервые.

G. schulmani Gasimogomedov et Issi, 1970 — в стенках кишечника каспийского кругляка (13,3%) и мраморного бычка (30,0%).

Mixidium rhodel Leger, 1905 — в почках воблы (30,0%) и красноперки (10,7%).

M. pfeifferi Auerbach, 1903 — в желчном пузыре воблы (10,0%) и сазана (27,3%).

M. macrocapsulare Auerbach 1910 — в желчном пузыре уклейки (13,3%) и шемаи (6,7%). Для Каспия указывается впервые.

Zschokkella nova Kloacsewa, 1914 — в желчном пузыре уклейки (20,0%) и шемаи (6,7%).

Chloromyxum fluviatile Thelohan, 1892 — в желчном пузыре уклейки (13,3%).

Ch. legeri Tourtchine, 1931 — в желчном пузыре шемаи (13,3%).

Myxobolus muelleri Butschli, 1882 — в мышцах, жабрах, почках и селезенке воблы (50,0%), кутума (40,0%), красноперки (28,6), шемаи (60,0%) и сазана (63,6%).

M. braiae Reuss, 1906 — в жабрах и почках воблы (60,0%), красноперки (35,7%), шемаи (66,7%) и рыбца (35,4%).

M. muscili Keysellitz, 1908 — в мышцах, почках и селезенке воблы (30,0%), красноперки (17,9) и линя (40,0%).

M. cyprii Doflein, 1898 — в почках и селезенке красноперки (14,2%) и сазана (36,4%).

M. bliecae Donec et Tozyakova, 1984 — в жабрах густеры (30,0%). Для фауны Каспийского моря указывается впервые.

M. dispar Thelohan, 1895 — в жабрах, мышцах и почках воблы (20,0%), кутума (26,7%), рыбца (18,2%) и сазана (27,3%).

M. pseudodispar, Gorbovova 1936 — в мышцах, жабрах и почках воблы (30,0%) и кутума (20,0%).

M. ellipsoides Thelohan, 1892 — в жабрах, почках и селезенке густеры (10,0%) и сазана (18,2%).

M. oviformis Thelohan, 1882 — в жабрах уклейки (26,7) и сазана (27,3%).

M. macrocapsularis Reuss, 1906 — в почках и селезенке кутума (13,3%) и густеры (10,0%).

Thelohanellus misgurni (Kudo, 1919) — в желчном пузыре закавказской щиповки (25,0%). Для Каспия указывается впервые.

Chlidonella hexasticha (Kiernik, 1909) — на жабрах красноперки (17,9%), уклейки (33,3%) и окуня (21,2%).

Ch. piscicola (Zacharias, 1894) — на жабрах и коже сазана (18,2%) и окуня (9,1%).

Tetrahymena pyriformis (Ehrenberg, 1830) — на жабрах каспийского кругляка (13,2%).

Ichthyophthirus multifiliis Fouquet, 1876 — в коже и жабрах щуки (14,8%), красноперки (25,0%), густеры (30,0%), скуня (27,3%) и мраморного бычка (10,0%).

Epistilis lwoffi Faure-Fremiet, 1943 — на жабрах колюшки (10,0%). Для фауны Каспийского моря указывается впервые.

Apisoma companulatum (Timofeev, 1962)—на плавниках уклейки (13,3) и горчака (6,7%).

A. piscicolum Blanchard, 1885—на плавниках и жабрах красноперки (7,1%), каспийской щиповки (10,0%) и окуня (9,1%).

Trichodina nigra Lom, 1960—на поверхности тела, плавниках, жабрах и в носовых ямках красноперки (10,7), линия (33,3%), каспийского кругляка (13,3%) и мраморного бычка (30,0%).

T. acuta Lom, 1960—на поверхности тела колюшки (20,0).

T. polycirra Lom, 1960—в мочевом пузыре густеры (20,0%). Для фауны Каспийского моря указывается впервые.

Tripartiella copiosa (Lom, 1959)—на жабрах густеры (10,0%) и горчака (20,0%).

Trichodinella epizootica (Raabe, 1950)—на жабрах щуки (14,8%), красноперки (10,7), сазана (18,2) и окуня (8,1%).

Паразиты крови и эктопаразиты отмечены только у туводных рыб. Проходные кутум, шемая и рыбец, по-видимому, заходили из моря в залив свободными от этих паразитов и не успели приобрести их за время пребывания в водоеме. У них зарегистрированы только миксоспоридии, которые не покидают рыб в морской период их жизни.

Среди миксоспоридий *Myxidium rhodei*, *M. pfeifferi*, *Zschokkella nova*, *Chloromyxum fluviatile*, *Ch. legeri* относятся (3) к группе видов со спорами, медленно опускающимися на дно водоема, *Myxidium macrocapsulare*, *Myxobolus misculi*, *M. pseudodispar* имеют споры, занимающие по скорости погружения промежуточное положение, у остальных 9 видов — быстро опускающиеся споры. Преобладание миксоспоридий из третьей группы вообще характерно для сравнительно неглубоких пресноводных водоемов.

За исключением солоноводного *Glugea anomala* и pontokaspийского морского *G. schulmani* все обнаруженные виды относятся к бореальному равнинному фаунистическому комплексу, который сформировался в неогене в водоемах Палеарктики, севернее 44° с. ш. [4]. Он представлен теплолюбивыми pontokaspийской, амфибореальной и эвритечной палеарктической группами. В первую из них входят *Cryptobia borealis*, *C. guyersevorum*, *Costia necatrix*, *Elmeria rutilli*, *Glugea luciopercae*, *G. godei*, *Myxobolus biliceae*, *Trichodina polycirra*, распространенные только в Пonto-Каспийско-Аральской провинции, во вторую — *Myxobolus cyprini*, *Theleophanellus misquini*, *Tetrahymena pyriformis*, которые характерны для водоемов Европы и Дальнего Востока, но не встречаются в Сибири. Остальные 29 видов или 69% всей протефауны рыб относятся к третьей группе. Преобладание палеарктических видов связано с их эврионтностью и поликсенностью, благодаря чему они часто проникают далеко за пределы распространения основной массы рыб, входящих в одну с ними группу.

За время проведенных исследований мы не отметили среди рыб эпизоотий, вызванных паразитами. Однако среди обнаруженных простейших 12 видов — *Cryptobia branchialis*, *Costia necatrix*, *Elmeria carpelli*, *Glugea anomala*, *Myxobolus cyprini*, *Chilodonella hexasticha*, *Ch. piscicola*, *Ichthyophthirus multifiliis*, *Apisoma companulatum*, *A. piscicolum*, *Trichodina nigra*, *Trichodinella epizootica* известны [1] как возбудители паразитов. Наличие этих паразитов следует учитывать при проведении рыбохозяйственных мероприятий.

Выводы

1. В результате исследования в 1980—1985 гг. в Малом Кызылагачском заливе 296 экз. рыб, относящихся к 19 видам, обнаружено 42 вида паразитических простейших, из которых 37 зарегистрированы здесь впервые, а остальные — новые для фауны Каспийского моря.

2. Проходные рыбы свободны от паразитов крови и эктопаразитов. Среди миксоспоридий преобладают виды с быстро опускающимися спорами.

3. Подавляющее большинство обнаруженных простейших относится к бореальному равнинному комплексу, который представлен тремя группами. 29 видов или 69% всей протефауны входят в палеарктическую группу, представители которой весьма эврионтны.

4. Из отмеченных паразитических простейших представители 12 видов способны вызвать заболевания у рыб, что следует учитывать при проведении рыбохозяйственных мероприятий.

Литература

- Бауэр О. И., Мусселус В. А., Николаева В. М., Стрелков Ю. А.: Ихтиопатология. — М.: Пищевая промышленность, 1977. — 431 с.
- Гусейнов М. А. Автореф. дис... канд. биол. наук. — Баку, 1983. — 25 с.
- Шульман С. С. Миксоспоридии фауны СССР. — М. — Л.: Наука. — 507 с.
- Яковлев В. Н. Вопросы ихтиологии, 1964, т. 4, вып. 1(30), с. 10—22.

Институт зоологии АН АзССР

Поступило 11. X 1986

Ш. Р. Ибраимов

ХЭЗЭР ДЭНИЗИ КИЧИК ГЫЗЫЛАГАЧ ҚӨРФЭЗИ БАЛЫГЛАРНЫН ПАРАЗИТ ИБТИДАЙЛЭРИ

Мэгэлэдээ көстөрилүүр ки, 1980—1985-чи иллэрээ Кичик Гызылагач қөрфээндээ 19 иөдэн олан 296 өдөд балыг тэдгэг едилши, 42 иөв ибтидан тапылмышдыр ки, бүнлэдээ 6-сы Хэзэр үүчин јешидир, 12 иөв хэсэлжүүл төрөдэндир. Гэн паразитлэрийн яланыг кечини олмаан балыгларда тапылмыш, миксоспоридилэрдэн спорлары тез чөхөн иөлдэр сајча үстүнлүк тэшиглэдэг. Ихи иөв мүстэсна олмагла, элдэ едилши ибтиданлэр бореал дүзээлийк мэншэлидир.

Sh. R. Ibrabimov

PARASITIC PROTOZOA OF FISHES OF SMALL KYZLAGACH GULF OF THE CASPIAN SEA

In 1980—1985 in Small Kyzylagach gulf we analysed 296 fishes of 19 species and discovered 42 parasitic protozoa, 6 species are new for the Caspian sea, 12—pathogenic. With the exception of 2, all species have a boreal-plain origin.

НОВЫЕ АДВЕНТИВНЫЕ ВИДЫ РАСТЕНИЙ АПШЕРОНА

(Представлено академиком АН Азербайджанской ССР В. Р. Волобуевым)

В последние годы как в нашей стране, так и за рубежом растет интерес к изучению адвентивной флоры.

Адвентивные растения (от латинского «адвентус»—пришлый, случайный) —растения, занесенные человеком в новую для них область. Изучение адвентиков (пришельцев) позволяет выявить среди них полезные растения (кормовые лекарственные, декоративные и др.) для культивирования в данных климатических условиях региона, а для вредных (злостных сорняков) —разрабатывать рациональные методы борьбы. Таких растений в Азербайджане достаточно много. На современном этапе развития транспортного сообщения они быстро заносятся из различных регионов мира.

На Апшеронском полуострове широко ведется культурное земледелие, что способствует распространению адвентивных растений.

Адвентивная флора Апшерона до настоящего времени не подвергалась изучению, а единственный литературный источник [4], более чем тридцатилетней давности не дает полной картины современного состояния адвентивной флоры полуострова.

Нами был собран большой гербарный материал из различных экологических условий на Апшероне. После камеральной обработки собранного материала были выявлены адвентивные виды, которые ранее не указывались для Апшерона, а некоторые из них даже и для Азербайджана.

Из собранных новых адвентивных видов, следует отметить из крестоцветных (*Brassicaceae Brunell*): морскую горчицу, рыжик мелкоплодный; из сложноцветных (*Asteraceae Dumort.*): гетеропаппус седоватый, г. алтайский, мелколепестник курчавый, м. карадагский, м. бузнос-айресский.

Морская горчица (*Cakile euxina Pobed.* — синоним *C. maritima Scop.*) — из семейства крестоцветных относится к роду морской горчицы (*Cakile Mill.*). Из 4 видов данного рода это единственный вид, произрастающий в СССР и в том числе на Кавказе [2,3,7].

Морская горчица — однолетнее растение 10—40 см высоты, с основания растопыренно-ветвистое, иногда образует форму кустика. Листья мясистые, однажды, а нижние почти дважды перисто-рассеченные с узкими долями листочков, 2—3 мм шир, листочки цельнокрайние. Чашелистики 3—4 мм дл., лепестки внутри светло-, а снаружи значительно темно-розово-фиолетовые или же сиреневые, 7—10 мм дл. Цветоножки 4—6 мм дл., толстые, косо вверх стоячие. Тычинок четыре, пыльники желтые. Завязь сидячая, рыльце широкое. Стручочки 18—20 мм дл., состоят из двух членников, которые при созревании легко

разламываются. Нижний членник на верхушке обычно двухзубчатый, верхний — мечевидный, каждый членник одногнездный, односемянный, иногда нижний членник бессемянный. Семена прямые. В условиях Апшерона цветет и плодоносит с мая до середины октября.

Семена морской горчицы содержат 48,2% масла. В народной медицине листья используются как противовоспалительное средство. Молодые побеги могут употребляться в пищу [1].

Этот вид относится к атлантическому географическому элементу. Он растет на песчаных берегах Атлантического океана в пределах Северной Америки и Европы, а также на побережье Балтийского моря [7], в Крыму и Западном Закавказье, т. е. в пределах побережья Азовского и Черного морей, встречается в трещинах приморских скал и песков [3,7].

Во «Флоре Азербайджана» морская горчица отсутствует. Впервые она нами собрана в начале июня 1986 г. в окрестностях пос. Приморск, вблизи пляжа на песках, а затем в июле—сентябре 1986 г. на территории санатория «Загульба», на приморских песках у ГРЭС «Северная» (пос. Мардакяны). Этот вид встречается по северной морской полосе Апшерона — в пос. Бузовны, Бильгях и др.

Рыжик мелкоплодный (*Camelina microsarpa Andr*) в семействе крестоцветных относится к роду рыжик (*Camelina Gratz*), является однолетним растением, стебли достигают 20—60 см высоты, почти от основания ветвистые, вверх направленные, опущены простыми волосками, в верхней части почти голые. Листья многочисленные, нижние продолговато-обратноovalные, стеблевые — ланцетные, верхние линейно-ланцетные, прижатые с длинными ушками. Цветы в длинных кистях довольно редкие. Чашелистики продолговато-ланцетные, 1,8—2,0 мм дл. Лепестки желтоватые, линейные 2,5—3,0 мм дл. Плоды многочисленные, удлиненно-грушевидные, 4—6 мм дл. 2,5—3,0 мм шир., створки гладкие, продольное ребристо заметно по всей части. Цветоножки при плоде направлены косо вверх, 10—15 (20) мм дл., тонкие. Семена 0,8—1,2 мм дл. Створки плода легко раскрываются в зрелом состоянии. В условиях Апшерона цветет и плодоносит с апреля до конца июня.

Рыжик мелкоплодный относится к средиземноморскому элементу. В семенах рыжика содержится 25—34% масла с йодным числом 146,4, которое находит применение в технических целях [1,5].

Рыжик мелкоплодный нами собраны в конце апреля из посевов зерновых культур Апшерона (пос. Шувеляны).

Среди новых адвентивных видов Апшерона из семейства сложноцветных нами выявлены представители рода гетеропаппуса и мелколепестника.

Для Апшерона указывается, что гетеропаппус седоватый (*Heteropappus canescens (Nees) Novopokr.*), произрастает в Бакинском ботаническом саду, занесен из Средней Азии [2,3].

Действительно, это растение здесь встречается обильно, однако оно не указано во «Флоре Азербайджана».

В 1986 г. с июля по сентябрь из Бакинского ботанического сада нами собраны многочисленные образцы гербария гетеропаппуса седоватого. Кроме этого вида в Бакинском ботаническом саду встречается еще один среднеазиатский вид гетеропаппуса, который сильно от-

личается от г. седоватого. По морфологическим признакам это растение более сходно с г. алтайским, но цветки крупнее.

Ниже описываем характеристику его признаков.

Гетеропаппус алтайский (*Heteropappus altaicus* (Willd.) Novopok. многолетнее растение до 50—60 см высоты. Стебли многочисленные, почти всегда от основания, прямостоячие покрыты тонкими волосками. Листья 3—7 см дл., 4,0—13,0 мм шир., сидячие, линейные или линейно-продолговатые, к основанию постепенно суженные, на верхушке тупые или коротко заостренные, с обеих сторон опущены прилегающими очень тонкими волосками и многочисленными мелкими блестящими железками, вверх по стеблю листья постепенно уменьшаются, вверх направленные, к стеблю сближенные. Цветки одиночные или же в щитковидных соцветиях в конце стебля. Корзинки вместе с язычками до 2,5 см в диаметре. Обертки листочков ланцетные, края пленчатые, двух-трехрядные, мелкожестковолосистые и мелкожелезистые. Язычковые цветки бледно-синие или сиреневые, 2,0—2,5 мм шир. Семена 2—3 мм дл., продолговато-обратнояйцевидные, плоские, шелковисто-волосистые. Хохолок беловатый или кремовый, длиннее семянки, 4 мм дл., однорядный, почти у всех семянок одинаковый, в центре хохолков диск выпуклый. На Апшероне цветет и плодоносит с июля до конца октября.

На Апшероне это растение впервые нами собрано из Бакинского ботанического сада в августе 1986 г.

Во «Флоре Азербайджана» для Апшерона указан один вид мелколепестника (*Erigeron L.*) — М. Канадский (*E. canadensis L.*) [6]. В результате маршрутного исследования растительности Апшерона нами выделены еще три вида мелколепестника: м. курчавый (*E. crispus Pourr.*), м. карадагский (*E. nigromontanus Boiss. et Buchse* — синоним *E. aucheri D. C.*) и м. бузнос-айресский (*E. bonariensis L.*). Последний южноамериканский вид для Азербайджана является новым адвентивным, только в работах Ябровой-Колаковской [9, 10] он указан для Абхазии в качестве кавказского адвентика. Хотя мелколепестник карадагский и указан Гроссгеймом [2] для Апшерона, однако он не описан во «Флоре Азербайджана».

Указанные виды мелколепестника широко распространены на сорных иrudеральных местообитаниях Апшерона.

Все собранные нами образцы гербария адвентивных видов растений будут сданы в отдел гербария Института ботаники АН Азерб. ССР (ВАК).

Авторы признательны доктору биологических наук Р. К. Аскеровой за консультации при определении видов.

Литература

1. Гроссгейм А. А. Растительные ресурсы Кавказа. — Баку, 1946.
2. Гроссгейм А. А. Определитель флоры Кавказа. — М., 1949.
3. Гроссгейм А. А. Флора Кавказа, т. IV.—М.—Л., 1950.
4. Карягин И. И. Флора Апшерона. — Баку, 1952.
5. Флора Азербайджана, т. IV. — Баку, 1953.
6. Флора Азербайджана, т. VIII. — Баку, 1961.
7. Флора СССР, т. VIII. — М.—Л., 1939.
8. Флора СССР, т. XXV. — М.—Л., 1959.
9. Яброва-Колаковская В. С. — Адвентивная флора Абхазии. — Тбилиси, 1977.
10. Яброва-Колаковская В. С., Шенгелия Б. М. Сорные растения Абхазии. — Тбилиси, 1978.

Институт ботаники АН АзССР

Поступило 24. XII 1986

А. И. Майлова, Н. А. Мамедова

АБШЕРООНУН ІЕНИ АДВЕНТИВ БИТКИЛЭРИ

Мэглээдэ Абшеронун флорасындан 2 иев хаччичэклэр и 5 иев сабэтчичэклэр фэсилэлэрине анд яни адвентив биткилэри талылмасындан данышылыр. Буллардан 3 иевү (дэнээ хэрдэлэ, Алтай гетеропаппусу вэ Бузнос-Айрес хырдалчээж) Азэрбајҹан үчүн, 4 иевү (кичикмөјэвэ коһранот, бозумтул гетеропаппу, гыврым вэ гарадаг хырдалчэклэр) исо Абшерон үчүн яни адвентив биткилэдир.

A. I. Mai洛v, N. A. Mamедов

NEW ADVENTITIOUS SPECIES OF APSHERON PLANTS

The article informs about the discovery of new adventitious species in Apsheron flora. Three species (*Cakile euxina*, *Heteropappus altaicus*, *Erigeron bonariensis*) for Azerbaijan and four species (*Camelina microcarpa*, *Heteropappus canescens*, *Erigeron crispus*, *E. nigromontanus*) for Apsheron are shown for the first time.

Ф. И. ВАЛИЕВ

«ДУРМА» ХАЛГ ЯШАЙШ ЕВИ ТИПИ ҺАГГЫНДА

(Азэрбајҹан ССР ЕЛ академики А. С. Сүмбатзадә тәгдим етмишdir)

Азэрбајҹан халгынын тарихиниң мұхтәлиф дәврләриндә мөвчуд олмуш вә галыг һаңында XX әсринән әзәлләрниң гәдәр давам етмиш яшәйшиеви типләри һаңында етнографик әдәбијатда чох јазылмышдыр.

1985-чи илин яжында етнографик соғер заманы кечмиш Самук району әразисинде «Елдар» адланан Појлу, Салаһлы, Кәсәмән вә Гара-баглы қәндләриндә гәдә алыныш «дурма» халг яшәйшиеви типи исәнидијәдәк Азэрбајҹан етнографиясында өјрәнилмәшишdir.

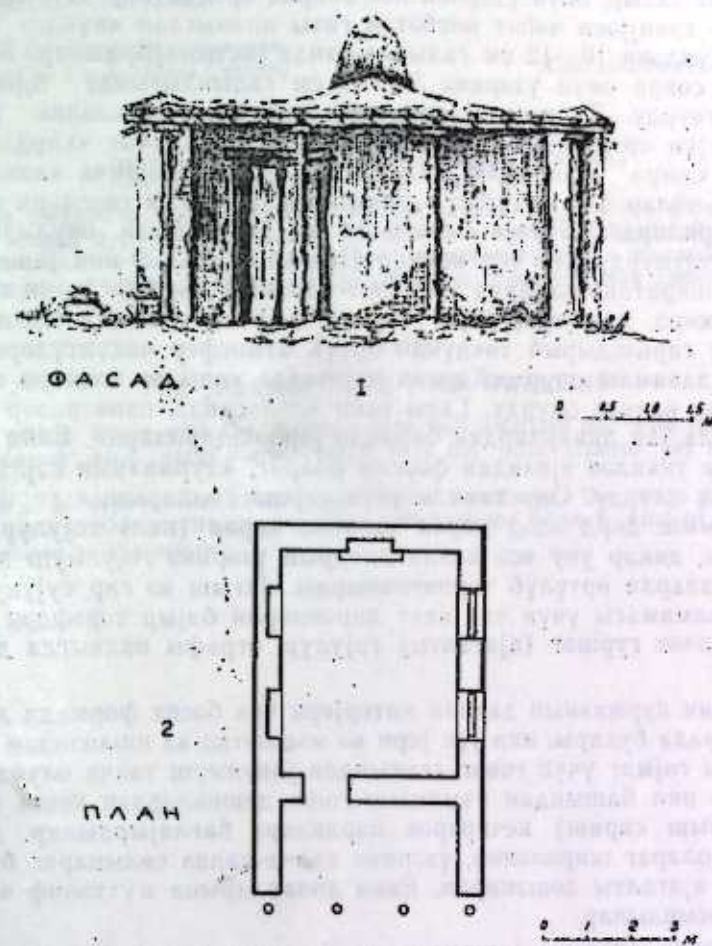
Гәмми қәндләрниң яшлы сакинләринин вердији мә’лумата көрә, әнали бураја XVIII әсрин 50—60-чы илләриндә Газах султанлығындан кечүб көтмешидir. Бу мә’луматы бә’зи тарихи фактлар (1, 383; 3, 223—224; 4, 59—60, 109—111), набелә, һәр ики әразидә еїнкадлы яшәйши мәңтәгәләрниң олмасы да тәсдиғ едир.

«Дурма» сезүнүн «дурмаг», «дајанмаг», «дајанаҹаг» сезүнән эмәлә кәлдији күман олунур. Кечүб кәләрәк илк дәфә бурада мәскүллашыш айләләр, Иори (Габырры) чајынын мәңсәбинең яхын әразиниң яшәйши учүн әлверишли һесаб едәрәк отураглашыш вә тикдикләри евләри дә «дурма» адландырышылар. Бу халг етималокијасы илә түрк дилләриндәк «дајанаҹаг јери», «ев» мә’насынын верән «дурмаг» сезү (7, 1792.) арасында олан мә’на охшарлығы фикримизи әјаниләшдирир.

Әразинин тәбин-иглим шәранти, әналиниң ичтимай-игтисади вәзијәти вә мәшәти илә әлагәдар олараг «дурма» ев типи мүәјјән дәвр әрзинде бурада башлыча яшәйшиеви олмушшудур. Сәфәр заманы тәдгиг олунан әразидән бу ев типинин ики формасы: яј еви кими мұвәggети яшәйши учүн нәзәрдә тутулан «гарғы дурма», (бұна бә’зән «гамыш дурма» вә «чубугнәрмә» дә дејилир.) вә гыш еви (кәрпич дурма) гејдә алынышдыр. «Кәрпич дурма» дәми, отураг яшәйши учүн истифадә олунурdu.

«Гарғы дурма» садә гурулуша малик олмагла адәтән 3,5—4 м 7—8 м өлчүдә тикилирди. Бунун үчүн евин дәврәси бојунча 1,5—2 м аралы басдырылмыш дирәкләре сыйрыгla дәрд јофун гарғы (өзак) көнделән бәнд едилir, арасы назик гарғы илә һөрүлүрдү. Ортада вә я күнчләрни бириңе яхын гојулмуш гапы, ашағы һиссәсінә ағыр шеј (даш, одун парчасы вә с.) бағламыш килим гапылыгla, бә’зән дә чүбүг чәпәро васитәсилә өртүлүрдү. Онун диварлары ичәри вә чөлдән саманлы палчыгла галын суванырыды. Айлә үзвләриниң сајындан асылы олараг «гарғы дурма» бир вә я икесүз тикилирди. Икикөзлү ев тикмәк учүн евин узуни бојунча ортадан басдырылмыш дирәкләрни дә арасы (гапы јеринде башга) һөрүлүрдү. Дурманын пәнчәрәләри 45 см x 50 см олмагла жан диварларын бириңе јерләширирди. Диварларынын галынышы аз (15 см) олдуғундаи, белә евләрдә һеч бир дивар ачырымы олмурду.

Дурманын дам өртүјү дирәкләр үзәринде гурулурду. Диракләриң үзәринең јофун тир, мил (кәрән) атылыр, онларын арасына пәрди (узун-луғу 1,5 м-э гәдәр олан агач) дәшәнир, аварла (иешен, чил, чырпы, лығ вә с.) өртүләрәк торпагланырыды. Дам өртүјүндә маилилик јаратмаг учун орта диракләр (ана дирак) кәнар диракләрә (нарма диракләр) нисбәтән 60—70 см һүндүр олурду. «Гарғы дурма» өзүнүн јүнкүл тикнити конструкциясына көрә Ширван (5, 33) вә Гарабаг (8, 121—122) зоналарында кениш јазылмыш «човустан» типли евләрлә мүәјјән охшарлыг тәшкил едир.



Шәкіл 1. Кәрпич дурма: 1—үмуми көрүнүшү; 2—планы.

«Кәрпич дурма» «сағы дурма»нын хејли тәкмиллашмиш формасы кими мејдана чыхмышлар. Эввәлләр евни гыздырмаг вә јемәк һазырламаг учүн бухары дүзәлтмәк мәгседилю онун бир дивары, сонралар исә, инишат ән'әнәләриниң зәнкүнләшмәсі иәтичесинде бүтүн диварлары кәрпичдән тикилмишdir. Дүзбучаглы плана малик олан «кәрпич дурма» еңсиз, лакин узун олмагла адәтән 3,5—4 м x 6—7 м өлчүдә тикилirdи. (Табло.) Дурманын бүнөврәси учун јер газылмырды. Евин периметри бојунча јерә бир чәркә чај вә я гаја дашинын 80 см енинде

дүзүлмәсі илә бу иш процеси баша чатырды. Тикитини башламағ үчүн бурада, бүтүн Азәрбајҹан үчүн сәнијәви олан бә’зи адәтләр. (2, 77—84) дә һәјата кечирилирди.

Ајыбаласы қөрпичә башлақан һөркү 2—2,2 м-ә чатдыгда тикити дајандырылып, тәхминән 20—25 күн диварын гурумасыны көзләјирдиләр. Дурманын тикитисинде соң мәрхәлә онун дам өртүйүнүн гурумасы иди. Бунун үчүн евин үстүнә, учлары жан диварларын үзәрине дүшмәк шертилә јогун тирләр дүзүлүрдү. Оиларын үзәрине пәрди жармачалары гојдугдан соңра ләләкләри тәмизләнмиш гарғыдан «чәтән» неруб үстүнә салып, онун үзәрини исә аварла өртүрдүләр. Дурманын дам өртүйүндә сәнијәви чәһәт иисбәтән гаты палчыгдан «кунд» тәкүлмәси иди. Күндәни 10—12 см галынысында јастылајырдылар. Күндә гурдуғдан соңра онун үзәрине 30—40 см галынысында торпаг гаты әлавә олунурду. Дурманын јасты дам өртүйүндә майлилик жаратмаг үчүн өртүйүн ортасында һүндүрлүү 25—30 см палчыг «кирдә» дүзәлдиләрди. Соңра осас кирдәдән айылан голлар бојунча «ләккләр» дүзәлдиләр, оилар дам өртүйүнүн көнарында дүз вә ја гөвсвари шәкилдә бирләшдирилирди. Бураја тәнәкдән вә ја ичәриси овулмуш ағачдан нов гојулурду. Бу чүр новлар Нахчыван МССР-нин јашајыш евләринде «ширатан» вә јаҳуд «новдан» адланыр. (6, 88). Јерли әналиниң дедиине көрә, дам өртүйүнүн үзәрине 4—5 см галынысында дузла очаг күлү гарыштырыб тәкдүкә өртүк атмосфер чөкүнтуләрине гаршы даһа давамлы олур. «Көрпич дурма»да гапы вә пәнчәрә ачырмалары кичик өлчүдә олурду. Гапы евин кәлләсіндә, пәнчәрәләр исә бир чут олмагла жан диварлардан бириндә јерләшдирилирди. Евин примети бојунча тикилән ејвандан фәргли олараг, «дурма»нын сејваны кәллә диварда олурду. Ону тикмәк үчүн сејван голларынын гарышында басдырылмыш дерд әдәд дирәк үзәрине кәрән (нал) гојулурду. Бир учу налын, дикәр учу исә кәллә диварын үзәрине гојулмуш пәрдиләрин үстү аварла өртүлүб торпагланырды. Јағыш вә гар сујуунин ахыб сејвана долмамасы үчүн чох вахт дирәкләрин бајыр тәрәфдән гарышына көндәлән гуршаг (ајагалты) гојулур, әтраfy палчыгla долдурулурду.

«Көрпич дурма»нын дахили интерјери чох бәсит формада дүзәлдиләрди. Бурада бухары, ики јүк јери вә мәишәттә аз ишләдилән ев ава-даңылыны гојмаг үчүн говаг ағачындан јонулмуш тахча олурду. Тахчаны һөр ики башындан ачылымыш гоша дешикләрдән көшә (көндән назырламыш кириш) кечирәрек пәрдиләрә бағлајырдылар. Дәшәмә бир гајда олараг ширәләнир, үзәрине халча-палаz салынараг бир нечә әдәд дәри ајагалты дәшәнирди. Евин диварларына мұхтәлиф чешидли халчалар асырдылар.

Бағыллак, «дурма» јашајышеви әналиниң отураг һәјат тәрзин илә бағылла, хејли инкишаф ѡолу кечмишdir. Зәннимизчә, һагтында бәһс етдијимиз «дурма» ев, газма, јарымгазма евләрдән јерусту евләрә кечид мәрхәләсі тәшкіл едир.

Совет һакимијәти илләринде Азәрбајҹан көндләриндә һәјата кечирилән социал-игтисади дәјишикликләрин иәтичәси олараг, он'эневи јашајыш евләрнин бир чох форма вә вариантын кими, «дурма» да әналиниң мәишәтиндән чыхмыш, өз јашајыш әһәмијәттини итирәрек тәсәррүфат тикилисінә چөрүлмишdir.

Әдәбијјат

1. Азәрбајҹан тарихи, 3 чилдә, I чилд.—Бакы, 1958. 2. Гейбуллаев Г. А.—Изв. АН. АзССР, серия истории, философии и права, 1971, № 2. 3. Обозрение российских владений за Кавказом (в статистическом, этнографическом, топографическом и финансовых отношениях), ч. 2.—СПб, 1836. 4. Мусави Т. М. Орта эср Азәрбајҹан тарихине даир фаредили сәнәдләр. «XVI—XVIII эсрләр». — Бакы, 1977. 5. Мустафаев А. Н. Ширванын маддик мәдәнијәти. — Бакы, 1977. 6. Насири М. Н. Сельские поселения и крестьянские жилища Нахчыванской АССР. — Бакы, 1959. 7. Радлов В. В. Опыт словаря тюркских наречий, т. 3, ч. 2. СПб., 1905. 8. Рустамов Я. А. О поселении и крестьянском жилище азербайджанцев Карабахской зоны. Азербайджанский этнографический сб., вып. 2.—Баку, 1966.

Азәрб. ССР ЕА Тарих Институтунун
Археология өз Этнография Сектору

Алынмышыр II. IV 86

Ф. И. Велиев

О ТИПЕ НАРОДНОГО ЖИЛИЩА «ДУРМА»

Статья посвящена типу народного жилища «дурма» и двум его формам «кярич дурма» и «гаргы дурма», которые еще не изучены в этнографии Азербайджана.

В статье даются сведения об ареале распространения данного жилища, о способах его возведения, а также о традициях, связанных со строительством данного типа жилища.

F. I. Valiev

THE „DURMA“ TYPE FOLK DWELLING

The article deals with the „Durma“ type folk dwelling and with its two forms: „kerpich durma“ and „gargı durma“ which have not been studied yet in Azerbaijani ethnography.

The area of distribution of above-mentioned dwellings, the ways of their erection, as well as the traditions connected with building of such kind of dwelling are also elucidated in the article.

ИСКУССТВО
НАИЛЯ ДЖЕВАНШИР
МЕТАЛЛИЧЕСКИЕ ВОРОТА ХАНСКОЙ МЕЧЕТИ
ГОРОДА ШЕКИ

(Представлено академиком АН Азербайджанской ССР М. А. Усейновым)

Шеки — один из старейших культурных и ремесленных центров Азербайджана. Город расположен на фоне великолепной природы. В прошлом почти каждый его дом был окружен садом и забором, поэтому улицы Шеки не окаймлялись рядами домов, а извивались между стенами заборов и изгородей [1].

Живописное расположение города повлияло на развитие у местных мастеров своеобразного и весьма высокого художественного вкуса, вбравшего в себя красоту и совершенство местных пейзажей. Это особенно ярко запечатлено в произведениях декоративно-прикладного искусства и архитектуры, имеющих в Шеки богатые и давние традиции.

Высокого уровня достигло в Шеки искусство художественного металла, в частности, кузнечное дело. Например, по имеющимся сведениям, в середине XIX в. в городе работало 56 кузнецов [2]. Известными мастерами по металлу XIX — начала XX вв. были Молла Исмаил, имевший мастерскую с двадцатью работниками, демирчи Расул, демирчи Мамед, Гаджикадыр, демирчи Алибала и другие. Сегодня мы имеем возможность наблюдать их творения в сохранившихся до наших дней архитектурных памятниках. Это и высокохудожественные ворота, и двери, и балконные ограждения, и козырьки.

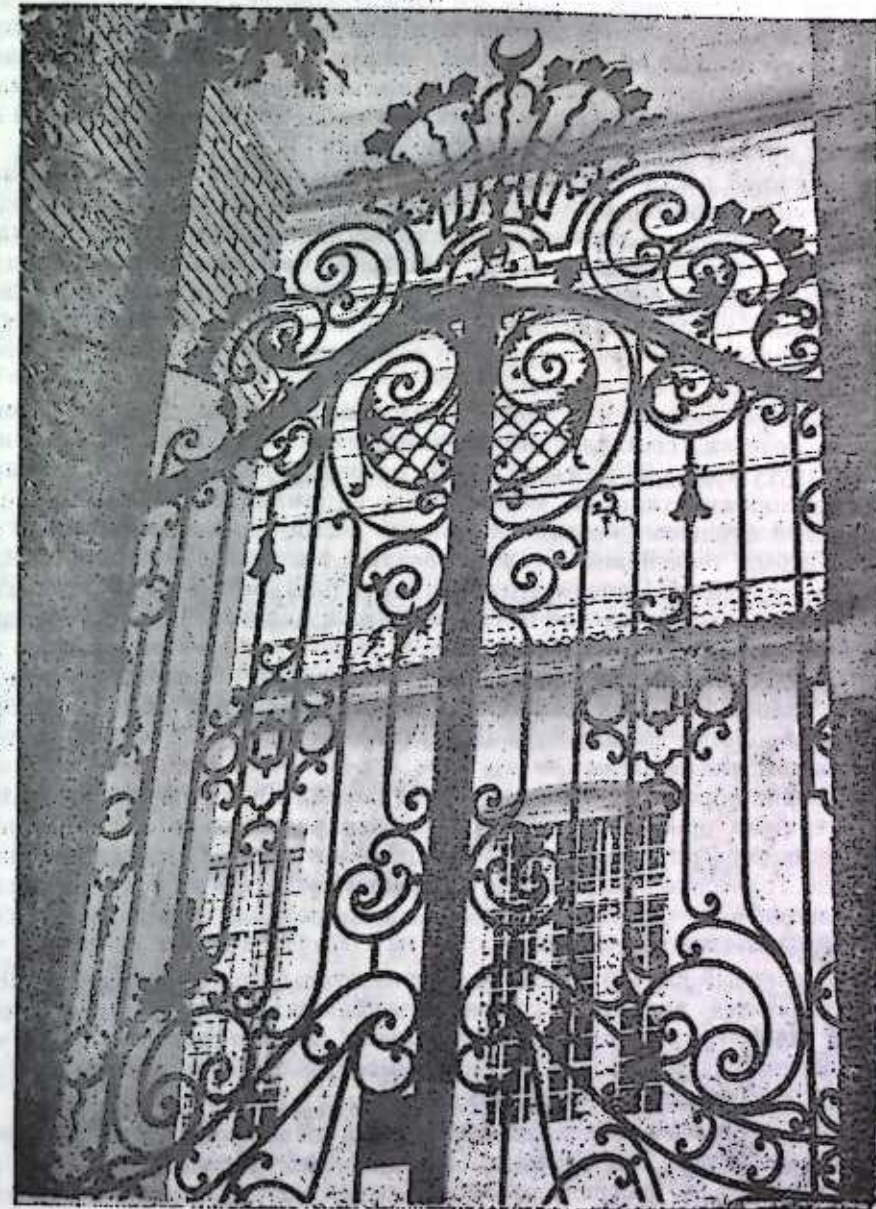
Наиболее значительным и интересным памятником художественного металла в архитектуре города Шеки являются ворота бывшей ханской мечети XIX в., выполненные по сведениям местных кузнецов уста Демирчизаде Расулом.

Ворота ханской мечети состоят из двух симметричных створок, выполненных из кованного железа. Каждая створка крепится к каменным колоннам, имеющим размеры в плане 1160+2290 см и высоту 5370 см. Растворяющиеся створки имеют высоту 4100 см и ширину 1225 см каждая. Венчаются ворота неподвижным картушем. Колонны перекрыты двухскатной металлической кровлей, защищающей ворота от большого количества осадков, выпадающих в этой зоне. Ажурный силуэт решетки, четко вырисовывающийся на фоне голубого неба и зелени внутреннего двора, хорошо гармонировал с тяжелыми монументальными колоннами, облегчая всю конструкцию.

Подобные ворота для культовых сооружений Азербайджана XIX в. — явление достаточно исключительное. На первый взгляд создается впечатление их сходства с классическими образцами ворот западноевропейской и русской архитектуры*. Однако, это только на первый

* В городе Шеки об истории изготовления этих ворот существуют различные толкования. Имеется даже мнение, будто они изготовлены в Петербурге.

взгляд. Шекинский мастер сумел создать оригинальный памятник, не противоречащий назначению всего архитектурного сооружения. Связь композиции рисунка ворот с мечетью достигнута путем использования соответствующих художественных приемов и мотивов. В рисунке ворот



имеются символы ислама — полумесяц, изображения звезд, растительный узор в виде листьев чинары. И даже доисламский символ такой, как, например, цветок тюльпана — символ весны и огня. Количество звезд — восемь в верхнем и нижнем ряду картуша, тоже символично — это священное число ислама. Необходимо отметить, что часто встречающийся в художественном убранстве металлических изделий

Азербайджана полумесяц не всегда символизировал ислам, как это принято считать. Полумесяц появился в памятниках искусства Азербайджана и сопредельных стран Востока намного раньше, до возникновения ислама [3]. По мнению акад. В.Бартольда, полумесяц в прошлом более всего ассоциировался с копытом боевого коня [4].

В центральной части полотна ворот из двух складывающихся створок образуется как бы ствол дерева, вокруг которого составляется весь остальной орнамент решетки. Изображение дерева всегда занимало центральное место, так как оно являлось эмблемой плодородия и по народному преданию несло в себе начало жизни [5].

В нижней части ворот расположены симметрично две стилизованные фигуры, напоминающие птиц. Они соединяются с центральной осью «бута». По представлению народа, такие парные существа отражали идеи при помощи всевозможных завитков, приближенных по виду к форме родительской пары. Все остальное поле ворот заполнено всевозможными узорами завитков в виде «ислими» или же «бута», искусно переплетенными друг с другом и создающими единое ажурное поле, обогащенное листьями чинары.

В центре каждой из створок ворот расположены большие ромбовидные розетки, составленные из «кетебе» и отдельных припаянных друг к другу крючков, по своей форме ассоциирующихся с рогами барана. Этот орнаментальный мотив, ныне напоминающий нам какие-то символы, в прошлом, несомненно, носил в себе повествовательный характер и был теснейшим образом связан с жизнью, бытом и фольклором его создателей. Причем, этот орнаментальный мотив не является специфическим декором именно металлических изделий. Он широко распространен в убранстве других предметов декоративно — прикладного искусства Азербайджана и прослеживается в декоре памятников, начиная с XI в. вплоть до наших дней. Особенно часто встречается он в декоративном убранстве ковров Куба-Ширванского типа [6], а также в керамических изделиях Шеки.

Створки ворот в нижней части центрального поля заполнены разнохарактерными орнаментальными мотивами растительного, геометрического и зооморфного происхождения, среди которых как по содержанию, так и по трактовке заслуживает внимания сетчатый узор, напоминающий павлина. Этот мотив аналогичен по композиции павлинам с росписей дворца Шекинских ханов.

Отмеченный случай — еще одно доказательство тесных связей между отдельными видами искусства Азербайджана, имевших место в XIX в. Несмотря на различие материалов, форм, технических приемов изготовления и т. д., их общность и взаимосвязь особенно прослеживаются в художественном убранстве этих вещей.

Описываемые нами железные ворота обрамлены узкой каймой. В верхней части каймы расположена несколько удлиненной формы розетка «кетебе», в центре которой размещен круг. От розетки вверх и вниз тянутся прутья, которые завершаются кругами с небольшими отростками. Нижняя часть каймы несколько углажелена часто повторяющимися элементами трилистника. Таким образом кайма, обрамляя и завершая общее орнаментальное убранство центрального поля ворот, выполняет не пассивную функцию рамки, а представляет неотъемлемую часть всей композиции.

Рассматривая решетку ханской мечети, обращая внимание на каж-

дую деталь, даже самую незначительную, мы постигаем редкое единство художественного замысла этого превосходного произведения, выполненного из кованного железа. Решетка настолько художественно совершенна, что трудно сказать, служит ли она прекрасной оградой внутреннему дворику ханской мечети или его зеленое пространство является прекрасным фоном для этого интересного художественного произведения.

Литература

1. Саламзаде А. В. Архитектура Азербайджана XVI—XIX вв. — Баку: Изд-во АН АзССР, 1964, с. 142. 2. Сүмбатзаде А. С. Промышленность Азербайджана в XIX в. — Баку: Изв. АН АзССР, 1964, с. 53. 3. *Raszim Efendi, Togrul Efendi. Azerbajdžan ölvostműveszete*. — Művészeti, 1983, No. 7, Budapest. 4. Бартольд В. К вопросу о полумесяце как символе ислама. — ПГ., 1918. 5. Эфенди Р. Эмблематика и символика в декоративно-прикладном искусстве Азербайджана. — Баку: Изв. АН АзССР, серия лит. языка и исх., 1967, № 2, с. 87. 6. Керимов Л. Азербайджанский ковер. — Л. Баку, 1961.

Институт архитектуры и искусства АН АзССР

Поступило 9. X 1986

Найлэ Чаваншир

ШЭКИ ХАН МЭСЧИДИННИН ДЭМИР ГАПЫСЫ

Шэки Азэрбајҹанын көркөмли сәнәткарлыг марқазында бирдидир. Мәгала-да гејд олунур ки, бурада бәдни тикмә, дулусчулуг, зәркорликэ јанаши дәмирчиләц сәнәти да јүкәәк инкишаф мәрхәләсі кечирмийди.

Шэки дәмирчиләр мәстал дарваза, гапы, балкоң сүраһнәри, пәнчәре бармаглыгълары дүзәлтмәкдö хүсүен мәшәрүт көстәрмийшләр.

Мәгала-да заманәмизәдәк галымны Шэки Хан мәсчидинин дәмир гапысындан сәбәт ачылыц. Дәмир гапынын формасы, техники ичрасы, үзәрнәдеки бәзәкләр барада отрағыла мәлumat берниләр. О, мұхтәлиф. дөврләрдин сәнәт экорләри илә мұғаисә олупнур.

Мүәллиф бу мәгала-да индија гәдәр сәнәтшүасылыг елминә мәлум олмајан Шэки Хан мәсчидинин дәмир гапысынын XIX әсрин иккичи жарысында уста Рәсүл Дәмирчи-зада тәрафиндән дүзәлдилдијини то'жын етмишдир.

Nailya Jawanshir

METAL DOOR OF THE MOSQUE OF SHAKY KHAN

Shaky is one of the known handicraft centres of Azerbaijan. Here besides decorative needlework, ceramics, jeweller's art, metalwork handicraft has passed high stage of development, too.

Shaky metal masters showed great mastership in making metal gates, doors, balcony rails, window gratings.

The article informs in detail about metal door of the mosque of Shaky Khan, of its form, technical peculiarities, decors. It is compared with the art works of the different periods.

The author of the article determining the period of the door and the name of the master comes to the conclusion that this door was made in the II half of the XIX c. by the master Rasul Damirchizade.

Механика

Амензаде Р. Ю., Акопян Г. М. К расчету неоднородных по толщине вязкоупругих квазилинейных стержней, № 9, с. 11.

Амензаде Р. Ю., Гаджиева М. Г., М. Нгок Тьин. Волны в составной деформируемой трубке, содержащей жидкость, № 6, с. 13.

Амензаде Р. Ю., Ахундов М. Б., Мамедов С. А. Влияние инерции поперечного движения на колебание наследственно-упругого стержня, № 8, с. 15.

Алиев О. Я. О равнопрочности составных оболочек, контактирующих со средой, № 4, с. 8.

Гулиев Г. Г., Алиев Э. А. Об устойчивости скважины при однородных начальных малых упруго-пластических деформациях, № 7, с. 10.

Шахлинская Г. Т. О потере устойчивости некруговой неоднородной по толщине цилиндрической оболочки, подверженной действию продольных сжимающих усилий, № 4, с. 3.

Прикладная механика

Искендеров А. Д., Гардашов Т. Б. Решение обратной задачи для квазилинейного уравнения теплопроводности в автомодельном режиме, № 2, с. 17.

Гидромеханика

Гурбанов Р. С., Абдинов Э. Т. Изучение ламинарного течения жидкостей в трубах и каналах произвольного сечения с помощью теории функций комплексного переменного, № 3, с. 37.

Джалилов К. И., Мехманов Р. К. Движение реального газа в глинистых пластах с учетом релаксации, № 11, с. 57.

Кибернетика

Абасов Т. М. Об отыскании седловых точек, № 1, с. 15.

Абасов Т. М. Двойственность в задачах отыскания седловых точек, № 6, с. 8.

Алиев И. М. Алгоритм повышения эффективности элементов авиакосмических и наземных информационно-измерительных систем, № 2, с. 12.

Мамедов В. А. Аналитический метод определения полнооборотности выходного звена в пространственном кулисном механизме с входным шатуном, № 11, с. 16.

Мамедов М. Д., Ахмедов Ф. Т. Критерий композиции элементов в иерархическую структуру, № 11, с. 12.

Юсифзаде Т. А. Метод статистической координации функциональных параметров приемных устройств в радио диспетчерской сети нефтяных шахт, № 9, с. 15.

Юфин В. А., Мамедов А. И., Насибова Н. М. Численный метод расчета переходных процессов в магистральных нефтепроводах с учетом изменения напряжения сети, № 3, с. 17.

Астрономия

Гулиев А. С. К эруптивной концепции происхождения комет, № 10, с. 12.

Астрофизика

Джалилов Н. С., Рустамов К. А. Магнитно-гидродинамические волны в сильно неоднородной атмосфере с горизонтальным магнитным полем, № 8, с. 44.

Кули-заде Д. М., Гусейнов К. И. Кривая роста для солнца как звезды в приближении Шварцшильда—Шустера, № 9, с. 19.

Сейдов З. Ф., Сейдова П. И. Белые карлики и полигитроны, № 6, с. 25.

Физика полупроводников

Абдуллаев А. Г., Лебедев А. А., Талдыков Э. С., Джаярова Е. А. Глубокие уровни в кремнии, легированном никелем, № 7, с. 34.

Агаевердиева Т. Т., Аббасов Ш. М. Влияние радиационных дефектов на магнито-противление твердого раствора $Ge_{1-x}Si_x$, № 3, с. 23.

Агаев А. А., Насруллаев А. И., Рустамов Ф. А., Худакишиев И. А. Исследование мономорфизма жидкокристаллической системы каприлат калия + вода, № 5, с. 16.

Агаев Н. А., Аждаров Г. Х., Акперов М. А. Энергия ионизации и фактор вырождения нижнего акцепторного уровня никеля в твердых растворах германий—кремний, № 7, с. 17.

УКАЗАТЕЛЬ

статей, опубликованных в журнале «Доклады Академии наук Азербайджанской ССР» за 1987 г.

Математика

Абдуллаев А. И. Определение области допустимости вектора потребительской стоимости в недетерминированном случае, № 12, с. 3.

Акимов А. Б., Искендеров Б. А. Принципы излучения для уравнения Гельмгольца в слое с краевыми условиями типа Заремба, № 1, с. 8.

Алиев Р. М. Некоторые экстремальные задачи для квадратурных формул, № 6, с. 3.

Алиев Ф. А. О смешанной задаче для одного квазилинейного гиперболического уравнения, № 7, с. 6.

Гасымов М. Г., Каҳраманов А. Ш., Петросян С. К. К спектральной теории линейных дифференциальных операторов с разрывными коэффициентами, № 3, с. 13.

Гасымов М. Г., Магеррамов А. М. О единственности решения обратной задачи теории рассеяния для пучков обыкновенных дифференциальных операторов, № 8, с. 3.

Гейдаров А. Г. Условия самосопряженности эллиптических операторов высокого порядка с сингулярным потенциалом, № 3, с. 10.

Гулиев Р. Д., Мусаев Б. И. О сходимости кубатурной формулы для многомерного интеграла в некоторых классах функций, № 11, с. 3.

Джабраилов А. Д., Машев Р. А. Об индексе дифференциального оператора задачи Дирихле квазиэллиптического линейного уравнения с вырождением, № 10, с. 3.

Джабраилов А. Д., Абдуллаев Я. Ю. Предельная теорема о вложении весовых пространств функций со смешанными производными, № 11, с. 8.

Джалилов К. Ф. Задача Дирихле для неравномерно вырождающихся эллиптических уравнений в дивергентной форме, № 5, с. 8.

Искендерова М. Б. О суммируемости по Абелю разложений по собственным функциям дифференциальных пучков четвертого порядка, № 8, с. 11.

Исламов Ф. Р. К теории обратных задач для уравнения Штурма—Лиувилля с разрывными коэффициентами, № 10, с. 7.

Керимов А. А. Основные состояния модели Иэнги с бесконечным радиусом взаимодействия, № 7, с. 3.

Керимов Т. М. О показателе Гельдера решений задачи Зарембы в точке стыка граничных условий, № 5, с. 3.

Кулиев Г. Г. Определение прочности материалов в виде предельных значений механических свойств в зависимости от начальных напряжений, № 5, с. 12.

Мамедов Ю. А. Решение одной смешанной задачи из вязко-упругости, № 2, с. 3.

Мирзоев В. М. О граничных и начальных значениях решений параболического уравнения второго порядка с разрывными коэффициентами, № 8, с. 7.

Максудов Ф. Г., Аллахвердиев Б. П. Спектральный анализ полиномиальных операторных пучков с непрерывно-точечным спектром, № 1, с. 3.

Намазов Г. К., Искендеров И. Т. Энергетическая оценка решения краевой задачи для сильно связанных систем нелинейных псевдопараболических уравнений, № 1, с. 12.

Нгун Конг Хоан. Линейная дифференциальная игра многих лиц с общими интегральными ограничениями, № 2, с. 8.

Ноорузов А. А., Гусейнов Ф. М. О граничных свойствах решений эллиптических уравнений 2-го порядка, № 9, с. 3.

Садыгов М. А. Существование Минимизирующих обобщенных и приближенных решений, № 9, с. 7.

Шахмурев В. Б., Годжаев Э. М. Коэрцитивные краевые задачи вырождающихся дифференциально-операторных уравнений в полупространстве, № 3, с. 6.

Шахвердиев В. М. Линейные агрегаты приближения непрерывных функций в весовых пространствах, № 3, с. 3.

- Азизов Т. Х., Тагиев Б. Г., Гусейнов А. Г., Кулешев А. А. Инжекционные токи в монокристаллах, № 8, с. 31.
- Акперов М. М. Об учете тепловой нагрузки в термоэлектрических преобразованиях информации, № 8, с. 36.
- Аллахвердиев К. Р., Аббасов Ш. М., Агаевская Г. Т., Тагиев Т. Б. Влияние иона, котемпературного облучения на фотопроводимость монокристаллов твердого раствора $n\text{-Ce}_{1-x}\text{Si}_x$, № 12, с. 12.
- Аллахвердиев К. Р., Алиев Р. А., Бабаев С. С., Гусейнов С. С., Тагиев М. М., Ширинов М. М. Длинноволновая ИК—спектроскопия высокого разрешения слоистых кристаллов $\text{A}^3\text{B}^3\text{C}^6_2$, № 11, с. 21.
- Алджанов М. А., Гусейнов Н. Г., Гусейнов Д. А., Мамедов З. Н. Тепловое расширение TlFeS_2 , № 9, с. 29.
- Алджанов М. А., Гусейнов Н. Г., Мамедов З. Н., Абдурагимов А. А. Темпелоемкость смешанных кристаллов, № 8, с. 23.
- Алекперов Г. А., Велиолин Э. И., Гусейнов Э. К., Каджар Ч. О., Рустамбеков Б. М. Дефектность поверхности кристаллов $\text{Gd}_x\text{Hg}_{1-x}\text{Te}$, № 8, с. 28.
- Алекперов С. А., Каджар Ч. О., Кенгерли Д. Ф. Геометрическое магнетосопротивление и $1/f$ шум в InSb , № 4, с. 16.
- Алиев М. И., Джаяфаров М. А., Халирова А. А. Теплопроводность твердых растворов $\text{InSb}-\text{In}_2\text{Te}_3$, № 8, с. 19.
- Алиев В. А., Гусейнов Г. Д., Чапанова Л. М., Кодин В. В. О низкотемпературном термическом расширении AgInSe_2 , № 2, с. 33.
- Алиев М. И., Араслы Д. Г., Рагимов Р. Н. Температуропроводность AgGeTe_6 , Ag_2GeSe_6 , Ag_2SnSe_6 , № 7, с. 14.
- Алиев М. И., Халилов Х. А., Ибрагимов Г. Б. Поглощение света свободными носителями в твердых растворах $\text{Ga}_{1-x}\text{In}_x\text{As}(x=0.05)$, № 4, с. 12.
- Аскеров И. М., Каджар Ч. О., Мамедбейли И. А. Воздействие оптического излучения на ЭОП свойства $\text{GaAs}(\text{Cr})$, № 7, с. 26.
- Байдаров Б. Х., Гезалов Х. Б., Самедов Э. А. Влияние свободных носителей на комбинированное рассеяние света $\text{LO}(\Gamma)$ —фононами в кристаллах теллурида кадмия, № 9, с. 24.
- Велиев З. А., Гасымов Т. М., Кошарли Ф. К. Термодинамические характеристики двумерного электронного газа в квантующем магнитном поле, № 11, с. 25.
- Гаджиев Я. М., Гусейнов Б. А., Мехтизаде Р. Н., Сафаров З. Б. Фотопроводимость $\text{Me}-\text{SiO}_2-\text{GaSe}$ структур, № 2, с. 25.
- Гусейнов Г. Д., Алиев В. А., Багирзаде Э. Ф., Годжаев М. М., Исмаилзаде Л. А. Фотоэлектрические свойства монокристаллов двойного изовалентного замещения $\text{Tl}(\text{GaSe})_x(\text{InSb})_{1-x}$, № 6, с. 17.
- Джафаров Э. О., Голикова О. А. Электрические свойства некоторых фаз внедрения на основе β -ромбозидрического бора, № 4, с. 18.
- Зейналлы А. Х., Агаев Г. У., Лебедева Н. Н. Токи монополярной инжекции в германии, легированном медью, № 3, с. 20.
- Исмаилов Н. М., Курбанов Э. М., Ахундов З. С. Механизм рассеивания электронов в соединении $\gamma = \text{In}_2\text{S}_3$, № 10, с. 16.
- Исмаилов Н. А., Курбанова Э. И., Джалилова Х. Д., Гусейнов Э. К. Механизмы прохождения фототока в выпрямляющем контакте $\text{Cu}(\text{Ag})-\text{Cd}_x\text{Hg}_{1-x}\text{Te}$, № 4, с. 21.
- Казым-заде А. Г., Баукин И. С., Байдаров Я. А., Тагиров В. И. Координатно-чувствительные фотоэлементы на основе гетеропереходов $\text{InSe}-\text{GaSe}$, № 2, с. 30.
- Мамедов В. К., Сулейманов Н. З., Гусейнов Э. К., Салаев Эль. Ю., Абдинов А. Ш. Влияние γ -облучения на электрические и фотоэлектрические свойства $\text{Sn}-\text{n}-\text{CuInSe}_2$ барьера структур, № 7, с. 22.
- Мехтиев А. Ш., Галандаров Г. А., Рустамов Р. Б., Гасанов А. Г. Миграция $p-p$ -перехода в изоперидических гетероструктурах типа $p = \text{Pb}_{0.8}\text{Sn}_{0.2}\text{Te}-n = \text{PbSe}_{1-x}\text{Te}_x$, № 10, с. 19.
- Михеева М. М., Заславский Б. Ю., Рогожин С. В., Махмудов А. У., Гараев Э. С., Алечко Ю. П.-Ожевский. Близкая гидратация и распределение галогенидов щелочных металлов в двухфазной системе фиоллдекстрап—вода, № 12, с. 7.
- Нуриев И. Р., Набиев Р. Н. Фоточувствительные $p-n$ -переходы на основе эпитакальных пленок, № 2, с. 21.
- Пашабекова У. С. Поляроид седловой точки, № 5, с. 26.
- Семилетов С. А., Сулейманов Н. А., Караваев С. М., Нуриев И. Р. Определение длины экранирования Дебая из проводимости пленок PbTe , выращенных на подложках ZINbO_3 , № 7, с. 30.
- Султанов Г. Д., Гусейнов Д. Т., Велиев Р. К. Ядерное гаммаизлучение исследование CdGaInSi , № 2, с. 36.

Тагиров В. И., Гахраманов Н. Ф., Керимов В. М., Мамедов А. А. Электронографические исследования формирования тонких пленок $\text{Cu}_2\text{Ga}_3\text{Se}_9$, № 7, с. 39.

Алиев М. И., Халилов Х. А., Ибрагимов Г. Б., Рашидов Ш. Ш. Влияние разупорядоченности на кинетические явления в кристалле $\text{In}_x\text{Ga}_{1-x}\text{As}$, № 1, с. 19.

Шафизаде Р. Б., Касумов А. М. Особенности взаимодействия $\text{As}_2\text{S}_3\text{CaG}$ в условиях электролюминесцентной ячейки, № 5, с. 21.

Шахтахтинский М. Г., Мамедов А. И., Рамазанов М. А., Кулев М. М., Курбаниев М. Ф., Алиев Н. Н. Влияние термообработки и способа поляризации на пьезоэлектрические свойства композиции, № 6, с. 21.

Физика магнитных явлений

Алиев М. Н. Теория электронного парамагнитного резонанса в полумагнитных полупроводниках, № 8, с. 40.

Гусейнов Н. Г., Сеидов Ю. М., Шукюров А. С., Гусейнов М. Б. Слабый ферромагнетизм, обусловленный примесью замещения, № 3, с. 26.

Султанов Г. Д., Гусейнов Г. Д., Ибрагимов С. Г., Шукюров А. С. Асимметрия линий квадрупольного расщепления в ЯГР-спектрах TlFeS_2 , № 12, с. 16.

Физика твердого тела

Гашимзаде Ф. М., Гусейнова Д. А., Мамедов А. М., Оруджев Г. С., Кулибеков А. М. Зонная структура орторомбических кристаллов типа A^4B^6 в однослоиной модели, № 10, с. 25.

Султанов Г. Д., Гусейнов Г. Д., Ибрагимов С. Г. Комбинированные магнитное и электрическое сверхтонкие взаимодействия в TlFeS_2 и TlFeSe_2 , № 10, с. 22.

Шахтахтинский М. Г., Мамедов А. И., Гарашова А. А., Курбанов М. А., Газарян Ю. Н. Пьезорезистивный эффект в композициях типа полимер—полупроводник, № 7, с. 44.

Теоретическая физика

Атакишев Н. М., Померанц М. С. Флюксоны в джозефсоновском переходе конечной длины с одной микронеоднородностью, № 7, с. 49.

Гаджиев С. А., Джаяфаров Р. К. О генерировании траекторий Редже при решении уравнения Бете-Солитера для амплитуды рассеяния вперед, № 1, с. 34.

Мухтаров А. И., Абдулаев С. К., Алиев Л. П. Радиационное рождение скалярных фермионов $\text{Be}-e^-$ —аннигиляции в рамках различных калибровочных моделей, № 12, с. 20.

Физика жидкких кристаллов

Аббас-заде А. А., Хатаевич В. И., Рустамова Г. З. Влияние температуры и электрического поля на антические характеристики некоторых гомологов ряда n -н-алкоксибензойной кислоты, № 11, с. 30.

Аббас-заде А. А., Хатаевич В. И. Термоэлектрооптические эффекты с памятью в смесительной А-фазе жидкких кристаллов, № 1, с. 29.

Геофизика

Горчев А. А., Рафиев Р. М., Агаев Т. Д. Методы определения фоновых значений концентрации вредных примесей в атмосфере для оценки экологической нагрузки на окружающую природную среду, № 5, с. 42.

Шихалибейли Э., Бабаев Д. Х., Пишинамазов А. А. Новые данные о геологическом строении северной части Среднего Каспия, № 3, с. 43.

Физическая химия

Аббасов А. С., Аскерова К. А., Алиев И. Я., Алиева Н. А. Термодинамические свойства $\text{Cu}_2\text{S}-\text{GeS}_2$ и CuGeS_2 , № 1, с. 45.

Абильбаев Т. С., Данг Суан Хай, Алиев Р. Э., Сарванова Н. Н., Ахмедов Р. М. ИК-спектры и нормальные колебания конформационных изомеров молекул β -изопропиламинообутирионитрила (β -ИПАБН) и β -изопропиламиноизобутирионитрила (β -ИПАИБН), № 1, с. 22.

Гарифов А. А., Гезалов Х. Б., Джаяфаров Я. Д., Керимов М. К., Гасанов А. М., Мамедов А. Б. Исследование радиационных дефектов в $\text{Me}^{2+}-\text{SiO}_3$ методом ЭПР, № 3, с. 30.

Гафаров Ш. А., Шугаев В. Ф., Гасанов А. И. Исследования спиртовых растворов 12-гетерополикислот вольфрама методом ПМР, № 7, с. 54.

Гезалов Х. Б., Гасанов А. М., Абдуллаева Х. И. Изучение влияния электрического разряда на B_2O_3 методом ЭПР, № 8, с. 63.

Дадашев Б. А., Агаева С. Б., Меджидов А. А., Гасымов Б. А., Сарыджанов А. А., Кожарин В. Ф. Спектрофотометрическое определение электронно-акцепторных центров корденинных катализаторов и взаимосвязь их с активностью в реакции изомеризации H -пентана, № 3, с. 33.

Дадашев Б. А., Новрузов О. И., Гасымов Б. А., Меджидов А. А., Джавадова К. Г., Сеидраева М. М. Влияние содержания и степени восстановления палладия на магнитные свойства и активность Рд-цеолитных катализаторов в реакции изомеризации H -парафиновых углеводородов C_5-C_7 , № 1, с. 47.

Кашкай А. М., Касаукина О. Т. Особенности ингибирующего действия полифенолсульфидов при окислении β-каротина, № 1, с. 55.

Мустафаев Ф. М., Аббасов А. С., Алиев И. Я. Термодинамическое исследование твердых фаз в системе Cu_2S-SnS_2 , № 1, с. 51.

Наги-заде П. С. Общий принцип химической кинетики (ОПХК), № 8, с. 68.

Рустамов М. И., Новрузов О. И., Сеидраева М. М., Ализаде Ф. М. Магнетохимические свойства цеолитсодержащих никель — алюмосиликатных катализаторов, № 2, с. 39.

Салаева З. Ч., Алиев Р. М., Камбаров Ю. Г., Папиян Т. Г., Краснов В. И., Халикова Д. Х. Термодинамический анализ процесса переалкилирования — гидрокрекинга ароматических концентратов C_7-C_{10} , № 12, с. 28.

Тагиев Д. Б. Исследование узкопористых цеолитов, содержащих переходные элементы методом РФЭС, № 4, с. 29.

Органическая химия

Алиев Р. Э., Исмайлова Я. Т. Конформационный анализ макромолекулы пепестатина, № 12, с. 25.

Ахмедов Ш. Т., Курбанов С. Б., Гольяхмедов Л. М., Курбанова Г. С. Смешанная конденсация α, β-эпоксикетонов с альдегидами, № 9, с. 40.

Гаджиев Г. Г., Касумов Ф. Х., Сейидов М. А., Рагимов А. В. Исследование структуры олигоациллина, № 8, с. 50.

Зейналов Б. К., Сарыева С. А., Шагидов Э. И., Исмайлова И. И. Эфиры салициловой кислоты в качестве пластификатора ацетобутират — и этилцеллюлозы, № 4, с. 25.

Кязимова Т. Г., Смоляр А. Е., Шахтахтинский Т. Н. Квантохимическая интерпретация реакционной способности аллиловых эфиров галоидуксусных кислот, № 10, с. 30.

Кязимова Т. Г., Шахтахтинский Т. Н. Комплексообразование аллиловых эфиров замещенных бензойных кислот с гексахлорцикlopентадиеном, № 9, с. 37.

Мустафаев А. М., Гусейнов М. М., Имамалеев А. Б. Полибромцикlopентадиены в реакции дисенового синтеза, № 6, с. 33.

Рагимов А. В., Ахмедов А. И., Гаджиев Г. Г., Касумов Ф. Х. Окисление анилина при различных значениях pH-среды, № 8, с. 56.

Рустамов К. М., Султанов Р. А., Сарыев Г. А., Мамедова Р. И., Султанова М. Ш. Кремнийтрилы бициклического ряда, № 6, с. 39.

Салахова Р. С., Мамедов Э. Ш., Гаджиева Т. М. Влияние природы заместителя на термическую стабильность N-замещенных циклических имидов двухосновных кислот, № 5, с. 34.

Садыхов Э. Г., Гасанов Р. Г., Гусейнов М. М. Относительная реакционная способность M (CO_6) (M = Ст, Мо, W) в присоединении OC_4 к гексену-1, № 5, с. 29.

Султанов Р. А., Рустамов К. М. Силоксансодержащие динитрилы, № 2, с. 44.

Тедмурова Р. А., Гусейнов М. М., Джабаров Д. С., Карабаев С. Ф. Синтез и превращения 1-метил-1-пропаргилоксициклогексана, № 9, с. 33.

Хайдаров Д. Н., Арабов А. К., Липушкина Н. В., Гасанова М. М., Бабаханов Р. А. Синтез и гербицидная активность N-метилкарбамольных производных 2-оксиэтилового эфира 2,4-дихлораксанкарбоновых кислот, № 1, с. 38.

Шахельдиев М. А., Шамхалов Р. М., Горячев В. В. О природе «активных алкирирующих форм», в реакциях аквирования в присутствии протонных кислот, № 6, с. 29.

Неорганическая химия

Алиева О. Ф., Алиев О. М., Рустамов П. Г., Максудова Т. Ф. Система $Sm_6Ga_{10/3}S_{14}-Nd_6Ga_{10/3}S_{14}$ и фоновые спектры моноокристаллов $Nd_{6-x}Sm_xGa_{10/3}S_{14}$, № 9, с. 46.

Алиев О. А., Рустамов П. Г., Аллахвердиев Х. М. Фазообразование в системе $Nd_2O_3-Fe_2O_3-B_2O_3$ при $1050^{\circ}C$, № 8, с. 61.

Рустамов П. Г., Агаев А. Б., Гусейнова Г. А., Аббасова Р. Ф. Термодинамические свойства E и $InTe_9$, № 10, с. 34.

Рустамов П. Г., Асадова С. Ю., Аллазов М. Р., Мовсум-заде А. А. Взаимодействие CO_3Sn_2 с теллуром, № 6, с. 43.

Рустамов П. Г., Курбанова Р. Д., Мовсум-заде А. А. Исследование тройной системы Sn—Sb—S по разрезу $SnS_2-Sb_2S_3$, № 1, с. 42.

Химия полимеров

Наибова Т. М., Билалов Я. М., Рагимов А. В., Абдуллаев Я. Г., Агакишиева М. А., Ризаев Р. Г. Исследование модификации фенолформальдегидных олигомеров бензоагуанином, № 6, с. 52.

Рагимов А. В., Бекташи Н. Р., Курбанова Р. А., Асланов К. А. О механизме реакции полимеризации эпихлоргидрина в избытке толуола, № 10, с. 37.

Химия высокомолекулярных соединений

Буннат-заде А. А., Булатникова Э. Л., Сулейманова Н. В., Плакунов Т. К. Синтез исследование молекулярно-массовых и других характеристик сополимеров этилена с гексеном-1, № 5, с. 38.

Химическая физика

Талал А. Я., Алиев И. Г., Багиров Р. М., Раев З. М. Эффект мессбауэра в новых хлор- и оловоорганических дикарбоксилатах, № 6, с. 47.

Нейрохимия

Ибрагимов Р. Ш., Ковач Г., Сабо Дж., Рзазаде Э. М., Телегди Т. Участие лимбических окситоцинсодержащих структур мозга в процессах самостимуляции герона, № 9, с. 64.

Химическая технология

Гусейнов Н. М., Абаскулиев Д. А. Химические инварианты для систем реакции и диффузия в пористом зерне катализатора, № 12, с. 34.

Кельбалиев Г. И., Носенко Л. В. Образование и отложение кокса в трубчатых печах селективной очистки масел, № 11, с. 39.

Геология

Мехтиев Ш. Ф., Халилов Э. Н. О периодичности вулканической активности, № 11, с. 35.

Тамразян Г. П. Общепланетарное полукольцо концентрации крупнейших угольных бассейнов мира, № 12, с. 44.

Тер-Каррапетянц Ж. Н. Влияние тектонической напряженности структуры на изменение плотности нефти, № 3, с. 47.

Инженерная геология

Алиев Ф. С. Литофаunalный анализ грунтов дна Каспия в связи с условиями их формирования, № 10, с. 46.

Алиев Ф. С., Яхъяев Р. Ю. О деформационных свойствах глинистых пород Ашшорского яруса и Бакинского горизонта, связанных с изменением напряженного состояния массива при вскрытии его горными выработками метро, № 4, с. 43.

Геология нефти

Зейналова К. С. О глубокогруженных залежах углеводородов в Нижнекуринской впадине, № 3, с. 53.

Салаев С. Г., Авербух Б. М., Чиковани Э. В., Исмаил-заде Н. М. Классификация выявленных и прогноз ожидаемых ловушек нефти и газа в палеогеновых отложениях западного Азербайджана, № 11, с. 40.

Самедов С. С., Алиев Т. Р. Литофаunalные особенности и нефтегазоносность VIII горизонта КТ месторождений прибалханскои зоны морских поднятий, № 11, с. 49.

Эфендиеев А. А. О характере изменения мощности и песчанистости майкопской свиты в центральном и западном Азербайджане в связи с нефтегазоносностью, № 11, с. 44.

Стратиграфия и палеонтология

- Аббасов А. Комплексы радиолярий сеномана юго-востока Большого Кавказа, № 10, с. 41.
Алиев Р. А. Находки верхнемеловых аммонитов в Азербайджане, № 12, с. 53.
Али-заде А., Бабаев Ш. А. О применении метода главных компонент при изучении алтекских и альбских неогиболовитов Азербайджана, № 5, с. 52.
Алиюлла Х. К применению ярусного подразделения в разрезах эоценов Нахичеванской АССР, № 10, с. 54.
Гамзаев Г. А., Бирюкова Л. Н. Об экологии сантон-кампанийских брахиопод восточной части Малого Кавказа, № 4, с. 53.
Джафарова Ж. Д. Новый вид рода в Акчагыльских отложениях Ашхеронского полуострова, № 2, с. 56.
Мамедова Л. Д. Расчленение миоценовых отложений р. Туркчай, № 6, с. 79.
Султанов К. М., Алиева Э. Г.-М. Математическое моделирование процессов формирования морфологии скелетов моллюсков дидакина, № 4, с. 48.
Шихалибейли Э. Ш., Аллахвердиеv Г. И., Насибов Т. Н. К вопросу выделения отложений карбона на СВ склоне Малого Кавказа, № 9, с. 55.

Разработка

- Таиров Н. Д., Керимова Ф. Г., Барякина М. А. Взаимовытеснение углеводородных жидкостей и вод в щелях в отсутствие гидродинамического перепада давления на концах модели, № 2, с. 48.
Таиров Н. Д., Кульев А. М., Гусейнов М. Ф. Влияние ультразвукового воздействия на капиллярное вытеснение углеводородной жидкости из пористой среды, № 6, с. 69.

Геохимия

- Галант Ю. Б. К соотношению масштабов генерации магматических и осадочно-метаморфогенных газов Большого Кавказа, № 7, с. 64.
Дадашев А. М., Мамедова С. А., Севдимова Е. Д. О газообильности сульфидных месторождений южного склона Большого Кавказа, № 11, с. 54.
Махмудов Х. И., Мамедова С. Ф. Вакуоли в вулканических стеклах и процесс минерализации в них, № 6, с. 57.
Гулиев И. С., Галант Ю. Б., Жукова Т. А. Газовая фаза пород, вскрытых дублером Саатлинской сверхглубокой скважины, № 1, с. 59.

Бурение

- Минасян Р. С., Абдуллаев Т. Б., Шиндагоридзе Г. Ш. К задаче напряженного состояния обсадной колонны, № 11, с. 61.

Разработка нефтяных месторождений

- Белов И. С. Тепловое воздействие на пласти с остаточной нефтью в условиях гравитационного режима, № 1, с. 62.

Разработка месторождений нефти и газа

- Абасов М. Т., Азимов Э. Х. К методике обработки индикаторных линий скважин, № 4, с. 33.

Химия и геохимия нефти

- Багир-заде Ф. М., Бабаев Ф. Р., Амзоян З. Г. Генетические особенности нефтей Ашхеронской нефтегазоносности области и месторождений Бакинского архипелага, № 6, с. 63.

Геотектоника

- Григорьянц Б. В., Гулиев И. С. Обратные соотношения в складчатой структуре разновозрастных формационных комплексов отложений и возможные причины их возникновения (на примере Южно-Каспийской впадины), № 8, с. 72.

Геотермия

- Мехтиев Ш. Ф., Алиев С. А., Гейдаров А. С., Мухтаров А. Ш. Радиогенное теплоизделие мезо-кайнозойских отложений Кюрдамирского гравитационного выступа, № 5, с. 48.

Петрография

- Багиров А. Э., Засеев В. Г. Пространственные петрохимические тренды в палеогеновых магматических образованиях Нахичевани, № 7, с. 59.

Вулканология

- Шафиев Х. Н. Сапонит из верхнемеловой вулканогенной толщи Агджакендского прогиба (Малый Кавказ), № 10, с. 51.

Полезные ископаемые

- Махмудов А. И., Пирисев А. С., Багирова С. Н., Исмаил-заде Т. Т., Малумян И. М., Адилов Т. А. Новые минералы медно-порфировых руд Кедабекского района Малого Кавказа, № 11, с. 66.

Рудные месторождения

- Агадалиев Дж. А., Бабаев И. А. Метасоматические прожилки алюнита и физико-химические условия их формирования (Кедабекский рудный район, Малый Кавказ), № 4, с. 38.

Палеогеоморфология

- Мамедов А. В., Ширинов Н. Ш., Исмаилов К. А. Палеорельеф территории Азербайджана в среднем полицене, № 9, с. 59.

Гидротехника

- Гюльхамедов А. Н., Агаев Т. М. Эффективность пыскорневой подкормки, растворами солей микроэлементов на урожайность сена ячменя, № 2, с. 60.

- Теймурев Т. К. О расчете безнапорных водоводов прямоугольного сечения с переменным по длине расходом, № 2, с. 52.

Почвоведение

- Агаев Н. А. Закономерности распределения кобальта в ландшафтах Малого Кавказа Азербайджанской ССР, № 11, с. 77.

- Агаев Н. А. К биогеохимии меди и молибдена в ландшафтах Малого Кавказа Азербайджанской ССР, № 8, с. 77.

- Салаев М. Э., Мамедов Т. А. Качественный состав структуры почвенного покрова Азербайджанской ССР, № 5, с. 64.

Мелиорация почв

- Теймурев Т. К. Отстойник с секционной промывкой конструкции АзНИИГИМ, № 7, с. 71.

Лесное почвоведение

- Алиев Г. А., Аллахвердиев Г. Р. Об антропогенном влиянии на почвы и почвообразование в аридных редколесьях Аджиноура, № 8, с. 82.

Ландшафтovedение бонитировка ландшафтов

- Будагов Б. А., Мамедов Г. Ш. Бонитировка типов ландшафтов Азербайджанской ССР, № 7, с. 67.

Агрономия

- Гюльхамедов А. Н., Агаев Н. А., Агаева Т. М. Влияние микроэлементов на урожай кукурузы в условиях подгорной равнины Карабахской степи, № 10, с. 60.

Гидрогеология

- Алимов А. К., Майлов Г. Ю. К вопросу дентификации математической одномерной модели влагопереноса при расчете инфильтрационного питания и испарения грунтовых вод, № 10, с. 56.

Охрана природы

- Бабаев И. С., Мехтиев У. Ш., Джадаров З. С. Технологические особенности двухстадийного осаждения взвешенных веществ высокомутных природных вод, № 12, с. 56.
Исмайлов Д. Н., Юсифов Д. Е., Мустафаев Н. Т. Рекультивация использованных земель при горно-рудных работах, № 12, с. 60.

Минералогия глин

- Сейдов А. Г., Хеиров М. Б. Об устойчивости монтмориллонита и каолинита в повышенных термобарических условиях, № 6, с. 73.

Ботаника

- Велиев Ф. И. О типе народного жилища «Дурма», № 12, с. 72.
Гаджиев В. Д., Ахундов Г. Ф. Ботанико-географическое районирование Азербайджана, № 2, с. 72.
Гусейнова Н. А. Эмбриологическое исследование басмы красильной в условиях Ашхерона, № 4, с. 62.
Мамедов А. И., Мамедов Н. А. Новые адвентивные виды растений Ашхерона, № 12, с. 68.

Прикладная ботаника

- Мустафаева И. О., Касумов М. А., Абдуллаев З. Г. Желтый краситель для пищевой и текстильной промышленности, № 11, с. 72.

Биохимия

- Гаджиева Т. Г., Мамедов С. Ш. Некоторые биохимические показатели видов лоха, № 9, с. 52.

Микробиология

- Мамедъяров М. А., Мамедова Ж. М., Синицын А. П. Эффективность ферментативного гидролиза целлюлозосодержащих отходов виноградарства и структурное состояние субстрата, № 9, с. 72.

Гидробиология

- Касымов А. Г., Халилов А. Р., Ахмедов И. А. Гидробиологическая характеристика Средней Куры, № 12, с. 47.

Физиология и биохимия грибов

- Ганбаров Х. Г., Мурадов П. З., Мамедова Ш. А. Протеолитическая активность дереворазрушающих базидиальных грибов рода *Bjerkandera Karst.*, № 10, с. 64.

Физиология растений

- Мамедов З. И. Содержание хлорофилла в листьях гибридов пшеницы, № 3, с. 62.
Микаилов М. А., Сафарова Э. С. Влияние физического мутагена на рост и развитие кустов хны, № 4, с. 66.

Зоология позвоночных

- Султанов Э. Г. Зоogeографический анализ видов птиц на основе их вокальных характеристик, № 9, с. 68.

Физиология животных

- Тагиев Ш. К., Чугунова С. Н. Проекции висцеромоторного ядра блуждающего в габенулярный ганглий промежуточного мозга бесхвостых амфибий, № 6, с. 83.

Биогеохимия

- Ализаде А., Мамедализаде А. М., Гамзаев Г. А., Бирюкова Л. Н. О связи содержания магния со структурой раковин морских беспозвоночных, № 9, с. 49.

Паразитология

- Ибрагимов Ш. Р. Зоogeографический анализ паразитофауны сельдевых рыб Каспийского моря, № 2, с. 68.
Ибрагимов Ш. Р. Паразитологические простейшие рыб Малого Кызылагачского залива Каспийского моря, № 12 с. 64.

Генетика

- Алиев А. А., Алекперов У. К., Шехтман А. Б., Гамзаева И. А., Лурье Л. М., Асадова А. И., Габади Н. С., Раигимова Г. К. Специфическая чувствительность генетического аппарата хронически облученных линейных мышей к воздействию различных мутагенов и универсальный защитный эффект а-токоферола, № 4, с. 58.

- Ахундова Э. М. Температура плавления и нуклеотидный состав ДНК диплоидных и полиплоидных сортов и форм шелковицы, № 9, с. 58.

Цитогенетика

- Мустафаева И. А., Фаттаев М. Д., Ахундова М. Д., Сафаров Ю. И. Хромосомные нарушения при раке матки, № 3, с. 65.

Физиология человека и животных

- Гасанов Г. Г., Меликов Э. М., Алиев К. О. Влияниеmonoаминоной микроаппикации на формирование гиппокампального тетрагритма кошек, № 2, с. 64.

Медицина

- Асадуллаев Т. А. Молекуляро-биологическая и вирусологическая характеристика гриппозной инфекции в непермиссивных клетках, № 5, с. 56.

- Гасанов Г. Г., Аллахвердиев А. Р., Молла-заде Н. З., Мовсумов Н. Т. Сравнительный анализ вегетативных показателей в процессе естественного ночного сна в норме и при неврозах у детей и подростков 7—14 лет, № 5, с. 60.

Экспериментальная терапия

- Мамедов Я. Д., Гараев Г. Ш., Гаджибеков И. Т., Мамедов Ш. А. Динамика развития острой коронарной недостаточности под влиянием комплекса террилитин-никотиновой кислоты, № 1, с. 66.

Литературоведение

- Аллахъяров К. Г. Происхождение и сущность редифа в азербайджанской поэзии, № 1, с. 69.

- Гусейнов Х. М. Дата рождения и смерти Мехсети Генджеви, № 4, с. 73.

- Джалиль-заде Э. А. Неизвестное письмо М. Ф. Ахундова, № 9, с. 78.

- Кулиев В. М. М. Ф. Ахундов и русский военный историк Н. Ф. Дубровин, № 10, с. 72.

- Магеррамов Тахир. Новые рукописи «Хамсэ» и «Диваон» Ашрафа Мараган, № 10, с. 76.

- Мамедов Алхан. Кто был «Мирза Бисавад?», № 11, с. 82.

- Рзаев А. К. Об одной рукописи Мирзы Казем-Бека, № 7, с. 82.

Языкознание

- Алекперова Э. Р. Речевые функции антропонимов в русских произведениях современных азербайджанских писателей, № 9, с. 83.

- Аллахвердиев Э. М. Способы передачи фразеологических словосочетаний при переводе произведений М. Горького, № 3, с. 73.

- Ахмедов М. Дж. Глагольно-именное спряжение и устойчивые глагольные словосочетания, № 4, с. 81.

- Пинес В. Я. О некоторых текстовых функциях видовременных форм азербайджанского глагола, № 9, с. 87.

Лингвистика

- Мамедов Э. Э. Типология в фонологии: синтагматический аспект, № 2, с. 76.

Терминология

Новрузова С. И. Передача русско-интернациональных префиксальных терминов на азербайджанском языке, № 2, с. 81.

Топонимика

Нуриев Э. Б. О происхождении названия Варташен и Куткашен, № 2, с. 78.

Востоковедение

- Алескерова Т., Садыгова Дж. Единственная и полная рукопись Хубейша Тифлиси «Камил ал-Табир» в СССР, № 7, с. 75.
- Кязимов М. Д. О рукописи малоизвестного подражания на «Хафт пейкар» Низами, № 4, с. 70.
- Мамедов Г. М. Сведения об Азербайджане в географическом сочинении Мехмеда Ашика «Маназир ал-Авалим», № 7, с. 80.

Архитектура

Салаев Р. Д. Кахризные водопроводы города Нахичевани, № 5, с. 68.

Искусство

Джеваншир И. Металлические ворота ханской мечети города Шеки, № 12, с. 76.

Музика

- Ахмед Исазаде. Из истории записи азербайджанской народной музыки, № 8, с. 89.
- Мансуров Э. Б. Жайр «Сагинам» в азербайджанской музыке, № 8, с. 92.

История

- Алиев К. Три знака: дешифровка и интерпретация, № 6, с. 88.
- Гаджиев И. И., Нуралиев Ч. Г. Крепость у селения Ерфи Кубинского района, № 10, с. 68.

Археология

- Бахшалиев В. Б., Селимханов И. Р. О змеевидных браслетах из сел Шахтахты и Карабаглар в Нахичеванской АССР, № 11, с. 89.
- Гаджиев Г., Эфендиева З. Об одном стеклянном сосуде из Шабрана, № 11, с. 85.
- Гадиров Ф. В. Еще раз о датировке оборонительных стен Қабалы (Калы), № 8, с. 86.
- Гадиров Ф. В. Об улицах, открытых на территории Қабалы, № 5, с. 73.
- Джафаров Г. Ф. Новые данные о древних связях Азербайджана со странами Ближнего Востока, № 6, с. 96.
- Достиев Т. М. Одна из групп штампованный керамики северо-восточного Азербайджана, № 6, с. 92.

Этнография

- Гулиев Г. А., Гулиева Ш. Г. К вопросу института аксакальства в Азербайджане, № 4, с. 77.
- Саилов Б. С. Этнокультурные аспекты исследования городского образа жизни (к постановке проблемы), № 3, с. 70.
- Салимов Т. Г. (Шагани). К вопросу об обрядах «Атальчества» и наречения в дистане «Китаби Деде Коркут», № 1, с. 73.
- Эфендиева Р. П. О пережитках некоторых донесламских верований в погребальных обрядах азербайджанцев, № 5, с. 78.

МУНДЭРИЧАТ

Ријазијјат

А. И. Абдуллајев. Детермина олмајан һал үчүн истейлак дәјәри векторунук нүмкүн һәлләр областынын тә'чиши 3

Жарымкечиричиләр физикасы

- | | |
|---|----|
| <i>Л. М. Михејева, Б. І. Заславски, С. В. Рогожин, А. У. Мамудов, Е. С. Гаравјев, Ј. П. Алешко-Ожевски. Һидратасыја вә тәләви һаллокенеләрни икифазалы фиколл-декстра-су системаләрниң пајланмасы</i> | 7 |
| <i>К. Р. Алланвердијев, Ш. М. Аббасов, К. Т. Агадердијева, Т. Б. Тагијев. Аллагә температурда электрон шулаланмасының монокристалларының фотокечирицилүүн тә'сири</i> | 12 |

Магнит һадисәләрнин физикасы

- | | |
|--|----|
| <i>Г. Ч. Султанов, Й. Ч. Йүсејнов, С. Р. Ибраһимов, Э. С. Шүкүров. TiFeS₂-нин нүвә-гамма резонаанс спектрләрниң квадрупол айрылма хәтләрнин асиметриклији</i> | 16 |
|--|----|

Теоретик физика

- | | |
|--|----|
| <i>А. И. Мухтаров, С. Г. Абдуллајев, Л. П. Элијев. Мүхтәлиф калибрләнүү моделләрниң e⁻ e⁺-ашиянијасы заманы скалјар фермионларын редиасија дөгулмасы</i> | 20 |
|--|----|

Үзүү кимја

- | | |
|--|----|
| <i>Р. Э. Элијев, Ј. Т. Исмајилов. Пенстатин молекулунун конформасија анализи</i> | 25 |
|--|----|

Физики кимја

- | | |
|---|----|
| <i>З. Ч. Салајева, Р. М. Элијев, Ј. Г. Гембэрэв, Т. Г. Папијан, В. И. Красиков, Д. Х. Хаймова. Араматик концентратларының переалкилләшмә һидрокрекинг просесинин термодинамик анализи</i> | 28 |
|---|----|

Кимјөвү технолокија

- | | |
|--|----|
| <i>Н. М. Йүсејнов, Ч. А. Абасгулијев. Катализаторун масамалы дәнәләрниң реакција вә диффузија системи үчүн кимјөвү инвариантлар</i> | 34 |
| <i>Г. И. Қалбалијев, Л. В. Носенко. Јагларын селектив тәмизләнүүсү үчүн истифадә олунаш борулду собаларда коксун өмөлә қолмаси вә чәкиси</i> | 39 |

Кеолокија

- | | |
|--|----|
| <i>Г. П. Тамразјан. Дүйненин при даш көмүр һевзәләринин јерләшдирилмәсүү үмүмпланетар жарымнәлгеси</i> | 44 |
|--|----|

Һидробиологија

- | | |
|---|----|
| <i>Ә. Һ. Гасымов, Ә. Р. Хәлилов, И. Ә. Әхмәдов. Орта Құрун һидробиологи хүсусијәтләре</i> | 47 |
|---|----|

Палеонтологија

- | | |
|--|----|
| <i>Р. Э. Элијев. Азәрбајҹан Үст тәбашир аммонитләрин тапшытылары</i> | 53 |
|--|----|

91

Этраф мұнитин горумасы	
<i>Н. С. Бабаев, У. Ш. Мендиев, З. С. Чәфәров.</i> Іүкөк буданлыгы тәбии сұларың асыны маддәләрini икى стадијада чекдүрүлмесинин технологи хусусијәтләри	56
<i>Ч. И. Исмаїлов, Д. Е. Йусифов, Н. Т. Мустафаев.</i> Дағ-мәдән ишләри заманы позулмуш торнагларын рекультивасия олунмасы	60
Паразитология	
<i>Ш. Р. Ибраһимов.</i> Хәзәр дәниси Кичик Гызылагач көрфәзи балыгларының паразит ибтиданләри	64
Ботаника	
<i>А. И. Майлөв, Н. А. Мәмәдоев.</i> Абшеронуң яңи адентив биткиләри	68
Етнография	
<i>Ф. И. Вәлиев.</i> «Дурма» халг јашајыш сөни типи һағында	72
Ичәсәнәт	
<i>Наилә Чаваншир, Шәки Хан мәсцидинин дәмир гапысы Мәгаләләр көстәрчеси</i>	76 80

СОДЕРЖАНИЕ

Математика	
<i>А. И. Абдуллаев.</i> Определение области допустимости вектора потребительской стоимости в недетерминированном случае	3
Физика полупроводников	
<i>Л. М. Михеева, Б. Ю. Заславский, С. В. Рогожин, А. У. Махмудов, Э. С. Гараев, Ю. П. Алешико-Ожевский.</i> Близкая гидратация и распределение галогенидов щелочных металлов в двухфазной системе фикколл-декстрин-вода	7
<i>К. Р. Аллахвердиев, Ш. М. Аббасов, Г. Т. Агавердиева, Т. Б. Тагиев.</i> Влияние низкотемпературного облучения на фотопроводимость монокристаллов твердого раствора $n\text{-Ge}_{1-x}\text{Si}_x$	12
Физика магнитных явлений	
<i>Г. Д. Султанов, Г. Д. Гусейнов, С. Г. Ибрағимов, А. С. Шукюров.</i> Асимметрия линий квадрупольного расщепления в ЯГР-спектрах TiFeS_2	16
Теоретическая физика	
<i>А. И. Мухтаров, С. К. Абдуллаев, Л. П. Алиев.</i> Радиационное рождение скалярных фермионов e^-e^+ — аннигиляции в рамках различных калибровочных моделей	20
Органическая химия	
<i>Р. Э. Алиев, Я. Т. Исмайлова.</i> Конформационный анализ молекулы пепестатина	25
Физическая химия	
<i>З. Ч. Салаева, Р. М. Алиев, Ю. Г. Камбаров, Т. Г. Папян, В. Н. Краснов, Д. Х. Хаимова.</i> Термодинамический анализ процесса переалкилирования-гидрокрекинга ароматических концентратов C_7-C_{10}	28
Химическая технология	
<i>Н. М. Гусейнов, Д. А. Абаскулиев.</i> Химические инварианты для систем реакции и диффузия в пористом зерне катализатора	34
<i>Г. И. Келбалиев, Л. В. Носенко.</i> Образование и отложение кокса в трубчатых печах селективной очистки масел	39
Геология	
<i>Г. П. Тамразян.</i> Общепланетарное полукольцо концентрации крупнейших угольных бассейнов мира	44
Гидробиология	
<i>А. Г. Қасымов, А. Р. Халилов, И. А. Ахмедов.</i> Гидробиологическая характеристика Средней Куры	47
Палеонтология	
<i>Р. А. Алиев.</i> Находки верхнемеловых аммоноитов в Азербайджане	53
	93

Охрана природы

И. С. Бабаев, У. Ш. Мехтиев, З. С. Джабаров. Технологические особенности двухстадийного осаждения извешенных веществ высокомутных природных вод	56
Д. И. Исмайлов, Д. Е. Юсифов, Н. Т. Мустафаев. Рекультивация земель при горно-рудных работах	60

Паразитология

Ш. Р. Ибрагимов. Паразитические простейшие рыб Малого Кызылагачского залива Каспийского моря	64
--	----

Ботаника

А. И. Маликов, Н. А. Мамедов. Новые adventивные виды растений Апшерона	68
Ф. И. Велиев. О типе народного жилища «Дурма»	72

Искусство

Н. Джеваншир. Металлические ворота ханской мечети города Шеки	76
Указатель статей, опубликованных в журнале «Доклады Академии наук Азербайджанской ССР» за 1987 г.	80

Сдано в набор 6. II. 87. Подписано к печати 17. 03. 88. ФГ 02042. Формат бумаги 70×100^{1/16}. Бумага типографская № 1. Гарнитура шрифта литературная. Печать высокая. Усл. печ. лист 7,8. Усл. кр.-отт. 7,8. Уч.-изд. лист 6,46. Тираж 600.
Заказ 1146. Цена 70 коп.

Издательство «Элм».

370143 Баку-143, проспект Нариманова, 31, Академгородок, Главное здание Государственный комитет Азербайджанской ССР по делам издательства, полиграфии и книжной торговли.

Производственное промышленное объединение по печати.
Типография «Красный Восток», Баку, ул. Ази Асланова, 80.

70 гэл.
коп.

Индекс
76355